



دانشگاه صنعتی شهرورد

دانشکده عمران و معماری

عنوان پایان نامه :

تأثیر کمربند خرپایی بر تغییر مکان جانبی قابهای فولادی در سازه‌های بلند مرتبه

پایان نامه برای اخذ درجه کارشناسی ارشد در رشته مهندسی عمران - سازه

استاد راهنمای:

دکتر علی کیهانی

استاد مشاور:

دکتر بهروز حسنی

دانشجو:

امیر هوشنگ انصاری

بسم الله الرحمن الرحيم

تشکر و قدردانی:

در ابتدای این رساله لازم می دانم که از زحمات بی شائبه جناب آقای دکتر علی کیهانی تشکر کنم . که با صبر و حوصله و تسلط بی نظیر بر مطالب و برخورد بسیار عالی اینجانب را در حل مشکلات راهنمایی کردند ، برای ایشان موفقیت و پایداری در تمام لحظات زندگی را آرزومندم.

از جناب آقای دکتر بهروز حسنی و همیاری های فراموش نشدنی ایشان در پیشبرد پایان نامه کمال سپاس و قدردانی را دارم و برای ایشان آرزوی شادکامی می کنم.

ضمناً از تمامی اساتید محترم گروه عمران ، به ویژه آقای دکتر احمدی و آقای دکتر علایی کمال تشکر و قدردانی را دارم.

همچنین از آقای مهندس ظریف به خاطر راهنمایی های سودمندشان بسیار ممنون هستم .

فهرست مطالب

عنوان

صفحه

فصل اول / مقدمه

۲.....	۱-۱ مقدمه
۴.....	۲-۱ مروری بر تحقیقات انجام شده
۵.....	۳-۱ اهداف

فصل دوم / مروری بر مقاوم سازی ساختمانهای بلند

۸.....	۱-۲ تاریخچه ساختمانهای بلند
۱۰.....	۱-۱-۱ تعریف برج
۱۱.....	۲-۲ بررسی انواع سیستم‌های مقاوم در برابر بارهای جانبی
۱۲.....	۱-۲-۱ قاب صلب
۱۳.....	۲-۲-۲ قاب مهاربندی شده
۱۵.....	۳-۲-۲ قاب صلب با مهاربندی
۱۶.....	۴-۲-۲ سیستم‌های مرکب از دیوار برشی و قاب توام با خرپاهای کمربندی صلب
۱۷.....	۵-۲-۲ قاب لوله‌ای
۱۸.....	۶-۲-۲ سیستم لوله تودرتو و قاب لوله‌ای مهاربندی شده
۲۱.....	۳-۲ افزایش سطوح بازشوها در همکف

فصل سوم / بررسی رفتار سیستمهای قاب لوله‌ای، کمربند خرپائی و هسته برشی

۲۵.....	۱-۳ مقدمه
۲۵.....	۲-۳ تحلیل قاب لوله‌ای بروش کؤل
۳۱.....	۳-۲-۳ خواص صفحات ارتوتروپیک معادل در روش کؤل.....
۳۳.....	۳-۳ روش پنج عضو قائم
۳۳.....	۱-۳-۳ تعیین تنشهای برشی و محوری
۳۵.....	۲-۳-۳ عامل صلبیت برشی، خمشی و لنگی برش
۳۸.....	۴-۳ تحلیل قاب لوله‌ای بروش کوان
۳۸.....	۱-۴-۳ مقدمه
۳۹.....	۲-۴-۳ روش آنالیز
۴۱.....	۳-۴-۳ اثرات تغییر پارامترها بر روی لنگی برش
۴۲.....	۴-۴-۳ تنشهای محوری
۴۳.....	۵-۴-۳ تغییر مکان جانبی
۴۳.....	۵-۳ بررسی رفتار هسته برشی بروش کوان
۴۷.....	۱-۵-۳ تخمین ضرائب تنش
۴۷.....	۲-۵-۳ محدوده کاربرد روابط لنگی برش و جابجایی
۴۸.....	۶-۳ سیستم قاب ساده، هسته مرکزی و مهار کمربندی
۵۰.....	۱-۶-۳ روش تحلیل
۵۴.....	۲-۶-۳ تعیین موقعیت بهینه برای یک خرپایی کمربندی
۵۶.....	۷-۳ دیوار برشی کوپله مهار شده توسط کمربند خرپائی
۵۸.....	۱-۷-۳ معادلات پایه
۵۹.....	۲-۷-۳ معادله جریان برش
۵۹.....	۳-۷-۳ معادلات تعادل و سازگاری
۶۱.....	۴-۷-۳ معادله تغییر شکل

۶۱.....	۳-۷-۵ نیروهای محوری و لنگرهای خمشی
۶۱.....	۳-۸ قابهای محیطی تو در تو
۶۳.....	۳-۸-۱ تغییر شکلهای قائم لوله خارجی و داخلی
۶۵.....	۳-۸-۲ روش آنالیز
۶۷.....	۳-۸-۳ تغییر شکل و تنشها
فصل چهارم / بررسی تاثیر کمربند خرپائی در بهبود رفتار قاب لولهای	
۶۹.....	۴-۱ مقدمه
۷۰.....	۴-۲ دلایل بررسی لنگی برش در پای سازه و تراز میانی
۷۱.....	۴-۳ مشخصات سازه‌های آنالیز شده
۷۳.....	۴-۴ سازه سی طبقه
۷۵.....	۴-۵ سازه چهل طبقه
۸۶.....	۴-۶ سازه‌های پنجاه و شصت طبقه
۱۰۴.....	۴-۷ بررسی تاثیر کمربند و هسته مرکزی در کاهش جابجائی و لنگی برش
۱۱۶.....	۴-۸ تاثیر بریدن هسته برشی در تراز فوقانی کمربند خرپائی بر توزیع تنش و جابجائی
فصل پنجم / روش پیشنهادی جهت آنالیز سازه ترکیبی قاب لولهای، هسته برشی و مهار کمربندی	
۱۳۲.....	۵-۱ مقدمه
۱۳۲.....	۵-۲ فرضیات روش پیشنهادی جهت آنالیز تقریبی قاب لولهای، هسته مرکزی و کمربند خرپائی
۱۳۳.....	۵-۳ روابط انرژی جهت تحلیل تقریبی سازه
۱۳۴.....	۵-۴ ضرائب لنگی برش
۱۳۵.....	۵-۵ تنشهای محوری
۱۳۸.....	۵-۶ تغییر مکان جانبی سازه ترکیبی قاب لولهای، هسته مرکزی و کمربند خرپائی

۱۳۹.....	۷-۵ مقایسه نتایج روش پیشنهادی با آنالیز کامپیووتری
۱۵۸.....	فصل ششم / نتیجه گیری و پیشنهادات
۱۵۹.....	۱-۶ نتیجه گیری
۱۶۲.....	۲-۶ پیشنهادات برای مطالعات آینده
۱۶۳.....	مراجع
۱۶۵.....	پیوست الف / خواص معادل اعضاء و پانلها

فهرست جدول‌ها

<u>عنوان</u>	
<u>صفحه</u>	
جدول ۱-۳: ضرائب لنگی برش در پای هسته برشی ۴۶	
جدول ۱-۴: مشخصات هندسی قاب و هسته برشی ۷۳	
جدول ۲-۴: مشخصات مصالح اعضاي قاب و هسته برشی ۷۳	
جدول ۳-۴: درصد کاهش جابجائي و لنگي برش در سازه سى طبقه تحت بار گسترده یکنواخت ۱۱۶	
جدول ۴-۴: درصد کاهش جابجائي و لنگي برش در سازه چهل طبقه تحت بار گسترده مثلثي ۱۱۶	
جدول ۵-۴: درصد کاهش جابجائي و لنگي برش در سازه چهل طبقه تحت بار گسترده یکنواخت ۱۱۷	
جدول ۶-۴: درصد کاهش جابجائي و لنگي برش در سازه چهل طبقه تحت بار گسترده مت مرکز ۱۱۷	
جدول ۷-۴: درصد کاهش جابجائي و لنگي برش در سازه پنجاه طبقه تحت بار گسترده یکنواخت ۱۱۸	
جدول ۸-۴: درصد کاهش جابجائي و لنگي برش در سازه شصت طبقه تحت بار گسترده یکنواخت ۱۱۸	
جدول ۹-۴: درصد کاهش جابجائي و لنگي برش در سازه سى طبقه تحت بار گسترده یکنواخت ۱۲۹	
جدول ۱۰-۴: درصد کاهش جابجائي و لنگي برش در سازه چهل طبقه تحت بار گسترده مثلثي ۱۲۹	
جدول ۱۱-۴: درصد کاهش جابجائي و لنگي برش در سازه پنجاه طبقه تحت بار گسترده یکنواخت ۱۳۰	
جدول ۱۲-۴: درصد کاهش جابجائي و لنگي برش در سازه شصت طبقه تحت بار گسترده یکنواخت ۱۳۰	
جدول ۱-۵: ضرائب لنگي برش در قاب لوله‌اي ۱۳۴	
جدول ۱-۶: مقایسه نتایج آنالیز دقیق و تقریبی در سازه سى طبقه تحت بار گسترده یکنواخت ۱۶۱	

جدول ۶-۲: مقایسه نتایج آنالیز دقیق و تقریبی در سازه چهل طبقه تحت بار گسترده مثلثی ۱۶۱

جدول ۶-۳: مقایسه نتایج آنالیز دقیق و تقریبی در سازه چهل طبقه تحت بار گسترده یکنواخت ۱۶۱

جدول ۶-۴: مقایسه نتایج آنالیز دقیق و تقریبی در سازه پنجاه طبقه تحت بار گسترده یکنواخت ۱۶۲

شکل ۲-۱۵: مقایسه تعداد طبقات قابل حصول توسط انواع سیستم‌های سازه‌ای	۲۳
شکل ۳-۱: مدل واقعی و جایگزین سازه قاب لوله‌ای	۲۶
شکل ۳-۲: نماد گذاری تنشهای	۲۶
شکل ۳-۳: جایگزینی پانل قاب توسط المان طره‌ای برشی معادل	۳۲
شکل ۳-۴: پیکره آزاد تنش در مدل سه عضو قائم	۳۳
شکل ۳-۵: مدل سه عضو قائم	۳۳
شکل ۳-۶: مدل تحلیلی برای محاسبه صلبیت برشی	۳۵
شکل ۳-۷: عامل لنگی برش در مدل سه عضو قائم	۳۷
شکل ۳-۸: الف-پیکره آزاد تنش در مدل پنج عضو قائم ب-عامل لنگی برش در مدل پنج عضو قائم	۳۷
شکل ۳-۹: نمونه قاب لوله‌ای تحت بار جانبی	۳۸
شکل ۳-۱۰: توزیع تنشهای محوری در قاب محیطی	۳۹
شکل ۳-۱۱: مدل سازی قاب لوله‌ای در روش کوان	۴۰
شکل ۳-۱۲: تغییرات ضرائب لنگی برش	۴۲
شکل ۳-۱۳: رفتار مهاربند افقی و هسته مرکزی	۴۹
شکل ۳-۱۴: پلان یک سازه با خرپای میانی، هسته برشی و مهار کمربندی	۵۱
شکل ۳-۱۵: طره فنردار	۵۱
شکل ۳-۱۶: سیستم دیوار کوپله سخت شده با مهار کمربندی	۵۸
شکل ۳-۱۷: دیاگرام آزاد کمربند خرپائی	۶۰
شکل ۳-۱۸: قاب لوله‌ای معادل سازی شده با لوله‌های داخلی	۶۳
شکل ۳-۱۹: پلان سازه لوله در لوله معادل	۶۴
شکل ۳-۲۰: توزیع تنش ناشی از بارهای جانبی در سازه لوله در لوله	۶۵
شکل ۴-۱: مدل شماتیک سازه سی طبقه	۷۰
شکل ۴-۲: مدل شماتیک سازه چهل طبقه	۷۰
شکل ۴-۳: مدل شماتیک سازه پنجاه طبقه	۷۱

شکل ۴-۴: مدل شماتیک سازه شصت طبقه	۷۱
شکل ۴-۵: توزیع تنش در ارتفاع قاب لوله‌ای	۷۲
شکل ۴-۶: تغییرات ضرائب لنگی برش	۷۳
شکل ۴-۷: قابهای لوله‌ای تو در تو	۷۴
شکل ۴-۸: پلان و نمای سازه‌های قاب محیطی ۳۰، ۵۰ و ۷۰ طبقه	۷۴
شکل ۴-۹: جابجائی سیستم ترکیبی سی طبقه تحت بار گسترده یکنواخت ($B.S.=5^*F.S.$)	۷۷
شکل ۴-۱۰: جابجائی سیستم ترکیبی سی طبقه تحت بار گسترده یکنواخت ($B.L.=H/4$)	۷۷
شکل ۴-۱۱: جابجائی سیستم ترکیبی سی طبقه تحت بار گسترده یکنواخت ($B.L.=H/6$)	۷۸
شکل ۴-۱۲: جابجائی سیستم ترکیبی سی طبقه تحت بار گسترده یکنواخت ($B.L.=H/2$)	۷۸
شکل ۴-۱۳: توزیع تنش در بال سیستم ترکیبی سی طبقه تحت بار گسترده یکنواخت ($B.S.=5^*F.S.$)	۷۹
شکل ۴-۱۴: توزیع تنش در حان سیستم ترکیبی سی طبقه تحت بار گسترده یکنواخت ($B.S.=5^*F.S.$)	۷۹
شکل ۴-۱۵: توزیع تنش در بال سیستم ترکیبی سی طبقه تحت بار گسترده یکنواخت ($B.L.=H/6$)	۸۰
شکل ۴-۱۶: توزیع تنش در حان سیستم ترکیبی سی طبقه تحت بار گسترده یکنواخت ($B.L.=H/6$)	۸۰
شکل ۴-۱۷: توزیع تنش در بال سیستم ترکیبی سی طبقه تحت بار گسترده یکنواخت ($B.L.=H/4$)	۸۱
شکل ۴-۱۸: توزیع تنش در حان سیستم ترکیبی سی طبقه تحت بار گسترده یکنواخت ($B.L.=H/4$)	۸۱
شکل ۴-۱۹: توزیع تنش در بال سیستم ترکیبی سی طبقه تحت بار گسترده یکنواخت ($B.L.=3H/4$)	۸۲
شکل ۴-۲۰: توزیع تنش در حان سیستم ترکیبی سی طبقه تحت بار گسترده یکنواخت ($B.L.=3H/4$)	۸۲
شکل ۴-۲۱: توزیع تنش در بال سیستم ترکیبی سی طبقه تحت بار گسترده یکنواخت ($B.S.=5^*F.S.$)	۸۳

- شکل ۲۲-۴: توزیع تنش در جان سیستم ترکیبی سی طبقه تحت بار گسترده یکنواخت (B.S.= $5^*F.S.$) ۸۳
- شکل ۲۳-۴: توزیع تنش در بال سیستم ترکیبی سی طبقه تحت بار گسترده یکنواخت (B.L.=H/۶) ۸۴
- شکل ۲۴-۴: توزیع تنش در جان سیستم ترکیبی سی طبقه تحت بار گسترده یکنواخت (B.L.=H/۶) ۸۴
- شکل ۲۵-۴: توزیع تنش در بال سیستم ترکیبی سی طبقه تحت بار گسترده یکنواخت (B.L.=H) ۸۵
- شکل ۲۶-۴: توزیع تنش در جان سیستم ترکیبی سی طبقه تحت بار گسترده یکنواخت (B.L.=H) ۸۵
- شکل ۲۷-۴: جابجایی سیستم ترکیبی چهل طبقه تحت بار گسترده مثلثی (B.S.= $5^*F.S.$) ۸۷
- شکل ۲۸-۴: جابجایی سیستم ترکیبی چهل طبقه تحت بار گسترده مثلثی (B.L.=H/۶) ۸۷
- شکل ۲۹-۴: جابجایی سیستم ترکیبی چهل طبقه تحت بار گسترده مثلثی (B.L.=H/۴) ۸۸
- شکل ۳۰-۴: جابجایی سیستم ترکیبی چهل طبقه تحت بار گسترده مثلثی (B.L.=H) ۸۸
- شکل ۳۱-۴: توزیع تنش در بال سیستم ترکیبی چهل طبقه تحت بار گسترده مثلثی (B.S.= $5^*F.S.$) ۸۹
- شکل ۳۲-۴: توزیع تنش در جان سیستم ترکیبی چهل طبقه تحت بار گسترده مثلثی (B.S.= $5^*F.S.$) ۸۹
- شکل ۳۳-۴: توزیع تنش در بال سیستم ترکیبی چهل طبقه تحت بار گسترده مثلثی (B.L.=H/۶) ۹۰
- شکل ۳۴-۴: توزیع تنش در بال سیستم ترکیبی چهل طبقه تحت بار گسترده مثلثی (B.L.=H/۴) ۹۰
- شکل ۳۵-۴: توزیع تنش در بال سیستم ترکیبی چهل طبقه تحت بار گسترده مثلثی (B.L.=H) ۹۱
- شکل ۳۶-۴: توزیع تنش در بال سیستم ترکیبی چهل طبقه تحت بار گسترده مثلثی (B.S.= $5^*F.S.$) ۹۱
- شکل ۳۷-۴: توزیع تنش در جان سیستم ترکیبی چهل طبقه تحت بار گسترده مثلثی (B.S.= $5^*F.S.$) ۹۲
- شکل ۳۸-۴: توزیع تنش در بال سیستم ترکیبی چهل طبقه تحت بار گسترده مثلثی (B.L.=H/۶) ۹۲
- شکل ۳۹-۴: توزیع تنش در جان سیستم ترکیبی چهل طبقه تحت بار گسترده مثلثی (B.L.=H/۶) ۹۳
- شکل ۴۰-۴: توزیع تنش در بال سیستم ترکیبی چهل طبقه تحت بار گسترده مثلثی (B.L.= $2^*H/۴$) ۹۳
- شکل ۴۱-۴: جابجایی سیستم ترکیبی چهل طبقه تحت بار گسترده یکنواخت (B.S.= $5^*F.S.$) ۹۴
- شکل ۴۲-۴: جابجایی سیستم ترکیبی چهل طبقه تحت بار گسترده یکنواخت (B.L.=H/۶) ۹۴
- شکل ۴۳-۴: جابجایی سیستم ترکیبی چهل طبقه تحت بار گسترده یکنواخت (B.L.=H/۲) ۹۵
- شکل ۴۴-۴: جابجایی سیستم ترکیبی چهل طبقه تحت بار گسترده یکنواخت (B.L.=H) ۹۵

- شکل ۴-۴۵: توزیع تنش در بال سیستم ترکیبی چهل طبقه تحت بار گسترده یکنواخت (B.S.= $5^*F.S.$) ۹۶
- شکل ۴-۴۶: توزیع تنش در جان سیستم ترکیبی چهل طبقه تحت بار گسترده یکنواخت (B.S.= $5^*F.S.$) ۹۶
- شکل ۴-۴۷: توزیع تنش در بال سیستم ترکیبی چهل طبقه تحت بار گسترده یکنواخت (B.L.= $H/6$) ۹۷
- شکل ۴-۴۸: توزیع تنش در بال سیستم ترکیبی چهل طبقه تحت بار گسترده یکنواخت (B.L.= $2H/4$) ۹۷
- شکل ۴-۴۹: توزیع تنش در بال سیستم ترکیبی چهل طبقه تحت بار گسترده یکنواخت (B.S.= $5^*F.S.$) ۹۸
- شکل ۴-۵۰: توزیع تنش در جان سیستم ترکیبی چهل طبقه تحت بار گسترده یکنواخت (B.S.= $5^*F.S.$) ۹۸
- شکل ۴-۵۱: توزیع تنش در بال سیستم ترکیبی چهل طبقه تحت بار گسترده یکنواخت (B.L.= $H/6$) ۹۹
- شکل ۴-۵۲: توزیع تنش در جان سیستم ترکیبی چهل طبقه تحت بار گسترده یکنواخت (B.L.= $H/4$) ۹۹
- شکل ۴-۵۳: جابجایی سیستم ترکیبی چهل طبقه تحت بار متمرکز (B.S.= $5^*F.S.$) ۱۰۰
- شکل ۴-۵۴: جابجایی سیستم ترکیبی چهل طبقه تحت بار متمرکز (B.L.= $H/6$) ۱۰۰
- شکل ۴-۵۵: جابجایی سیستم ترکیبی چهل طبقه تحت بار متمرکز (B.L.= $H/2$) ۱۰۱
- شکل ۴-۵۶: جابجایی سیستم ترکیبی چهل طبقه تحت بار متمرکز (B.L.= H) ۱۰۱
- شکل ۴-۵۷: توزیع تنش در بال سیستم ترکیبی چهل طبقه تحت بار متمرکز (B.S.= $5^*F.S.$) ۱۰۲
- شکل ۴-۵۸: توزیع تنش در جان سیستم ترکیبی چهل طبقه تحت بار متمرکز (B.S.= $5^*F.S.$) ۱۰۲
- شکل ۴-۵۹: توزیع تنش در بال سیستم ترکیبی چهل طبقه تحت بار متمرکز (B.L.= $H/6$) ۱۰۳
- شکل ۴-۶۰: توزیع تنش در جان سیستم ترکیبی چهل طبقه تحت بار متمرکز (B.L.= $H/4$) ۱۰۳
- شکل ۴-۶۱: جابجایی سیستم ترکیبی پنجاه طبقه تحت بار گسترده یکنواخت (B.S.= $5^*F.S.$) ۱۰۵
- شکل ۴-۶۲: جابجایی سیستم ترکیبی پنجاه طبقه تحت بار گسترده یکنواخت (B.L.= $H/6$) ۱۰۵

- شکل ۴-۶۳: جابجایی سیستم ترکیبی پنجاه طبقه تحت بار گسترده یکنواخت (B.L.=H/۴) ۱۰۶.....
- شکل ۴-۶۴: جابجایی سیستم ترکیبی پنجاه طبقه تحت بار گسترده یکنواخت (B.L.=H/۲) ۱۰۶.....
- شکل ۴-۶۵: توزیع تنش در بال سازه ترکیبی پنجاه طبقه تحت بار گسترده یکنواخت (B.S.=۵*F.S.) ۱۰۷.....
- شکل ۴-۶۶: توزیع تنش در جان سازه ترکیبی پنجاه طبقه تحت بار گسترده یکنواخت (B.S.=۵*F.S.) ۱۰۷.....
- شکل ۴-۶۷: توزیع تنش در بال سیستم ترکیبی پنجاه طبقه تحت بار گسترده یکنواخت (B.L.=H/۶) ۱۰۸.....
- شکل ۴-۶۸: توزیع تنش در بال سیستم ترکیبی پنجاه طبقه تحت بار گسترده یکنواخت (B.L.=H/۴) ۱۰۸.....
- شکل ۴-۶۹: توزیع تنش در بال سازه ترکیبی پنجاه طبقه تحت بار گسترده یکنواخت (B.S.=۵*F.S.) ۱۰۹.....
- شکل ۴-۷۰: توزیع تنش در جان سازه ترکیبی پنجاه طبقه تحت بار گسترده یکنواخت (B.S.=۵*F.S.) ۱۰۹.....
- شکل ۴-۷۱: توزیع تنش در بال سیستم ترکیبی پنجاه طبقه تحت بار گسترده یکنواخت (B.L.=H/۶) ۱۱۰.....
- شکل ۴-۷۲: توزیع تنش در جان سیستم ترکیبی پنجاه طبقه تحت بار گسترده یکنواخت (B.L.=H/۶) ۱۱۰.....
- شکل ۴-۷۳: جابجایی سیستم ترکیبی شصت طبقه تحت بار گسترده یکنواخت (B.S.=۵*F.S.) ۱۱۱.....
- شکل ۴-۷۴: جابجایی سیستم ترکیبی شصت طبقه تحت بار گسترده یکنواخت (B.L.=H/۶) ۱۱۱.....
- شکل ۴-۷۵: توزیع تنش در بال سازه ترکیبی شصت طبقه تحت بار گسترده یکنواخت (B.S.=۵*F.S.) ۱۱۲.....
- شکل ۴-۷۶: توزیع تنش در جان سازه ترکیبی شصت طبقه تحت بار گسترده یکنواخت (B.S.=۵*F.S.) ۱۱۲.....
- شکل ۴-۷۷: توزیع تنش در بال سیستم ترکیبی شصت طبقه تحت بار گسترده یکنواخت (B.L.=H/۶) ۱۱۳.....

- شکل ۴-۷۸: توزیع تنش در جان سیستم ترکیبی شصت طبقه تحت بار گسترده یکنواخت (B.L.=H/6)
۱۱۳.....
- شکل ۴-۷۹: توزیع تنش در بال سازه ترکیبی شصت طبقه تحت بار گسترده یکنواخت (B.S.=۵*F.S.)
۱۱۴.....
- شکل ۴-۸۰: توزیع تنش در جان سازه ترکیبی شصت طبقه تحت بار گسترده یکنواخت (B.S.=۵*F.S.)
۱۱۴.....
- شکل ۴-۸۱: توزیع تنش در بال سیستم ترکیبی شصت طبقه تحت بار گسترده یکنواخت (B.L.=H/6)
۱۱۵.....
- شکل ۴-۸۲: توزیع تنش در جان سیستم ترکیبی شصت طبقه تحت بار گسترده یکنواخت (B.L.=H/6)
۱۱۵.....
- شکل ۴-۸۳: مدل شماتیک سازه چهل طبقه با هسته برشی قطع شده ۱۱۹
- شکل ۴-۸۴: جابجایی سیستم ترکیبی سی طبقه تحت بار گسترده یکنواخت (B.S.=۵*F.S.)
۱۲۰.....
- شکل ۴-۸۵: توزیع تنش در بال سیستم ترکیبی سی طبقه تحت بار گسترده یکنواخت (B.S.=۵*F.S.)
۱۲۰.....
- شکل ۴-۸۶: توزیع تنش در جان سیستم ترکیبی سی طبقه تحت بار گسترده یکنواخت (B.S.=۵*F.S.)
۱۲۱.....
- شکل ۴-۸۷: توزیع تنش در بال سیستم ترکیبی سی طبقه تحت بار گسترده یکنواخت (B.S.=۵*F.S.)
۱۲۱.....
- شکل ۴-۸۸: جابجایی سیستم ترکیبی چهل طبقه تحت بار گسترده مثلثی (B.S.=۵*F.S.)
۱۲۲.....
- شکل ۴-۸۹: توزیع تنش در بال سیستم ترکیبی چهل طبقه تحت بار گسترده مثلثی (B.S.=۵*F.S.)
۱۲۲.....
- شکل ۴-۹۰: توزیع تنش در بال سیستم ترکیبی چهل طبقه تحت بار گسترده مثلثی (B.S.=۵*F.S.)
۱۲۳.....

شکل ۴-۹۱: توزیع تنش در جان سیستم ترکیبی سی طبقه تحت بار گسترده مثلثی (B.S.= $5^*F.S.$)

۱۲۳.....

شکل ۴-۹۲: جابجایی سیستم ترکیبی پنجاه طبقه تحت بار گسترده یکنواخت (B.S.= $5^*F.S.$)

شکل ۴-۹۳: توزیع تنش در بال سیستم ترکیبی پنجاه طبقه تحت بار گسترده یکنواخت (B.S.= $5^*F.S.$)

۱۲۴.....

شکل ۴-۹۴: توزیع تنش در جان سیستم ترکیبی پنجاه طبقه تحت بار گسترده یکنواخت (B.S.= $5^*F.S.$)

۱۲۵.....

شکل ۴-۹۵: توزیع تنش در بال سیستم ترکیبی پنجاه طبقه تحت بار گسترده یکنواخت (B.S.= $5^*F.S.$)

۱۲۵.....

شکل ۴-۹۶: توزیع تنش در جان سیستم ترکیبی پنجاه طبقه تحت بار گسترده یکنواخت (B.S.= $5^*F.S.$)

۱۲۶.....

شکل ۴-۹۷: جابجایی سیستم ترکیبی شصت طبقه تحت بار گسترده یکنواخت (B.S.= $5^*F.S.$)

شکل ۴-۹۸: توزیع تنش در بال سازه ترکیبی شصت طبقه تحت بار گسترده یکنواخت (B.S.= $5^*F.S.$)

۱۲۷.....

شکل ۴-۹۹: توزیع تنش در جان سازه ترکیبی شصت طبقه تحت بار گسترده یکنواخت (B.S.= $5^*F.S.$)

۱۲۷.....

شکل ۴-۱۰۰: توزیع تنش در بال سازه ترکیبی شصت طبقه تحت بار گسترده یکنواخت (B.S.= $5^*F.S.$)

۱۲۸.....

شکل ۴-۱۰۱: توزیع تنش در جان سازه ترکیبی شصت طبقه تحت بار گسترده یکنواخت (B.S.= $5^*F.S.$)

۱۲۸.....

شکل ۵-۱: مشابه سازی قاب لوله‌ای با غشاء ارتوتروپیک

۱۳۷.....

شکل ۵-۲: پلان سازه‌های آنالیز شده در فصل چهارم و پنجم

شکل ۵-۳: جابجایی سازه ترکیبی سی طبقه تحت بار گسترده یکنواخت (B.L.=H/۶)

شکل ۵-۴: توزیع تنش در بال سازه ترکیبی سی طبقه تحت بار گسترده یکنواخت (B.L.=H/۶)

- شکل ۵-۵: توزیع تنش در جان سازه ترکیبی سی طبقه تحت بار گسترده یکنواخت (B.L.=H/۶) ۱۴۱.....
- شکل ۵-۶: جابجایی سازه ترکیبی سی طبقه تحت بار گسترده یکنواخت (B.L.=H/۲) ۱۴۱
- شکل ۵-۷: توزیع تنش در بال سازه ترکیبی سی طبقه تحت بار گسترده یکنواخت (B.L.=H/۲) ۱۴۲.....(B.L.=H/۲)
- شکل ۵-۸: توزیع تنش در جان سازه ترکیبی سی طبقه تحت بار گسترده یکنواخت (B.L.=H/۲) ۱۴۲.....(B.L.=H/۲)
- شکل ۵-۹: جابجایی سازه ترکیبی سی طبقه تحت بار گسترده یکنواخت (B.L.=۳H/۴) ۱۴۳.....
- شکل ۵-۱۰: توزیع تنش در بال سازه ترکیبی سی طبقه تحت بار گسترده یکنواخت (B.L.=۳H/۴) ۱۴۳ ... (B.L.=۳H/۴)
- شکل ۵-۱۱: توزیع تنش در جان سازه ترکیبی سی طبقه تحت بار گسترده یکنواخت (B.L.=۳H/۴) ۱۴۴
- شکل ۵-۱۲: جابجایی سازه ترکیبی چهل طبقه تحت بار گسترده مثلثی (B.L.=H/۶) ۱۴۴.....
- شکل ۵-۱۳: توزیع تنش در بال سازه ترکیبی چهل طبقه تحت بار گسترده مثلثی (B.L.=H/۶) ۱۴۵.....(B.L.=H/۶)
- شکل ۵-۱۴: توزیع تنش در جان سازه ترکیبی چهل طبقه تحت بار گسترده مثلثی (B.L.=H/۶) ۱۴۵.....(B.L.=H/۶)
- شکل ۵-۱۵: جابجایی سازه ترکیبی چهل طبقه تحت بار گسترده مثلثی (B.L.=H/۲) ۱۴۶.....
- شکل ۵-۱۶: توزیع تنش در بال سازه ترکیبی چهل طبقه تحت بار گسترده مثلثی (B.L.=H/۲) ۱۴۶.....(B.L.=H/۲)
- شکل ۵-۱۷: توزیع تنش در جان سازه ترکیبی چهل طبقه تحت بار گسترده مثلثی (B.L.=H/۲) ۱۴۷.....(B.L.=H/۲)
- شکل ۵-۱۸: جابجایی سازه ترکیبی چهل طبقه تحت بار گسترده مثلثی (B.L.=۳H/۴) ۱۴۷
- شکل ۵-۱۹: توزیع تنش در بال سازه ترکیبی چهل طبقه تحت بار گسترده مثلثی (B.L.=۳H/۴) ۱۴۸.....(B.L.=۳H/۴)
- شکل ۵-۲۰: توزیع تنش در جان سازه ترکیبی چهل طبقه تحت بار گسترده مثلثی (B.L.=۳H/۴) ۱۴۸....(B.L.=۳H/۴)
- شکل ۵-۲۱: جابجایی سازه ترکیبی چهل طبقه تحت بار گسترده یکنواخت (B.L.=H/۶) ۱۴۹.....
- شکل ۵-۲۲: توزیع تنش در بال سازه ترکیبی چهل طبقه تحت بار گسترده یکنواخت (B.L.=H/۶) ۱۴۹ ... (B.L.=H/۶)
- شکل ۵-۲۳: توزیع تنش در جان سازه ترکیبی چهل طبقه تحت بار گسترده یکنواخت (B.L.=H/۶) ۱۵۰
- شکل ۵-۲۴: جابجایی سازه ترکیبی چهل طبقه تحت بار گسترده یکنواخت (B.L.=H/۲) ۱۵۰
- شکل ۵-۲۵: توزیع تنش در بال سازه ترکیبی چهل طبقه تحت بار گسترده یکنواخت (B.L.=H/۲) ۱۵۱... (B.L.=H/۲)
- شکل ۵-۲۶: توزیع تنش در جان سازه ترکیبی چهل طبقه تحت بار گسترده یکنواخت (B.L.=H/۲) ۱۵۱ (B.L.=H/۲)
- شکل ۵-۲۷: جابجایی سازه ترکیبی چهل طبقه تحت بار گسترده یکنواخت (B.L.=۳H/۴) ۱۵۲
- (B.L.=۳H/۴)

- شکل ۲۸-۵: توزیع تنش در بال سازه ترکیبی چهل طبقه تحت بار گسترده یکنواخت (B.L.= $\frac{3H}{4}$) ۱۵۲
- شکل ۲۹-۵: توزیع تنش در جان سازه ترکیبی چهل طبقه تحت بار گسترده یکنواخت (B.L.= $\frac{2H}{4}$) ۱۵۳
- شکل ۳۰-۵: جابجایی سازه ترکیبی پنجاه طبقه تحت بار گسترده یکنواخت (B.L.= $\frac{H}{6}$) ۱۵۳.....
- شکل ۳۱-۵: توزیع تنش در بال سازه ترکیبی پنجاه طبقه تحت بار گسترده یکنواخت (B.L.= $\frac{H}{6}$) ... ۱۵۴
- شکل ۳۲-۵: توزیع تنش در جان سازه ترکیبی پنجاه طبقه تحت بار گسترده یکنواخت (B.L.= $\frac{H}{6}$) ۱۵۴
- شکل ۳۳-۵: جابجایی سازه ترکیبی پنجاه طبقه تحت بار گسترده یکنواخت (B.L.= $\frac{H}{2}$) ۱۵۵
- شکل ۳۴-۵: توزیع تنش در بال سازه ترکیبی پنجاه طبقه تحت بار گسترده یکنواخت (B.L.= $\frac{H}{2}$) ... ۱۵۵
- شکل ۳۵-۵: توزیع تنش در جان سازه ترکیبی پنجاه طبقه تحت بار گسترده یکنواخت . (B.L.= $\frac{H}{2}$) ۱۵۶.....
- شکل ۳۶-۵: جابجایی سازه ترکیبی پنجاه طبقه تحت بار گسترده یکنواخت (B.L.= $\frac{3H}{4}$) ۱۵۶
- شکل ۳۷-۵: توزیع تنش در بال سازه ترکیبی پنجاه طبقه تحت بار گسترده یکنواخت (B.L.= $\frac{3H}{4}$) ۱۵۷
- شکل ۳۸-۵: توزیع تنش در جان سازه ترکیبی پنجاه طبقه تحت بار گسترده یکنواخت (B.L.= $\frac{3H}{4}$) ۱۵۷

نماد گذاری

- دوران در تراز کمربند تحت بارهای گستردہ مثلثی، گستردہ یکنواخت و مت مرکز $\theta_{C_p}, \theta_{C_d}, \theta_{C_e}$
- نصف طول قاب بال و جان b
- α - ضرائب لنگی برش در قابهای جان و بال تحت سه نوع بار استاندارد
- α_M و β_M - ضرائب لنگی برش در قابهای جان و بال تحت لنگر مت مرکز
- دوران یک طبقه دلخواه از قاب لوله‌ای ϕ
- C و K - به ترتیب ارتفاع کمربند از پای سازه و سختی دورانی کمربند
- E_w, E_f, G_w, G_f - مدولهای برشی و الاستیسیته معادل در پانلهای بال و جان
- EI - سختی خمشی مؤثر سازه تحت سه نوع بار گذاری استاندارد
- MEI - سختی خمشی مؤثر سازه تحت لنگر مت مرکز
- S و M - برش و ممان حاصل از بارهای خارجی
- n_w و n_f - سختیهای برشی نسبی در قابهای بال و جان برای لنگر مت مرکز
- m_w و m_f - سختیهای برشی نسبی در قابهای بال و جان برای سه نوع بار استاندارد
- P, U, T - شدت بارهای گستردہ مثلثی، گستردہ یکنواخت و مت مرکز
- t_w و t_f - ضخامت معادل در قابهای بال و جان
- w' - تغییر شکل محوری پانلهای بال و جان
- ϵ_z' - کرنشهای محوری پانلهای بال و جان
- γ_{xz} و γ_{yz} - کرنشهای برشی پانلهای بال و جان
- σ_z' و σ_z - تنشهای محوری قابهای بال و جان قبل از اعمال اصل جمع آثار قوا
- σ_{S_z}' و σ_{S_z} - تنشهای محوری قابهای بال و جان بعد از اعمال اصل جمع آثار قوا
- A_{ci} و A_c - سطح مقطع ستون گوشه در قاب لوله‌ای خارجی و داخلی
- d - دهانه قاب
- F_1, F_2 و F_3 - توابع طراحی
- G - مدول برشی
- H - ارتفاع قاب محیطی
- h - ارتفاع طبقه
- I - ممان دوم سطح قاب لوله‌ای
- I_d - ممان دوم تیرها
- I_h - ممان دوم ستونها
- m - نسبت هندسی
- P - بار مت مرکز در تراز فوقانی سازه
- p - شدت بار جانی بر واحد ارتفاع

- S_0 و S_1 - توابع تنش
 x و y - مختصه های افقی و قائم
 z و z' - مختصه قائم
 γ - کرنش برشی
 δ - تغییر شکل تراز فوقانی سازه لوله ای
 $\xi = z/H$ - مختصه قائم بدون بعد
 λ - نسبت هندسی
 τ - تنش برشی
 σ_b و σ_s - تنشهای مستقیم در قاب لوله ای و تیر ساده
 A_1, A_2 و A_3 - سطوح اعضای قائم ۱، ۲ و ۳
 b_1, b_2 و b_3 - عرض پانلهای ۱، ۲ و ۳
 d_c و d_d - به ترتیب عرض تیر و ستون
 E_1, E_2 و E_3 - مدولهای الاستیسیته اعضای قائم ۱، ۲ و ۳
 $G_1 t_1, G_2 t_2$ و $G_3 t_3$ - سختیهای برشی پانلهای ۱، ۲ و ۳
 r - عامل لنگی برش
 s_1 و s_3 - پارامترهای بدون بعد
 u_1, u_2 و u_3 - تغییر مکانهای محوری میله های ۱، ۲ و ۳
 I_w و I_r - ممان اینرسی های جان و بال
 λ_d و λ_s - عوامل تغییر شکل و تنش
 v - ضریب پواسون
 ρ - نسبت فولاد
 σ_m - تنش محل تقاطع پانلهای بال و جان
 $z = L$ - چرخش طره تحت اثر بارگذاری جانبی، چرخش فنر، چرخش نهائی، در x - لنگر در نقطه x
 K_x - سختی فنریت در نقطه x که برابر است با:
 L و x - ارتفاع ساختمان، محل قرارگیری مهار کمربندی
 A_1 و A_2 - سطح مقطع دیوارهای برشی
 A_{c1} و A_{c2} - سطح مقطع ستونهای محیطی
 b_1 و b_2 - فاصله بین نقطه عطف محیط پیوسته و محور مرکزی دیوارها
 D_1, D_2, \dots, D_6 - توابعی که نحوه تغییر مکان را بر حسب x بیان می کنند.
 d_1 و d_2 - پهنای دیوارها
 E'_s و E_s - مدول الاستیسیته مهارهای بازوئی داخلی و خارجی

- F_1 و F_2 - نیروی محوری در ستونهای محیطی
 f_1, f_2, \dots, f_6 - توابعی که نحوه جریان برش را بر حسب x بیان می کنند.
 I_1, I_2 و I_c - ممان دوم سطوح دیوارها و تیرهای اتصالی
 I_s و I'_s - ممان دوم سطح مهارهای بازوئی در دهانه های داخلی و خارجی
 K_0, K_1, \dots, K_4 - پارامترهای مشخصه دیوارهای برشی کوپله
 l_1 و l_2 - فاصله محور تا محور دیوارها و ستونها
 M_1 و M_2 - ممانهای مقاوم در تراز فوقانی دیوار، ناشی از وجود مهار کمریندی
 T_1 و T_2 - نیروهای محوری مقاوم در تراز فوقانی دیوار، ناشی از وجود مهار کمریندی
 ρ_a - نسبت سطح ستونها به سطح دیوارها
 c_i و b_i - نصف عرض پانلهای بال و جان داخلی
 I_{in} و I_N - ممان دوم سطح پانل بال در لوله های خارجی و داخلی
 $M(z)$ و $M_r(z)$ - ممان خمثی کل سیستم و ممان خمثی لوله داخلی
 M_z - ممان القائی
 N - تعداد لوله های داخلی
 $P_e(z)$ و $P_i(z)$ - به ترتیب نیروهای برشی لوله های خارجی و داخلی
 $U_{11}(z, y)$ و $U_{12}(z, x)$ - توزیع تغییر مکان در پانلهای بال و جان لوله های داخلی
 $U(y, z)$ و $U(x, z)$ - توزیع تغییر مکان در پانلهای بال و جان لوله خارجی
 $u'_{11}(z)$ و $u'_{12}(z)$ - توابع نامعین توزیع کرنش در پانلهای بال و جان لوله های داخلی
 $u'_{11}(z)$ و $u'_{12}(z)$ - توابع نامعین توزیع کرنش در پانلهای بال و جان لوله خارجی
 $u_{11}(z)$ و $u_{12}(z)$ - توابع نامعین توزیع تغییر مکان در پانلهای بال و جان لوله های داخلی
 $u_1(z)$ و $u_2(z)$ - توابع نامعین توزیع تغییر مکان در پانلهای بال و جان لوله خارجی
 V - انرژی پتانسیل کل سازه
 $V_{il}(z)$ و $V_{is}(z)$ - انرژی های پتانسیل و کرنشی در لوله های داخلی
 $V_L(z)$ و $V_s(z)$ - انرژی های پتانسیل و کرنشی در لوله خارجی
 X و Y - متغیرهایتابع نامعین $u_1(z)$
 $u_{11}(z)$ و Y_i - متغیرهایتابع نامعین $u_{11}(z)$
 ε_{zw} و ε_{zr} - کرنشهای پانلهای بال و جان لوله خارجی
 ε_{zw} و ε_{zif} - کرنشهای پانلهای بال و جان لوله های داخلی

چکیده

قاب محیطی ترکیبی است از ستونهای با فاصله کم و تیرهای عمیق که در تمام محیط پیرامونی ساختمان قرار دارد. جهت کاهش تغییر مکان جانبی و روش‌های متعددی ارائه شده است که از آن جمله می‌توان به افزودن کمربند خرپائی به سیستم ترکیبی قاب محیطی و هسته مرکزی اشاره کرد. کمربند خرپائی در ترکیب با قاب محیطی و هسته مرکزی همانند یک فنر خمشی در ترکیب با تیر کنسول عمل می‌کند که سختی آن بستگی به محل قرارگیری کمربند دارد. موقعیت کمربند و همچنین مشخصات عناصر تشکیل‌دهنده آن تأثیر زیادی در کنترل تغییر مکان جانبی و همچنین تعديل تنشهای در ستونهای تشکیل دهنده قاب محیطی دارد. در این مجموعه با انجام مطالعات پارا متريک با استفاده از نرم‌افزار SAP ۲۰۰۰، چند ساختمان بلند با ارتفاعهای متفاوت مجهر به سیستم قاب محیطی، هسته مرکزی و کمربند خرپائی مورد بررسی واقع شده‌اند. با تغییر موقعیت کمربند خرپائی، تاثیر آن بر روی تغییر مکان جانبی و توزیع تنش در ستونهای قاب محیطی مورد بررسی قرار گرفته و بهترین موقعیت کمربند خرپائی بدست آمده است. سپس با ثابت در نظر گرفتن موقعیت کمربند سطح مقطع اعضاً تشکیل دهنده آن به نحوی تغییر داده شده تا بهترین سختی برای کمربند در ترکیب با هسته مرکزی حاصل گردد. در موقعیت بهینه برای دو کمربند خرپایی درسازه‌های بلندرا نیز بررسی می‌کنیم

مکانیزم : سازه‌های بلند - کمربند خرپایی - سازه‌های نولارس بلند مرتبه - سازه‌ها

۱-۱ مقدمه

رشد شهرنشینی و افزایش جمعیت شهری در جهان، ایجاد ساختمانهای بلند را به عنوان راه حلی در جهت حل مسائل مسکن شهروندان مطرح ساخته است. ایجاد ساختمانهای بلند علیرغم پیشرفت و گسترش دامنه‌های فنی مربوط به خود، همواره با انتقاداتی از نظر اجتماعی، اقتصادی، محیطی و کالبدی و دیگر وجهه مربوط به آن در عرصه‌های شهری روبرو بوده است. در چهارچوب این مباحث، موقعیت ایجاد ساختمانهای بلند از نظر کالبدی در قالب کاربری اراضی شهری جایگاه ویژه‌ای داشته است. این جایگاه از آن نظر اهمیت دارد که به رغم بسیاری از دست اندرکاران و متخصصان شهر سازی، برنامه ریزی مناسب کاربری زمین شهری که در آن موقعیت ساختمانهای بلند نیز قابل جایابی باشد، می‌تواند در کاهش بسیاری از عوارض اجتماعی و هزینه‌های اقتصادی و تنظیم شرایط محیطی نقش تعیین کننده‌ای داشته باشد. هدف از ایجاد ساختمانهای بلند، استفاده از فضای بیشتر به منظور پاسخگویی به نیازهای مختلف شهروندان است. این مورد ضمن صرفه جویی در مصرف زمین و تسهیم قیمت آن به نسبت استفاده کنندگان، راه حلی در جهت جلوگیری از مصرف بی‌رویه زمین، مقابله با کمبود آن و گستردگی سطوح شهری محسوب می‌شود. اگر چه در سطح شهرهای جهان، ایجاد ساختمانهای بلند، بیشتر در اراضی متراکم و گران قیمت شهرها و بویژه در محدوده‌های تجاری و اداری و غالبا در جهت پاسخ به همین عملکردها صورت می‌گیرد، ولی در چند دهه اخیر ایجاد ساختمانها به منظور پاسخگویی به نیازهای مسکونی نیز مورد توجه قرار گرفته و در قسمتهایی از محله‌های شهری، ایجاد چنین ساختمانهایی گسترش یافته است. در عصر صنعت، کشورهای پیشرفته صنعتی در تجربه ایجاد ساختمانهای بلند تقدیم دارند ولی این پدیده در شهرهای بزرگ و پر تراکم کشورهای در حال توسعه

نیز در طول چند دهه اخیر شدت یافته است. هدف از ایجاد ساختمانهای بلند بیشتر از آن جهت است که ضمن صرفه جویی در مساحت زمین و سرشکن کردن قیمت آن برای ساکنان، قیمت مسکن را با سطح درآمد خانوارها هماهنگ ساخته و راه حل مناسبی را در جهت پاسخگویی به نیاز مسکونی ساکنان شهرها در پیش روی می‌گذارد. از همین روی استفاده از ساختمانهای بلند مسکونی چه از نظر سطح درآمد مقاضیان و چه از نظر حل مشکلات سازمانهای شهری چاره‌ای مناسب به شمار می‌آید. در عین حال قبل از ایجاد ساختمانهای مرتفع مسکونی، باید تمهیدات مقدماتی لازم در زمینه هم‌جواریهای شهری، ظرفیت راهها، تاسیسات عمومی و زیر بنایی شهر انجام گرفته باشد. پس از در نظر گرفتن کلیه جوانب ایجاد یک سازه بلند می‌باید سیستم سازه‌ای مناسبی برای ساختمان تعییه گردد.

یکی از مهمترین مسائل پیش روی طراحان انتخاب نوع سیستم مقاوم در برابر بارهای اعمالی به ساختمان است. با در نظر گرفتن هر یک از انواع سیستمهای سازه‌ای نمی‌توان به راه حل معقول و بهینه‌ای دست یافت.

لازم است که طراح بتواند بهترین نوع سیستم سازه‌ای را مشخص کرده و طراحی را بر اساس آن انجام دهد. یکی از راههای اقتصادی پذیرفته شده جهت احداث ساختمانهای بلند استفاده از قاب محیطی است. فرم اولیه قابهای محیطی شامل ستونهایی نزدیک بهم در پیرامون سازه می‌باشد که در تراز طبقات توسط تیرهای عمیق به یکدیگر متصل شده‌اند و تشکیل یک مستطیل شامل چهار قاب صلب عمود بر هم را می‌دهند. در قابهای محیطی متغیرهای زیادی باعث توزیع نیروهای داخلی می‌گردد که از آن جمله می‌توان به ممان اینرسی، سطح مقطع تیر و ستونها، فاصله بین ستونها، ارتفاع طبقات، ابعاد سازه و غیره اشاره کرد. رفتار قابهای محیطی بسیار پیچیده‌تر از رفتار یک مقطع مستطیلی بسته می‌باشد و در عین حال سختی آن نیز کمتر است. اگرچه سیستم قاب محیطی سازه‌ای پر بازده برای مقابله در برابر نیروهای جانبی است، ولی پتانسیل سختی آن با رفتار طرهای قابهای جان (در انر خمش ستونها و تیرها) و لنگی برش در قابهای بال که موجب تقلیل سهم آنها در تحمل لنگرهای خمی شود، کاهش می‌یابد و در نتیجه تغییر مکان جانبی قابل ملاحظه‌ای خواهد داشت. روش‌های متعددی جهت کاهش تغییرمکان و لنگی برش ارائه شده است. مثلاً با افزودن پانلهای جان متشکل از قابهای میانی در سرتاسر عرض

ساختمان و ایجاد یک سازه قاب محیطی دسته شده می‌توان تغییر مکان جانبی سازه را کم کرد. راه حل عملی دیگر جهت افزایش بازدهی سازه‌های قاب محیطی، اضافه کردن مهاربندی‌های قطری به وجوده سازه می‌باشد. در این حالت، فاصله ستونهای خارجی زیاد می‌شوند و اعضای قطری که معمولاً به زاویه ۴۵ درجه نسبت به قائم قرار می‌گیرند، ستونهای خارجی و تیرهای کناری را به یکدیگر وصل نموده و تشکیل قابهای مهاربندی شده در نمای ساختمان می‌دهند. همچنین با افزودن کمربندی خرپائی به سازه قاب محیطی می‌توان توزیع تنشهای و تغییر مکانها را متعادل کرد. در صورت اضافه شدن هسته مرکزی و اتصال آن به کمربند خرپائی که توسط مهارهای بازوئی انجام می‌گیرد، یک سازه محیطی طرہ بسیار صلب که رفتاری نزدیک به سازه جدارهای صلب کامل دارد، ایجاد می‌گردد.

۲-۱ مرواری بر تحقیقات انجام شده

قاب محیطی را می‌توان بصورت یک تیر قوطی شکل طرہ مدل نمود. آنالیز تیرهای قوطی طرہ نیز طبق قوانین مقاومت مصالح مقدماتی با رابطه خمس کلاسیک قابل محاسبه است. جهت آنالیز قابهای محیطی روش‌های متعددی ارائه شده است. کؤل (Coull) در سال ۱۹۷۵ روشی را بر اساس تئوری الاستیسیته ارائه نمود. در این روش سازه بصورت صفحات ارتوتروپیک معادل، مدل سازی شده و روابط تعادل و سازگاری در سازه معادل ارضاء می‌گردد [۱]. در سال ۱۹۷۸ کؤل (Coull) روشی را جهت بدست آوردن تغییر مکان قاب محیطی ارائه کرد [۲]. کوان (Kwan) در سال ۱۹۹۴ با استفاده از صفحه‌های ارتوتروپیک معادل، روابط انرژی و روابط تئوری الاستیسیته، معادلاتی رابرای تعیین تنش در ستونها و همچنین بدست آوردن تغییر مکان جانبی سازه قاب لوله‌ای ارائه نمود [۳]. کانور (Connor) و پوانگر (Pouangare) در سال ۱۹۹۱ روش پنج عضو قائم را که در روش فوق سازه به تیرها و صفحه‌های عمودی، معادل سازی و با محاسبه سختی برشی و خمی اعضاء، روابطی را برای تنشهای موجود در ستونها پیشنهاد نموده‌اند [۴]. روش‌های متعدد دیگری نیز جهت آنالیز قابهای محیطی ارائه شده‌اند [۵، ۶، ۷، ۸، ۹]. جهت افزایش بازدهی سازه و نزدیک کردن رفتار قاب لوله‌ای به رفتار جدارهای صلب کامل،

فرم سنتی این نوع قابها دستخوش تغییرات گوناگونی گردید که از آن جمله می‌توان به افزودن پانلهای میانی در سرتاسر عرض سازه، ایجاد مهاربندی‌های کلی در وجوده سازه [۱۰] و همچنین افزودن هسته مرکزی و کمربند خرپائی اشاره کرد [۱۱ و ۱۲]. یکی دیگر از روشها جهت بهبود رفتار قاب لوله‌ای، افزودن قابهای لوله‌ای داخلی به سازه اولیه می‌باشد. در این حالت توزیع تنش و تغییر مکان تعدیل چشمگیری می‌یابند [۱۳ و ۱۴]. جهت بررسی پارامترهای موثر بر رفتار سازه ترکیبی قاب لوله‌ای، هسته مرکزی و کمربند خرپائی نیاز به شناخت رفتار و عملکرد تک تک سازه‌های تشکیل دهنده سیستم ترکیبی می‌باشد. رفتار هسته مرکزی تحت اثر پیچش و نیز تاثیر پدیده لنگی برش بر این سازه در مراجع [۱۵ و ۱۶] بررسی شده است. رفتار مهارهای بازوئی و کمربند خرپائی در سیستم‌هایی متفاوت مانند دیوار برشی کوپله و قاب ساده و تاثیر آن بر کاهش جابجایی و بهینه کردن رفتار سازه در مراجع [۱۷ و ۱۸] آمده است. سیستمهای موثر و گوناگون سازه‌ای جهت افزایش بازدهی سازه قاب محیطی و نیز ارائه شیوه‌هایی نوین جهت افزایش ارتفاع سازه‌ها و استفاده بهینه از مصالح در مرجع [۱۹] قابل دستیابی است.

۳-۱ اهداف

با توجه به روش‌های بخش قبل جهت آنالیز قاب محیطی مشاهده می‌شود که دوعامل، تغییر شکل برشی قابهای موازی بار جانبی و تغییر شکل محوری ستونهای تشکیل دهنده قابهای عمود بر جهت بار جانبی، مقاومت سیستم در برابر بارهای زلزله و باد را تامین می‌کند. لیکن پدیده لنگی برش باعث افزایش نیروی محوری ستونهای گوشه و کاهش آن در ستونهای میانی قابهای بال می‌گردد. بنابراین سختی سازه کاهش می‌یابد. در این مجموعه سعی شده تا تاثیر کمربند خرپائی و هسته مرکزی بر رفتار سیستم قاب محیطی بررسی گردد. جهت کاهش پدیده لنگی برش و همچنین تغییر مکان جانبی قاب لوله‌ای، می‌توان یک هسته مرکزی با صلبیت نسبتاً زیاد را با آن ترکیب کرد. هنگامی که کمربند خرپائی به سیستم فوق افزوده گردد و در بهترین شرایط از لحاظ موقعیت و سختی قرار گیرد، تغییر مکان جانبی سازه کاهش بیشتری یافته و پدیده لنگی برش که دارای بیشترین شدت در تراز پایه می‌باشد، کاهش چشمگیری خواهد داشت. کمربند خرپائی در ترکیب با قاب لوله‌ای بدون حضور هسته مرکزی سبب افزایش سختی

تراز قرارگیری خود می‌شود. درنتیجه تغییر مکان و لنگی برش سیستم کاهش می‌یابد. جهت آنالیز تقریبی سیستم ترکیبی قاب لوله‌ای، هسته مرکزی و کمربند خرپائی، با استفاده از انرژی پتانسیل کل سازه، معادلات حاکم بر رفتار قاب حاصل شده و با حل همزمان این معادلات، مجھولات که شامل تغییرمکان و توزیع تنش محوری در پای سازه می‌باشند، حاصل می‌گردد. در این روش کمربند خرپائی بصورت فنر خمشی با سختی دورانی ثابت در نظر گرفته شده است که بصورت لنگر متتمرکز در تراز قرارگیری خود عمل می‌کند.

در فصل اول این مجموعه مقدماتی کلی از بحث و اهداف و نتایج گردآوری شده است و سپس در فصل دوم تاریخچه ساختمانهای بلند و فصل سوم روشهای مقاومسازی این نوع ساختمانها و موضوعات مهم در آنها مرور شده است. در فصل چهارم تعدادی از روشهای موجود تحلیل تقریبی سازه‌های قاب محیطی، قابهای محیطی تو در تو و هسته مرکزی به تنهایی بیان شده است. همچنین رفتار سیستم قاب ساده، هسته مرکزی و مهار کمربندی و نیز تاثیر مهار کمربندی مورد بررسی قرار گرفته است.

در فصل پنجم سعی بر این خواهد بود تا با استفاده از روش اجزای محدود بهترین موقعیت کمربند را در سیستم ترکیبی قاب لوله‌ای، هسته مرکزی و کمربند خرپائی به ازای بارگذاری‌های مختلف در سازه‌های بلند با ارتفاعهای مختلف محاسبه کرد. فصل ششم به بررسی نتایج دیاگرامهای و توزیع تنش حاصل از روش اجزای محدود و پیشنهادات اختصاص یافته است. در ادامه نیز پیوست الف حاوی روش مدلسازی قاب محیطی به صفحات پیوسته بال و جان، و بخش پایانی نیز حاوی مراجع است.

فصل دوم

- ۱-۱ تاریخچه ساختمانهای بلند ۸
۲-۲ ملاحظات معماری ساختمانهای بلند ۱۲

۱-۲ تاریخچه ساختمانهای بلند

انسان برای راحت زیستن و مصون بودن از حوادث طبیعت و حملات جانوران درنده زندگی را از غارنشینی شروع کرده و با حس کنجکاوی خویش به وجود انواع مصالح و لوازم پی برده و با کشف و استخراج آنها و آمیختن یافته های خود با تکنولوژی و صنعت نوین به ساخت ، ساختمانهای عظیم جثه چندین طبقه زیرزمینی یا روزمزینی رسیده است .

انسان تمدن خویش را بر روی خاک بنا نهاده و هر روز بر وسعت و عظمت آن می افزاید . زمینی که پیوسته از درون و بیرون تحت تاثیر نیروهای عظیم طبیعی قرار می گیرد .

پدیده هایی که تمدن انسان را به ویرانی کشانده و تهدید آنها همواره انسان را نگران می سازد . امروزه این نگرانی بسیار قابل توجه شده است زیر انسان با ساخت آسمان خراش ها و برج هایی که سر به فلک کشیده عملأً به جنگ با نیروهای خردکننده طبیعی پرداخته است .

جالب اینکه پا را فراتر نهاده سعی دارد این نیروهای طبیعی را به اسارت خود در آورده از نیروی شگرف آنها در بنای تمدن خویش استفاده کند . و در این مصاف بی امان با پدیده ها انسان از علم خود بهره می گیرد تا آنچه را می سازد با دوام باشد و گویی که این قامتها رعنای هرگز هوای از پای فتادن نباشد حاصل این جدال ، بنای عظیم و برجهای سر به فلک کشیده است که اهمیت و عظمت آنها را هر روز مشاهده می کنیم .

با توجه به اینکه موجودیت جهان همچنان ادامه دارد و هر روز جلوه گری و فربینندگی بیشتری داشته و اسرار شگفت انگیز تازه ای را نمایان می سازد و بشر نیز دلش کانون آمار و آرزوهای بی انتهاست معلوم نیست که فرداهای دیگر با پیشرفت علم و تکنولوژی چه اهرام های عظیم و ساختمانهای با شکوهی

بنا کند که با آفت زمان و گرددش جهان ویران نگردد و ساختمانهای آن چنانی امروز ، در مقابل عظمت آنها بسیار ناچیز باشد .

از بدو آغاز تمدن بشری یکی از اهداف انسان دستیابی به برجها و ساختمانهای بلند مرتبه بود ، ساخت این بناها ابتدا با هدف دفاع شروع شد و سپس به مرور جنبه های نمادین و کاربردی پیدا کرد . رشد و توسعه ساختمانهای مرتقع و برجهای جدید از دهه ۸۰ قرن نوزدهم با کاربردی تجاری و مسکونی شروع شد و این ساختمانهای بلند به خاطر ظاهری شاخص به عنوان وسیله تبلیغی و برای مدیریت های تجاری مورد استفاده قرار گرفت .

ساختمانهای چوبی یکی از متدالترین فرمهای سازه ای در رم باستان بود اما پس از آتش سوزی بزرگ رم مصالح چوبی جای خود را به مصالح آجری داد و از آن پس و در قرنهای بعدی مواد اصلی ساختمانها را مصالح بنایی تشکیل می دادند اما از طرف دیگر علیرغم مقاومت فشاری مناسبی که مصالح بنایی داشت باعث اعمال بار مرده قابل توجهی می شد . این مساله خود ایجاد اشکال می نمود . ساختمانهای آجری بلند در اواخر قرن نوزدهم گسترش یافت . در سال ۱۸۹۱ مرتقع ترین ساختمان آجری با ۱۶ طبقه و در شهر شیکاگو ساخته شد که به ساختمان (Monadnock) مشهور است و می توان گفت این ساختمان آخرین سازه بلند با مصالح سنگین بود .

لازم به ذکر است بنای آرامگاه قابوس بن و شمسیگر معروف به لیل قابوس واقع در مرکز شهر گنبد کاووس احتمالاً بلندترین ساختمان آجری در ایران است . بلندی این بنا از روی تپه ای که بر بالای آن ساخته شده ۴۴ متر است .

تحولات اقتصادی و اجتماعی که در قرن ۱۹ و در پی گسترش دامنه صنعت پدید آمد انگیزه ای بسیار مناسب برای ساخت سازه های بلند گردید .

اما رشد و توسعه سازه های بلند مدیون دو ابداع مهم در قرن ۱۹ بود یکی ابداع و دستیابی به آسانسور و دیگری دستیابی به مصالح و موادی به مقاومت و کارایی بالا نظیر آهن و فولاد ، ساختمانهای بلند از زمانی رواج یافت که استفاده از آسانسور در ساختمانها معمول گردید .

اولین آسانسور حمل اشخاص در آمریکا و در سال ۱۸۵۷ بکار افتاد و بدین ترتیب محدودیت در ارتفاع ساختمانها از بین رفت . بسط و رواج ساختمانهای بلند را می توان از آمریکا دانست . آسمان خراش سازی از شهر شیکاگو و بعد از حریق معروف این شهر در سال ۱۸۷۱ آغاز شد . اولین ساختمان بلند با قابهای فلزی و ترکیبی مدرن ، ساختمان ۱۱ طبقه بیمه مسکن (Home Insurance Building) شیکاگو به سال ۱۸۸۴ بود در این ساختمان از طبقه ششم به بالا از تیرها و شبکه های فولادی استفاده شده . پس از آن در سال ۱۸۹۹ ساختمان ۹ طبقه Ramd – McNally با قابهای فولادی ساخته شد . دو سال بعد بازهم در شیکاگو ساختمان ۲۰ طبقه (Masonic Temple) بنا شد در این ساختمان برای اولین بار از فرم سازه ای قابهای مهار بندی شده و دیوار برشی استفاده گردید . احداث ساختمانهای بلند به شکل آسمان خراش با اتصالات پرچ که به نام سیستم شیکاگو معروف شد در نیویورک نیز بلافاصله رایج و در عرض ۲۰ سال از شروع ساخت این نوع ساختمانها از (۱۸۸۸ تا ۱۹۸۰) بناهایی تا ۵۰ طبقه با ارتفاع بیش از ۲۱۰ متر ساخته شد . در همین سالها بود که اهمیت نیروی باد در طراحی سازه های بلند مطرح گردید و با پیشرفت و ابداع روشهای جدید طراحی و دستیابی به تکنولوژی نوین اجرایی به تدریج ارتفاع ساختمانهای فولادی نیز افزایش یافت و در سال ۱۹۱۳ ساختمان (Wool Worth) با ۶۰ طبقه در نیویورک ساخته شد . به دلیل روند صعودی احداث ساختمانهای بلند مرتبه این دوران ، دوران طلایی آسمان خراش سازی لقب گرفت . از سال ۱۹۳۰ به بعد بزرگترین ساختمانهای از این نوع یعنی ساختمان ۷۵ طبقه (Chrysler Building) و در سال ۱۹۳۱ ساختمان ۱۰۲ طبقه امپایر استیت (Empire state Building) در نیویورک ساخته شد و دوران طلایی آسمان خراش سازی به اوج خود رسید . ساختمان امپایر استیت و مرتفع ترین ساختمان آن زمان بود ارتفاع آن تا نوک آنتن تلویزیون بالای آن ۴۴۸ متر و ارتفاع خود ساختمان در حدود ۳۸۲ متر و در آن از سیستم قابهای فولادی مهار بندی شده استفاده گردید .

در آن دوران عظیم ترین ساختمان از نظر بزرگی سطح زیر بنا ساختمان (mere handise mart) در شیکاگو با ۱۸ طبقه و زیر بنای بیش از چهار صد هزار متر مربع بود . از دیگر ساختمانهای مهم از نظر مهندسی - ساختمان لاتین - آمریکا (Lation Americano Tawer) در شهر مکزیکو بود . این برج در ۴۴ طبقه و با ارتفاع (تا بالای آنتن تلویزیون) بیش از ۱۸۰ متر احداث گردید . بدین خاطر این ساختمان مهم به شمار می رفت .

رکود اقتصادی سالهای دهه ۱۹۳۰ پایانگر دوران اول آسمان خراش سازی بوده . دوره بعد پس از جنگ جهانی دوم و در پی دستیابی به راه حل های سازه ای و معماری جدید شروع شد .

در این دوره به جای تلاش در افزایش ارتفاع ، متخصصین به معرفی سیستمهای جدید سازه ای مواد با کیفیت و کارایی بهتر و روشهای طراحی و ساخت نوین پرداختند .

این روند ادامه یافت تا در سال ۱۹۷۳ با استفاده از سیستم سازه ای قابهای محیطی (Framed) برجهای ۱۱۰ طبقه (world Trade center) به ارتفاع ۴۱۲ متر به پایان رسید . پس از آن در سال ۱۹۷۴ عملیات اجرایی ساختمان (Seare Towed) شیگاکو به ارتفاع ۴۴۲ متر با استفاده از سیستم سازه ای قابهای محیطی دسته شده (Bundled Tube) به پایان رسید و رکورد ارتفاع ساختمان امپایر استیت شکسته شد . بعد ها در سال ۱۹۹۶ برجهای دوقلو پتروناس با ارتفاع ۴۵۱/۹ متر در مرکز شهر کوالالامپور مالزی به بهره برداری رسید . از سال ۱۹۶۰ به بعد برجهایی به کاربریهای متفاوت احداث گردیده و از آن جمله می توان به برجهای مخابراتی - تلویزیونی اشاره کرد .

اما به طور کلی بلندی خود یک حالت نسبی است و ساختمانها را نمی توان بر حسب ارتفاع یا تعداد طبقه دسته بندی و تعریف نمود . بلندی یک ساختمان بستگی به شرایط اجتماعی و تصورات فرد از محیط دارد . بنابراین ارائه یک معیار قابل قبول همگانی برای تعریف بلندی ساختمان ، عملا هرگز غیر ممکن است .

بنا بر این ساختمان بلند با توجه به تعداد طبقات و یا ارتفاع تعریف نمی گردد بلکه رابطه مستقیم با بافت شهری ساختمانهای احداث شده در آن شهر و یا کلان شهر دارد که این مهمترین عامل برای تعریف ساختمانها بلند می باشد .

۲-۲- ملاحظات معماري ساختمانهای بلند:

نتایج حاصل از مطالعه علل ویرانی ساختمانها در جریان زلزله های مخرب و نیز تجربیات آزمایشگاهی که بر روی مدل‌های ساختمانی انجام شده به نحوی قاطع ثابت کرده است که چگونگی شکل ساختمان تاثیری بسزا در مقابل زلزله دارد و با وجود این در طراحی سازه های مقاوم در برابر زلزله هنوز چنانکه شایسته است به انتخاب شکل مناسب ، عنایتی نمی شود و تصور عام بر آن است که تنها محاسبه سازه ای ضد زلزله برای یک ساختمان در تامین پایداری آن در برابر لرزش‌های زمین کافی است .

در بین مراحل مختلفی که هنگام بررسی یک ساختمان برای پایداری در برابر زلزله در نظر گرفته می شود مرحله اتخاذ تصمیم در مورد تعیین پیکربندی ساختمان از اهمیت ویژه ای برخوردار است این پیکربندی شامل مشخصات هندسی ساختمان نظیر اندازه ها ، ارتفاعات ، و موقعیت عناصر ، نوع ، و وضعیت اجزاء سازه ای و نیز طرز قرارگیری اجزاء غیر سازه ای می باشد .

هر چه شکل ساختمان منظم تر و توزیع جرمها و سختیهای آن در سطح افق (پلان) و در ارتفاع مقارن تر باشد مقاومت آن در برابر زلزله افزایش خواهد یافت این افزایش ناشی از توزیع بهتر تلاشها و مشارکت تمام اجزاء اسکلت در جذب و استهلاک نیروهایی است که در اثر زلزله به ساختمان وارد می شود .

اصولاً تصور اینکه محاسبه به تنها یکی می تواند رفتار ساختمان را در مقابل زلزله منعکس کند تصوری غلط است . محاسبات فنی تنها تصویری از رفتار ساختمان در برابر زلزله را ارائه می دهد و تعهدات دیگری لازم است تا ساختمان را برای رسیدن به درجه ایمنی مطلوب کامل کند .

معمولا در ساختمانهای بلند سعی می شود که معماری آن به شکل متقارن و کلیه خطوط ارتباطی در هسته مرکزی قرار گیرند . این عملکرد از لحاظ انتقال نیروهای افقی و به منظور مقابله با زلزله و حفظ پایداری ساختمانها ارجع است .

علاوه بر اینکه از ساختمانهای بلند می توان برای سکونت و زندگی استفاده کرد ، کاربریهای دیگری نیز استفاده شده است مانند اداری - تجاری و بازرگانی . اما بطور کلی جهت سکونت ساختمانهای خیلی خیلی بلند (برج) مناسب نبوده و ساختمانهایی که ارتفاع آنها خیلی خیلی بلند نیست (برجهای

متوسط) برای زندگی مناسب تر می باشد . برجهای بلند دارای مسائل و مشکلات شناخته شده زیادی هستند و خواهند بود و ساخت آنها بیشتر از لحاظ پرستیزی در کشور های مختلف ساخته شده و یا در حال طراحی می باشند . شکل پلان - یک پلان باید سادگی ، فشردگی و سختی پیچش داشته باشد .

سادگی - از نقطه نظر مقاومت در برابر زلزله یک پلان ساده نظیر شکل مربع یا دایره مطلوب است

فسردگی - در یک ساختمان با شکل طولانی و گسترده به علت وجود اختلافات در فاز حرکت لرزه ای نیروهای پیچیده ای عمل خواهند کرد در چنین ساختمانهایی درز زلزله لازم است .

تقارن و سختی پیچش بالا - برای احتراز از تغییر شکل پیچش لازم است مرکز سختی ساختمان بر روی مرکز جرم آن منطبق باشد که برای اراضی این شرط لازم است هم شکل ظاهری ساختمان و هم سازه آن دارای تقارن باشد .

شكل قائم - شکل قائم بایستی یکنواختی و پیوستگی و نیز تناسب داشته باشد .

یکنواختی و پیوستگی - لازم است از تغییرات ناگهانی در شکل بندی قائم یک ساختمان دوری جست .

تناسب - یک ساختمان با نسبت بزرگ ارتفاع با پهنا تحت بارهای جانبی از خود جابجایی جانبی زیادی نشان می دهد .

فصل سوم

بررسی انواع سیستم‌های مقاوم در برابر بارهای جانبی

۱-۳- فرمهای سازه‌ای

از دیدگاه یک مهندس سازه، بهترین فرم سازه‌ای، انتخابی است که در آن اعضای اصلی ترکیب‌های مختلف بارهای قائم و افقی را به صورت بهینه تحمل نمایند. اما در عمل معمولاً ملاحظات غیر سازه‌ای، تأثیرات بسیار مهمی به انتخاب فرم سازه دارند و ممکن است تعیین کننده باشند. از عوامل مهمی که باید در تصمیم‌گیری فرم‌سازه دخالت داده شدن، پلان داخلی، مواد، روش اجرا، معماری و شکل خارجی ساختمان، موقعیت و مسیر سیستم‌های تأسیساتی و سرویس، نوع و مقدار بار جانبی و ارتفاع ساختمانی می‌باشند هر چه ساختمان بلندتر و لاغرتر باشد، عوامل سازه‌ای از درجه اهمیت بیشتری برخوردار می‌گردند و متعاقباً نیاز به انتخاب فرم مناسب سازه‌ای نیز بیشتر می‌شود.

۲-۳- قاب صلب

اتصالات صلب دارای چنان سختی می‌باشند که زاویه میان اعضاء بدون تغییر تحت اثر بار باقی می‌ماند. قاب صلب شامل تیرهای افقی با مقطع پیرامونی مستطیلی و ستون‌های قائم که با اتصالات صلب به یکدیگر متصل شده باشند، می‌باشد. بار جانبی با توجه به سراسری بودن اعضاء در گره‌ها که با اتصالات صلب متصل شده‌اند بوسیله خمیش اصلی تیرها و ستونها تحمل می‌گردد.

در اثر لنگر واژگونی واردہ به قاب، ستونهای مجاور بار جانبی تحت نیروی کششی و ستونهای مقابل بار جانبی، تحت نیروی فشار قرار می‌گیرند. ستونهای تحت کشش دارای طول بیشتر و ستونهای فشاری دچار کاهش طول می‌شوند. در نتیجه تغییر طول ستونها ساختمان دوران نموده و منجر به تغییر شکل جانبی می‌گرد. این حالت تغییر شکل ۹۰ الی ۹۵ درصد مجموع تغییر شکلی را که متناسب با تیر طره است، شامل می‌شود و در حالت قاب صلب این پدیده حدود ۲۰ درصد از تغییر شکل سازه را شامل

می‌شود و بقیه در نتیجه خمش قاب می‌باشد. این مورد با تغییر شکل برشی در تیر که سبب خمش در المانهای تیر و ستون قاب می‌گردد شبیه‌سازی می‌شود. بارهای جانبی در قاب صلب سبب نیروهای برشی افقی و قائم به ترتیب در ستونها و تیرها می‌گردد، که لنگر خمشی در اعضاء ایجاد می‌کند. خمش تیرها و ستون‌ها باعث تغییر شکل در تمام قاب می‌گردد. این نوع تغییر شکل در حدود ۸۰ درصد از مجموع تغییر مکان‌سازه است. در ساختمان قاب صلب با فاصله ستونهای حدود ۱۰ الی ۱۲ متر و ارتفاع طبقه حدود ۳/۵ متر سهم خمش تیرها در حدود ۵۰ الی ۶۵ درصد مجموع تغییر مکان کل و سهم ستونها ۱۰ الی ۲۰ درصد از مجموع تغییر مکان است. زیرا در اکثر قابهای مهاربندی نشده نسبت سختی ستون‌ها به سختی تیرها بسیار بالاست، در نتیجه عمدۀ چرخش گره‌ها بوسیله تیرهای با سختی کم بوجود می‌آید.

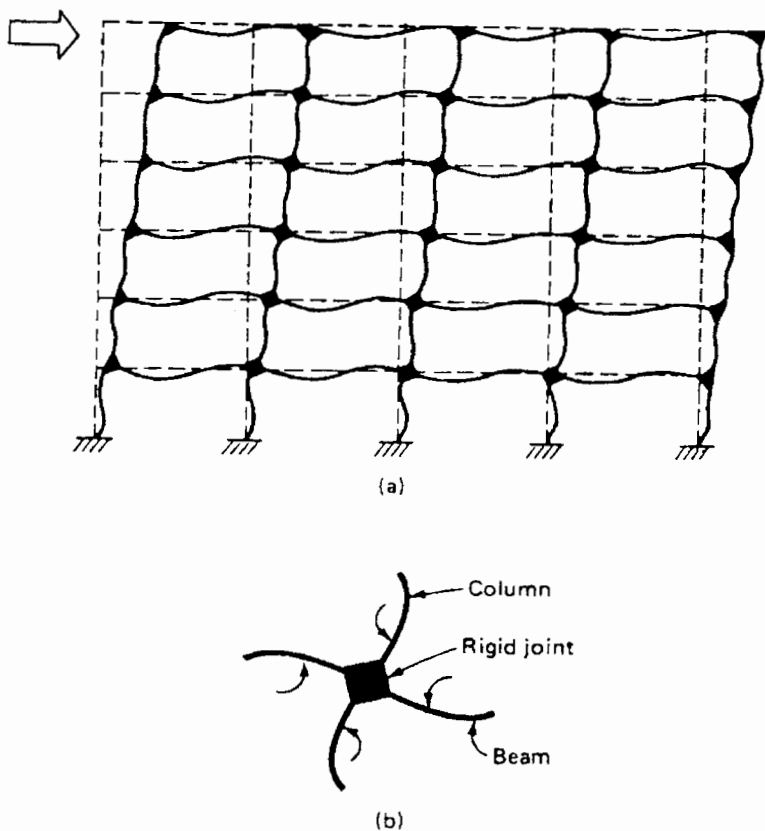
حمل نیروهای قائم و افقی در قابهای صلبی دو مزیت عمدۀ را در بر دارد:

- ۱- فواصل بین ستون‌ها به صورت آزاد در اختیار عملکرد آرشیتکتی مجموعه قرار می‌گیرد (به عبارت دیگر سقف‌های آزادی را برای تقسیم آرشیتکتی در اختیار طراح قرار می‌دهد)
- ۲- قابهای صلب به محض اجرا، قابلیت تحمل نیروها را دارا می‌باشند.
- ۳- قابهای صلب به محض اجرا، قابلیت تحمل نیروها را دارا می‌باشند.

و البته دارای اشکالات زیر نیز می‌باشد:

الف) قابهای صلب اغلب از انواع دیگر مهاربندیها گرانتر می‌باشند. این امر بخصوص در ساختمان‌های نیمه مرتفع بیشتر مشهود است.

ب) ستونهای قابهای صلب اغلب دارای مقاطع بسیار بزرگی بوده، بالطبع جای بزرگتری را می‌طلبند که یک حسن عمدۀ قابهای فولادی را زیر سوال قرار می‌دهند. مقایسه اقتصادی سیستم‌ها خاطر نشان می‌سازد که قابهای صلب اغلب برای ساختمان‌های کوتاه، که نیروهای افقی کوچک می‌باشند، بکار می‌روند. البته در ساختمان‌های مرتفع و نیمه مرتفع نیز قابهای صلب بوده و اتصالات قابلیت تحمل و انتقال لنگرهای خمشی را دارا می‌باشند تا ارتعاشات و تغییر مکان ساختمان را تا حد امکان محدود سازند.



شکل شماره ۳-۱ تغییرشکل قاب صلب تحت بار جانبی [۱۱]

برای ساختمان‌های معمولی و باریک، بعنوان مثال یک ساختمان یک دهانه چند طبقه، ساده‌ترین روش استفاده از قابهای صلب می‌باشد. برای ساختمان‌های پهن یا چند دهانه اغلب بدلیل هزینه اجرا، اگر کلیه دهانه‌ها به صورت قاب صلب طراحی شوند، غیر اقتصادی خواهد بود و صلب بودن و یا سه دهانه برای پایداری سازه کفايت می‌کند. مشکل عمده در ساخت قابهای صلب طراحی و اجرای اتصالات گیردار می‌باشد.

۳-۳- قابهای مهاربندی شده

قاب مهاربندی شده سیستمی برای بهبود بازده قاب خمثی بوسیله حذف عملکرد خمثی و اضافه کردن یک سیستم خریابی طرهای می‌باشد. در این حالت، برش واردہ در ابتدا توسط اعضای قطری جذب می‌شود و نه تیرها، این اعضای قطری، برش را مستقیماً بصورت نیروی فشاری و یا کششی تبدیل کرده و به سیستم قائم انتقال می‌دهند. به صورت رایج معمولاً محورهای تمام اعضاء متشكل باشند از یک نقطه عبور نماید و بالطبع کلیه اتصالات را می‌توان بصورت مفصلی و یا گیردار اجرا نمود.

در چنین قابهایی بالهای مجموعه را ستون‌ها و کلافهای مجموعه را تیرها تشکیل می‌دهند و فقط اعضای قطری به سیستم اضافه می‌شوند. اعضای قطری را می‌توان بگونه‌ای قرار داد که فقط تحت اثر کشش، فشار و یا کشش- فشار کار نمایند.

محاسن و معایب عمدۀ این سیستم عبارتست از:

۱) برای ساختمان‌های کوتاه، اغلب یک یا دو مهاربندی درون دیوارها محدودیت‌های کمی را موجب می‌گردند، اما در ساختمان‌های نیمه مرتفع این مهارها بصورت چشمگیری افزایش می‌یابند.

۲) مانع عمدۀ ای در قبال عبور کانالهای هوارسانی و شبکه تأسیسات ساختمان نیستند.

۳) با تغییر شکل مهاربندی، می‌توان حتی در پانلهای مهاربندی شده به بازشویی دست یافت.

۴) بخصوص هنگامی که مهارها به صورت کششی طرح می‌شوند سطح مقطع آنها کوچک بوده و درون دیوارها پنهان می‌گردد.

۵) به محض اجراء سیستم پایدار خواهد بود.

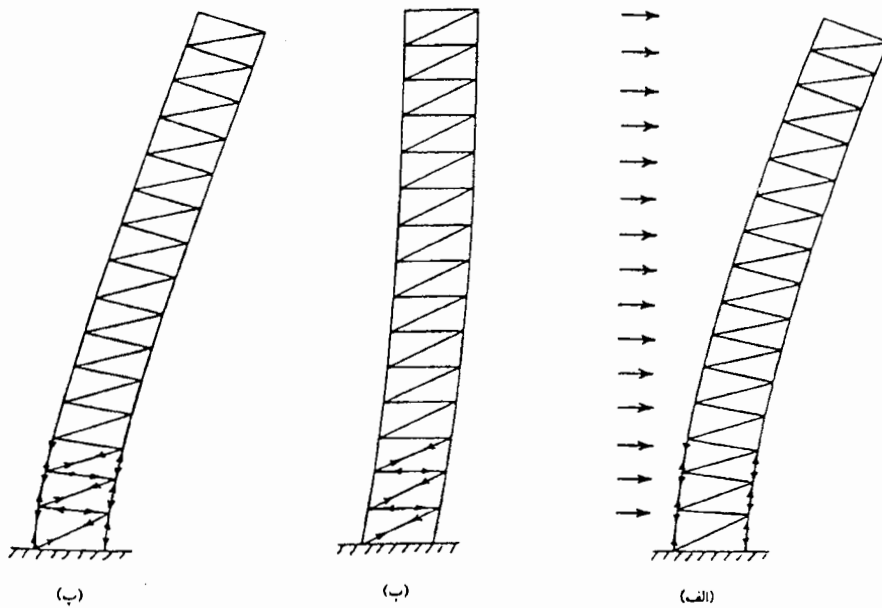
۶) امروزه سیستم‌های مهاربندی نمایان در داخل یا خارج ساختمان، یک فرم آرشیتکتی را تشکیل می‌دهند.

۷) دیوارهای درون مهاربندیها نمی‌توانند بصورت پیش ساخته باشند.

۸) اعضاء قطری برای ساختمان‌های نیمه مرتفع، سطح مقطع بسیار زیادی را دارا می‌باشند.

در مهاربندیهای قابها باید توجه نمود که با افزایش دهانه مهار شده، می‌توان طرح اقتصادی‌تر و سازه صلب‌تری را به دست آورد. همچنین می‌توان با استفاده از اتصالات صلب تیر- ستونی کلأ سازه صلب‌تری

را بدست آورد که نهایتاً یک سیستم مرکب قاب مهاربندی شده را نتیجه می‌دهد. از نظر سازه‌ای این مهاربندیها یک خرپای قائم طره‌ای که در پایه گیردار می‌باشند را بدست می‌دهند. سیستم‌های مهاربندی باریک و لاغر باعث تولید نیروهای بزرگی در اعضا می‌گردد که بالنتیجه گرنشهای زیادی را موجب می‌شوند، بالطبع در سازه‌هایی با ستون‌های نزدیک به هم که مهاربندیها در یک دهانه انجام شده‌اند تغییر شکل‌های زیادی رخ می‌دهد. در مهاربندیها با دهانه بزرگ، نیروهای تولید شده کوچک بوده و تغییر شکل‌ها نیز کاهش می‌یابند. در صورت امکان، این امر باعث می‌شود که مهاربندی در کل طول یا عرض ساختمان و یا به عبارت دیگر هر جا که به لحاظ معماری امکان‌پذیر باشد قرار داده شود. در مهاربندیها لاغر می‌توان صلبیت سازه را با استفاده از مهارهای کلاهک و یا کمربندی افزایش داد. این مهاربندیها در واقع یک سیستم، ما بین مهاربندی قائم و مهاربندی کل سازه می‌باشند. استفاده از تیرهای عمیق بزرگ نیز عیناً همین اثر را بر کل سازه دارد.



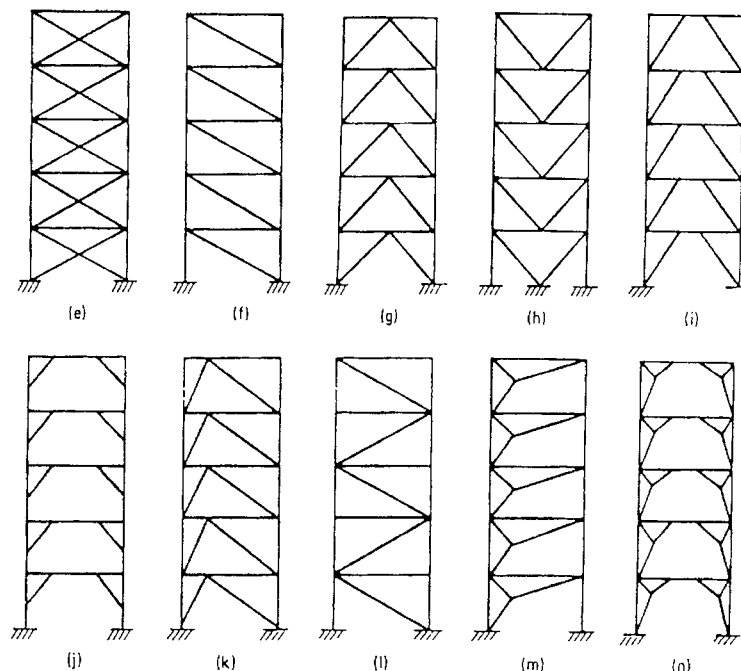
شکل شماره ۳-۲-الف- تغییر مکان خمشی، ب- تغییر مکان برشی، ب- ترکیب تغییر مکانها

۴-۳- انواع مهاربندیها

انواع شکلهای مختلفی را می‌توان به عنوان سیستم مهاربندی بکار برد. این سیستم می‌تواند از یک مهاربندی قطری ساده در یک دهانه تا یک سیستم مهاربندی متشکل از تعداد متنابه‌ی اعضاء برای صلب کردن یک دهانه متفاوت باشد، ولی بهر حال انواع مهاربندیها را به صورت زیر طبقه‌بندی می‌کنند:

- | | | |
|---|---------------|----------------------|
| ۱) مهاربندی قطری Z | ۲) مهاربندی X | ۳) مهاربندی لوزی شکل |
| ۴) مهاربندی ۸ | ۵) مهاربندی ۷ | ۶) مهاربندی K |
| ۷) انواع مهاربندیهای چندین طبقه و دهانه | | |

انواع دیگری از مهاربندی نیز در شرایط خاص ممکن است استفاده گردد. بهر حال در شرایطی که زاویه مهاربندی به لحاظ معماری باید عوض شود، از اعضای درجه دوم برای نگهداشتن آنها استفاده می‌گردد.



شکل شماره ۳-۳ انواع گوناگون مهاربندها

لازم به یادآوریست که مهارها در انتقال نیروهای قائم نیز سهم عمدہ‌ای بعده دارند. ستونها هنگامی که سازه برپا می‌شود، با افزایش بار مرده، کرنشی در جهت کوتاه شدن خواهد داشت (بخاطر اثر ناشی از کرنش الاستیک فولاد تحت اثر بار) و حتی این امر با اتمام ساختمان و اعمال بار زنده نیز ادامه می‌یابد. بنچار اعضای قطری تحت اثر نیروهای فشاری اضافی نیز باید طرح گردند. در مورد اعضای قطری که به صورت کششی عمل می‌نمایند اتصالات دائم نباید تا موقعی که کلیه تغییر شکل‌های قائم ناشی از بار مرده به اتمام نرسیده است، اجرا گردد، زیرا که اطمینان از اینکه هیچگونه تنش فشاری در آنها بوجود نیامده، اطمینان از عملکرد کشگونه عضو را تضمین می‌کند. یک روش کاملاً موثر و نسبتاً رایج، پیش‌تنیده کردن آنها با نیرویی برابر نیروی فشاری وارد و سپس اجرای اتصال می‌باشد.

مرسوم‌ترین روش اتصال در اتصالات مهارها در ساختمان‌های مرتفع، استفاده از پیچ و مهره می‌باشد. مهارهای خارجی در اطراف سازه، که در نمای سازه به کار می‌رود، امروزه به صورت یک طرح آرشیتکتی استفاده می‌شود. در این صورت معمولاً مهاربندی‌های قطری بعنوان یک عضو باربر باید در مقابله با حریق حفاظت گردد.

استفاده از مهاربندی‌های خارجی امروزه بعنوان یکی از پریازده‌ترین روشهای صلب کردن ساختمان‌های مرتفع و نیمه مرتفع رواج یافته است، با اضافه شدن عملکرد باربری ثقلی این مهارها، این اعضاء اغلب تحت تأثیر نیروهای زیادی قرار گرفته و به لحاظ طراحی مقاطع حجیمی را تشکیل می‌دهند. در یک مهاربندی خارج از مرکز، اتصال قطری معمولاً در لبه اتصال تیر و ستون قرار می‌گیرد، در این سیستم اگر چه انعطاف‌پذیری کافی، جهت استفاده در مناطق زلزله‌خیز حاصل می‌گردد، ولی از پیچیدگی اتصال در محل تیر و ستون جلوگیری می‌شود. در این نوع مهاربندی با نزدیک نگاهداشت محل اتصال و عضو قطری به ستون، سختی کل سیستم به سختی مهاربندی مرکزی نزدیک شده، با دور شدن اتصال از ستون اتصال به لحاظ شکل ساده‌تر می‌گردد.

قباهای با مهاربندی خارج از مرکز از نقطه نظر مقاومت و سختی بسیار خوب بوده و بطور گسترده‌ای بصورت تنها (سیستم مقاوم در برابر بارهای جانبی) و یا همراه با قابها بکار می‌رond. البته در مناطق زلزله

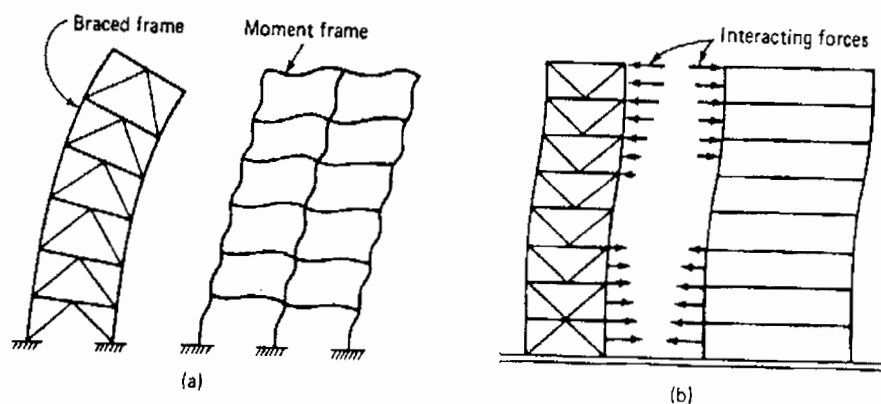
خیز در این نوع مهاربندی قابل توصیه نمی‌باشد، زیرا رفتار مطلوب در محدوده پلاستیک و یا قدرت جذب انرژی بالایی را ندارند (مگر این که دتایلهای خاصی را جهت اطمینان از جذب انرژی رعایت نمود).

۳-۵-۳- قاب صلب مهاربندی شده:

در ساختمان‌های ۱۰ تا ۱۵ طبقه، اگر سیستم مهاربندی فقط به هسته سازه محدود شود، ستون‌های سنگینی طراحی خواهد شد. بعلاوه نیروهای زیادی بالا برنده (uplift) در پائین ستون‌های هسته مشکلاتی را برای پی ساختمان و طراحی آن بوجود خواهد آورد. در چنین مواردی راه حل اقتصادی، ایجاد قابهای صلب و هسته مهاربندی شده را نشان می‌دهد.

تغییر شکل افقی قاب صلب مهاربندی شده و بدون مهار که توامًا یک سیستم سازه‌ای را در مقابل بارهای جانبی تشکیل می‌دهند یکسان است. بنابراین بارهای افقی به نسبت سختی بین آنها تقسیم شده و می‌توان دو سیستم مزبور را جداگانه در نظر گرفت.

تغییر شکل یک قاب مهاربندی شده شباهت زیادی به تغییر شکل یک تیره طره دارد که شیب انحناء در بالای سازه از بقیه نقاط بیشتر است. پس این ناحیه در ایجاد سختی افقی شرکت کمتری دارد. به عکس، قاب صلب بدون مهار دارای تغییر شکل برشی است و شیب انحناء در پای سازه بعلت وجود ماکزیمم برش، بیشتر از بالای آن است.



شکل شماره ۳-۴- اندرکنش قاب صلب و قاب مهاربندی شده [۱۱]

تغییر شکل‌های این دو سیستم را در معرض بار افقی نشان می‌دهد. با توجه به مطالب ارائه شده در مورد دو سیستم، می‌توان اظهار کرد که وجود قاب صلب به قسمت بالایی سازه و قاب مهاربندی شده به قسمت پایینی کمک می‌کند. به عبارت دیگر قاب صلب از تغییر شکل زیاد بالا سازه جلوگیری کرده و قاب مهاربندی شده بیشتر، برش حاصل از بارهای افقی را در قسمت پایینی تحمل می‌نماید. هنگامی که هسته مهاربندی شده برای تحمل بارهای افقی در سازه بکار می‌رود. ممکن است بارهای افقی تماماً به هسته وارد شوند اما اگر قاب صلب سهم قابل توجهی از سختی افقی سازه را به خود اختصاص دهد. توزیع بار افقی به صلب نسبت سختی، الزامی است. در نتیجه، ترکیب قاب صلب و مهار کمبودهای هر سیستم را جبران نموده و آنها را تقویت می‌نمایند.

۳-۶- قاب محیطی:

(Merrill owlings, Skidmane, Fazlar khan) سیستم قاب محیطی نخستین بار توسط آفایان Dewit chestout (دکار برده شد. ظاهراً این سیستم برای اولین بار در آپارتمان ۴۳ طبقه) واقع در شهر شیکاگو در سال ۱۹۶۳ بکار گرفته شد. در حال حاضر بسیاری از ساختمان‌های بلند با استفاده از سیستم قاب محیطی ساخته شده‌اند که مهمترین آنها عبارتند از برج سیرز (sears) ساختمان ساختمان مرکز تجارت جهانی در نیویورک (Standard oil, John Hancock).

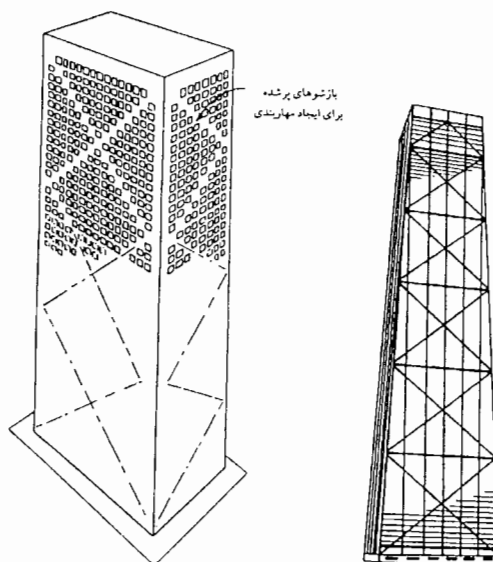
ظهور قابهای محیطی باعث یک دگرگونی در طراحی ساختمان‌های بلند گردید. همه ساختمان‌های بلند دنیا با بیش از ۵۰ تا ۶۰ طبقه از این مفهوم در یک یا چند شکل استفاده کرده‌اند. چون تمام بارهای منفی افقی توسط قاب محیطی تحمل می‌شود. پلان داخلی ساختمان عاری از ستون‌های زیاد و مهاربندی است.

بنابراین سطح خالص نشیمنی در داخل ساختمان افزایش می‌یابد. این سیستم مانند یک دیوار سخت که پیرامون سازه را در بر گرفته است مدل گردیده و شبیه یک لوله تو خالی طره‌ای رفتار می‌کند. قاب محیطی از ستون‌ها و تیرهای عمیق که دور تا دور ساختمان را در بر گرفته‌اند، تشکیل شده است.

برای بارهای افقی زیاد می‌توان از قاب محیطی مهاربندی شده استفاده نمود یا با ایجاد دیوارهای برشی آن را تقویت کرد. شایان توجه است که سیستم‌های محیطی از بتن سلح، فولاد و یا ترکیبی از آن دو ساخته می‌شوند.

۷-۳- قاب محیطی مهاربندی شده:

حداکثر کارایی یک قاب محیطی زمانی است که مانند یک تیر طره رفتار نماید. اما وجود پدیده سنگی برش shear lag بازده قاب محیطی را تا حد زیادی کاهش می‌دهد. بنابراین در ساختمان‌های



شکل شماره ۳-۵ قاب مهار بندی شده

بیش از ۵۰ تا ۶۰ طبقه این سیستم اقتصادی نخواهد بود. مناسب‌ترین شیوه حل این مسأله اضافه کردن مهارهای مورب در سطوح خارجی قاب محیطی است. البته این سیستم مشکلاتی برای بازشوها بوجود خواهد آورد. مهارهای مورب در تحمل بارهای افقی به قاب محیطی کمک کرده، بازده آن را افزایش می‌دهد. در ترازهایی که مهارهای مورب با گوشه قاب محیطی تداخل پیدا کند، یک اتصال خوب و محکم لازم است.

۳-۸- سازه‌های محیطی سلولی:

سازه‌های محیطی سلولی از دو یا چند قاب محیطی که با یکدیگر عمل می‌کنند تشکیل می‌شوند. یکی از مزایای سیستم آن است که سلول‌ها می‌توانند در کنار یکدیگر سازه‌های بسیار بلند را تشکیل می‌دهند، مزیت مهم دیگر آن این است که ستون‌های بین دو قاب محیطی که یک ردیف ستون داخلی را تشکیل می‌دهند در گرفتن نیروی برشی سهم بسزایی دارند و از اثر لنگی برش می‌کاهند.

شایان توجه است که هر سلول به طور مستقل عمل کرده و حداکثر لنگی برش در گوشها و حداقل آن در وسط سلول خواهد بود.

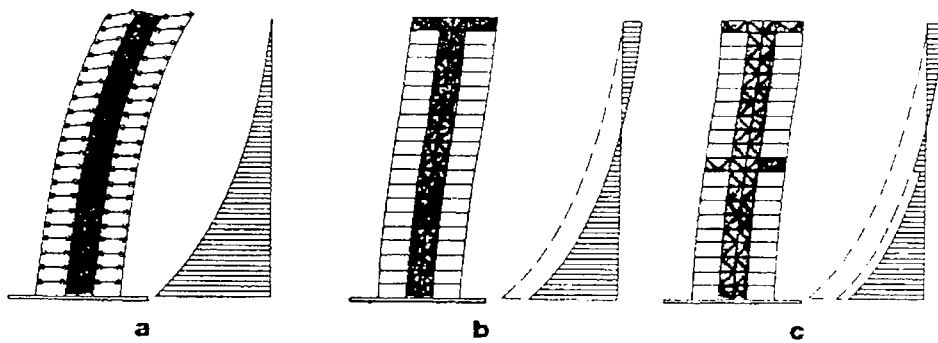
یکی از بهترین سیستم‌ها که بیشترین کارایی را جهت تحمل بارهای افقی دارد، دسته لوله یا Banded tube با مهارهای مورب در سطوح خارجی آن می‌باشد. این سیستم اثر لنگی برش و وارپینگ را بسیار کاهش می‌دهد.

بزرگترین ساختمان جهانی یعنی برج سیرز از این سیستم بهره جسته است. وجود قابهای داخلی و مهارها رفتار سازه را به رفتاری شبیه یک تیر طره نزدیک می‌کند. یادآوری می‌گردد که شکل سلولی مزیت دیگری نیز نسبت به قاب محیطی تک داشته و آن مقاومت بهتر در مقابل پیچش می‌باشد.

۹- سیستم‌های مرکب از دیوار برشی و قاب توأم با خرپاهای کمربندی صلب

قاب مهاربندی شده مرکب از دیوار برشی و قاب خمشی برای ساختمانهای تقریباً بیش از ۴۰ طبقه پر بازده و موثر نمی‌باشند زیرا برای اینکه مهاربندی به قدر کافی سخت و قوی باشد مقادیر زیادی مصالح لازم می‌گردد. بازده یا کارآیی سازه را ممکن است با استفاده از خرپاهای کمربندی افقی که قاب را به هسته می‌بندند تا حدود ۳۰ درصد افزایش داد. خرپاهای بطور صلب به هسته متصل می‌باشند و به ستونهای خارجی بطور ساده اتصال دارند. هنگامی که هسته برشی سعی بر خم شدن دارد، خرپاهای کمربندی مانند بازوهای اهرم عمل می‌نمایند و در ستونهای پیرامونی مستقیماً تنشهای محوری ایجاد می‌کنند. این ستونها به نوبه خود در مقابل تغییر شکل هسته مقاومت می‌نمایند. به عبارت دیگر در هسته برشهای افقی ایجاد می‌شود و خرپاهای کمربندی برش قائم را از هسته به قاب انتقال می‌دهند. بنابراین با بکار بردن این

خرپاهای کمربندی ساختمان بطور یکپارچه و خیلی شبیه به یک لوله طرہای عمل می‌کند. در هر طبقه‌ای که خرپا در آن واقع شده باشد، از دوران سیستم ممانعت بعمل می‌آید. گیرداری ایجاد شده در این طبقات منحنی لنگر را به عقب می‌کشد. در اثر انتقال بیشتر نیروهای جانبی به نیروهای محوری، لنگر خمی در پای ساختمان به مقدار زیادتری کاهش می‌یابد و از نوسان جانبی ساختمان به اندازه قابل ملاحظه‌ای کاسته می‌شود [۱۷، ۱۸، ۱۹]. نمونه این سیستم در شکل ۷-۲ مشاهده می‌شود.



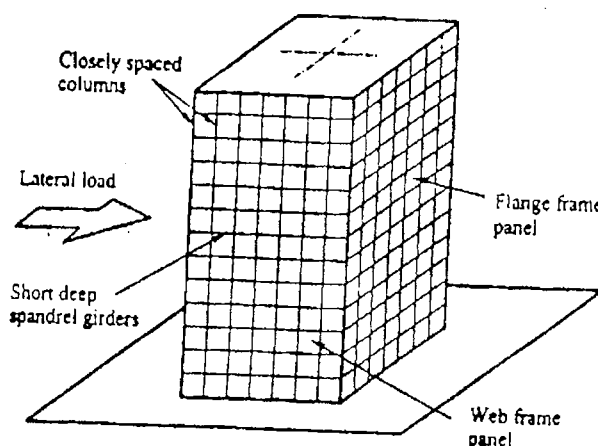
شکل ۳-۶ سیستم خرپای کمربندی [۱۹]

۱۰-۳- قاب لوله‌ای

چهار ساختمان بلند دنیا از جمله برج ۱۱۰ طبقه سیرز (Sears)، ساختمان ۱۰۰ طبقه جان‌هانکوک (John Hancock)، ساختمان ۸۳ طبقه استاندارد اویل (Standard Oil) و نیز ساختمانهای ۱۱۰ طبقه تجارت جهانی، دارای سیستم لوله‌ای هستند. اولین تحلیل درباره مفهوم سیستم لوله‌ای توسط آقای خان (Khan) در سال ۱۹۷۳ ارائه گردید. هدف اصلی از بکارگیری این فرم سازه‌ای جایگزینی حداکثر مواد باربر در محیط سازه جهت ماکزیمم نمودن صلبیت خمی مقطع است. قاب لوله‌ای ترکیبی است از ستونهای با فاصله کم و تیرهای عمیق که در تمام محیط پیرامونی سازه قرار دارند. ابتدائی‌ترین نوع قاب محیطی شامل چهار قاب صلب صفحه‌ای عمود بر هم است. در این فرم سازه‌ای،

قابهای موازی جهت وزش باد، عمل جان طره محیطی و قابهای عمود بر جهت وزش باد، عمل بالهای آن را انجام می‌دهند.

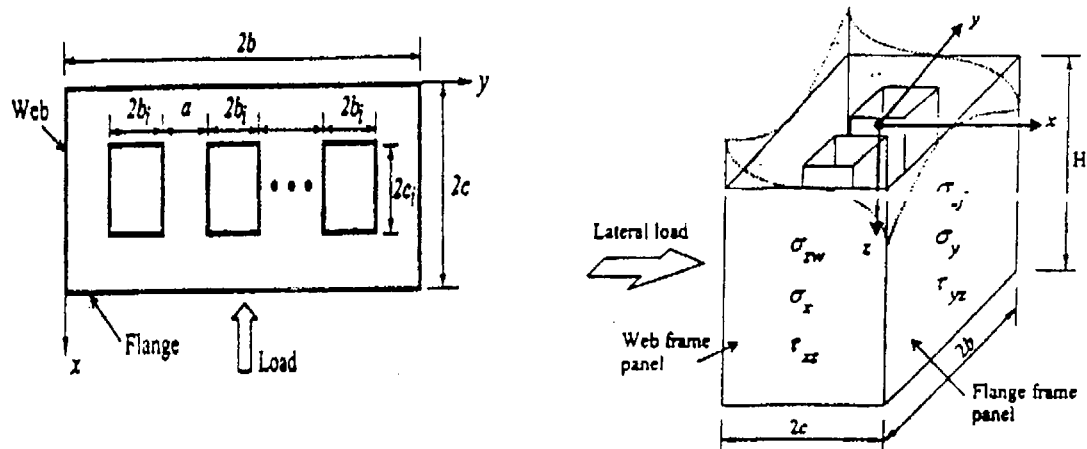
مود اولیه رفتاری قاب محیطی مشابه رفتار یک طره قائم می‌باشد و ستونهای در دو وجه مخالف محور خنثی، کششی و فشاری عمل می‌کنند. اضافه برآن، قابهای موازی جهت بار جانبی تحت اثر خمش در صفحه، رفتار برشی از خود نشان می‌دهند. این رفتار با دخالت اثرات انعطاف‌پذیری تیرهای کناری باعث ایجاد لنگی برش و افزایش تنش در ستونهای گوشه‌ای و کاهش تنش در ستونهای میانی می‌گردد. این نحوه توزیع تنش باعث کاهش صلبیت خمشی مقطع می‌گردد. قابهای لوله‌ای در همه ساختمانهای بلند با بیش از ۵۰ تا ۶۰ طبقه به شیوه‌های گوناگون مورد استفاده قرار گرفته است زیرا در صورتیکه ارتفاع سازه از حدی بیشتر شود، دیگر روش‌های متداول شامل قاب خمشی، بادبندی‌های همگرا و واگرا، دیوار برشی و یا ترکیبی از آنها برای مهاربندی این سازه‌ها کفايت نمی‌کند. در این نوع سازه چون تمام بارهای افقی توسط قاب محیطی تحمل می‌شود، پلان داخلی ساختمان عاری از ستونهای زیاد و مهاربندی است، بنابراین سطح خالص نشیمن در ساختمان افزایش می‌یابد [۱۳، ۱۴]. شکل ۷-۳ نمای شماتیک قاب محیطی می‌باشد.



شکل ۷-۳ سازه قاب محیطی [۱۳]

۱۱-۳- سیستم لوله تو در تو و قاب محیطی مهاربندی شده

در ساختمانهای بلند مرتبه و مدرن امروزی لزوم استفاده از سیستم قاب محیطی مشاهده می‌شود. لیکن به علت ارتفاع زیاد این نوع سازه‌ها، لنگی برش باعث کاهش قابل ملاحظه صلبیت خمشی سازه می‌شود. علیرغم مشکل ذکر شده در رابطه با قابهای محیطی، این سیستم به عنوان روشی اقتصادی و مؤثر در سازه‌های بلند استفاده می‌شود زیرا در این سیستم سازه‌ای تمامی بارهای جانبی توسط المانهایی که در محیط سازه قرار دارند تحمل می‌شود. برای کاهش پدیده لنگی برش و نزدیک کردن رفتار قاب لوله‌ای به یک طره خمشی، می‌توان لوله‌هایی داخلی به سیستم اضافه کرد. لوله‌های داخلی باعث افزایش سختی جانبی کل سازه می‌شوند. علاوه بر این لوله‌های داخلی با یکدیگر و با قاب لوله‌ای خارجی اندرنکشن دارند. قابهای لوله‌ای با لوله‌های داخلی یا قابهای لوله در لوله بطور گستردگی در ساختمانسازی استفاده می‌شوند، زیرا باعث افزایش قابل توجه سختی جانبی در مقابله با بارهای زلزله و باد می‌گردند. علاوه بر این وجود لوله‌های داخلی باعث می‌شود که مقداری از بار قائم توسط این لوله‌ها تحمل شود. استفاده از لوله‌های داخلی باعث کاهش لنگی برش و کاهش تغییر مکان جانبی سازه گردیده و رفتار قاب لوله‌ای را به رفتار یک طره خمشی نزدیک می‌کند. این سازه را می‌توان بصورت یک سیستم معادل، شامل صفحات ارتوتروپیک پیوسته معادل‌سازی نمود. در این حالت هر یک از لوله‌ها به چهار صفحه ارتوتروپیک معادل که قابلیت تحمل نیروهای محوری و برشی را دارند تقسیم می‌شود. در این فرم سازه‌ای، فاصله ستونها بیشتر و عمق تیرهای کناری کمتر است، لذا در مقایسه با قابهای محیطی تکی، امکان ایجاد بازشوها و پنجره‌های بزرگتر وجود دارد که از مزایای آن به شمار می‌رود. در اشکال ۹-۳ و ۸-۳ مدل شماتیک و پلان قاب لوله در لوله مشاهده می‌گردد [۱۳].



شکل ۳-۸- قاب لوله‌ای معادل سازی شده با لوله‌های داخلی [۱۳] شکل ۳-۹- پلان سازه لوله در لوله معادل [۱۳]

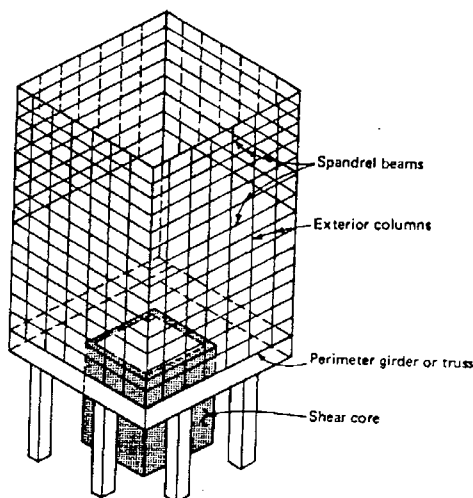
راه دیگر افزایش بازدهی قابهای محیطی در جهت افزایش فاصله بین ستونها و بالا بردن پتانسیل آن برای استفاده در ساختمانهای بلندتر، اضافه کردن مهاربندی‌های قطری در پیرامون سازه است. این نوع سازه برای اولین بار در سال ۱۹۶۹ در ساختمان فلزی جان هانکوک (John Hancock) شیکاگو و در سال ۱۹۸۵ در ساختمان بتنی (Third Avenue) نیویورک به کار گرفته شد. در قاب محیطی فلزی، مهاربندها بر روی قابهای صلب وجود ساختمان بصورت مورب قرار می‌گیرند. ولی در سازه‌های بتنی، مهاربندها شامل پانلهای بتنی به ابعاد بازشوها می‌باشند که بصورت در جا با قابها ریخته شده و بصورت قطری در وجود ساختمان اجرا می‌گردند ..

از آنجا که مهاربندهای قطری در هر تقاطع به ستونها متصل می‌شوند، لنگی برش را عملأً در جان و بال قابها حذف می‌کنند. در نتیجه رفتار سازه تحت اثر بارهای جانبی بسیار شبیه قابهای مهاربندی شده است، به اضافه اینکه خمش در اعضای قابها نیز به مقدار زیادی کاهش می‌یابد. لذا فاصله بین ستونها بیشتر و عمق شاهتیرها کمتر و ابعاد بازشوها در مقایسه با قابهای محیطی معمولی بزرگتر خواهد شد. در سازه قاب محیطی مهاربندی شده، مهاربندها کارآیی قابهای محیطی در تحمل بارهای قائم را نیز افزایش می‌دهند. در این فرم سازه‌ای اختلاف تنشهای ناشی از بارهای قائم در ستونها، با انتقال بارهای محوری

توسط مهاربندها از ستونهای با تنش زیاد به ستونهای با تنش کم، از بین رفته، در نتیجه تنشهای یکنواخت می‌گردد [۱۰، ۱۱، ۱۸، ۱۹].

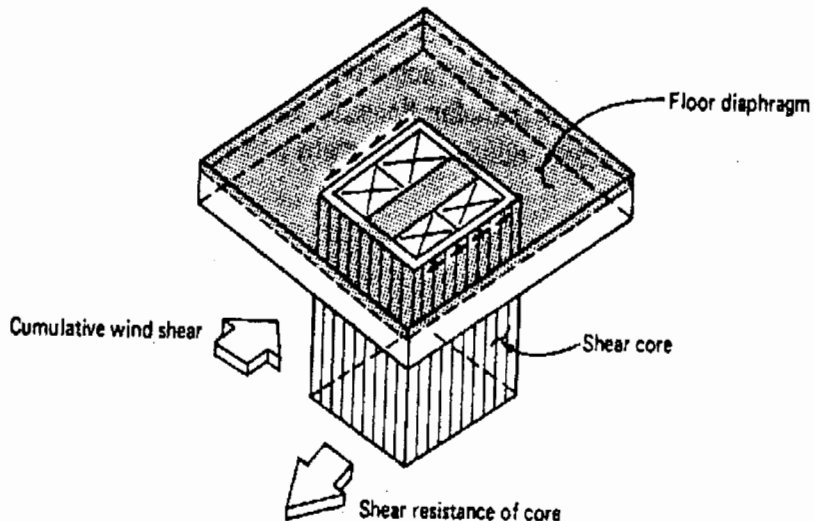
۱۲-۳- افزایش سطح بازشوها در همکف

در بخش قبل به دو روش جهت افزایش سطح بازشوها، کاهش پدیده لنگی برش و تغییر مکان جانبی اشاره شد. از نقطه نظر معماری فضای آزاد در سطح زمین بسیار لازم و مطلوب است. در اغلب اوقات فضای باز در سطح زمین با حذف بعضی از عناصر باربر ساختمان یا اضافه نمودن یک سیستم سازه‌ای در پائین بوجود می‌آید. یکی از روشها جهت انتقال بار ستونهای قاب محیطی معمولی به تراز پایه استفاده از شاهیتر عمیق فلزی یا خرپای ویرندایل می‌باشد که بارهای ستونهای نزدیک بهم را جمع کرده و به ستونهای موجود در تراز پایه منتقل می‌کند. لیکن برداشتن ستونهای پای سازه، مشکلات عدیده‌ای را در تحمل نیروهای برشی حاصل از بار جانبی ایجاد می‌کند، زیرا برش سنگین ایجاد شده در تراز فوقانی شاه نیز انتقال می‌باشد توسط تعداد کمی از ستونها تحمل شود، لذا لزوم افزودن یک هسته برشی مابین تراز پای سازه و تراز انتقال مشاهده می‌گردد.



شکل ۳-۱۰- ستونهای انتقال در قاب محیطی [۱۱]

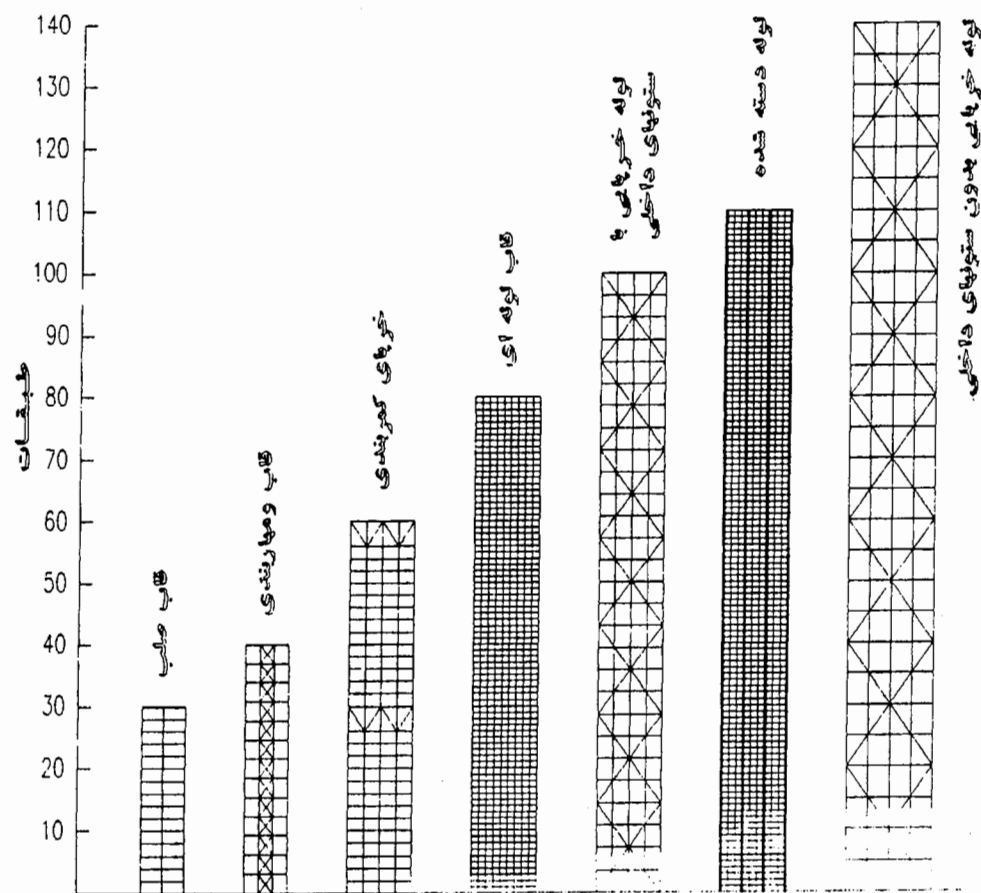
با توجه به اینکه هسته برشی در تراز انتقال قطع شده است، لذا تحت هیچگونه لنگر خمشی در تراز فوقانی قرار نمی‌گیرد. ولی در مقایسه با ستونها، مقدار زیادی برش در هسته مرکزی جمع می‌گردد، زیرا مقاومت برشی آن از مقاومت برشی ستونها بسیار بزرگتر است. جهت انتقال این برش عظیم نیاز به دیافراگم بسیار صلب داریم. در سازه‌های فولادی سختی اضافی با افزودن مهاربندی‌های قطری در صفحه دیافراگم کف و در تراز انتقال، قابل حصول است. لیکن در سازه‌های بتنی می‌بایست ضخامت بتن کف را افزایش داد و یا فولاد مصرفی در دال را بیشتر کرد [۱۱ و ۱۹].



شکل ۱۱-۳ انتقال برش از طریق دیافراگم صلب [۱۱]

جهت افزایش سطح بازشوها در همکف می‌توان از ستونهای دو شاخه یا سه شاخه، که از جمع شدن اعضای فشاری تشکیل می‌شوند، استفاده کرد. این سیستم در مقابل بارهای قائم متقارن رفتار کاملاً مطلوبی دارد ولی برای بارهای پیچشی و جانبی عمود بر ستونها کمتر مناسب است زیرا در اثر عمل انفرادی ستونها لنگرهای خمشی زیادی ایجاد می‌شود [۱۹].

حال که انواع سیستمهای باربر جانبی و قائم در سازه‌ها معرفی شد، شکل ۱۱-۳ جهت مقایسه انواع سیستمهای و تعداد طبقات قابل حصول توسط هر یک از آنها ارائه می‌شود.



شکل ۱۲-۳ مقایسه تعداد طبقات قابل حصول توسط انواع سیستمهای سازه‌ای [۱۲]

فصل چهارم

بررسی رفتار سیستم‌های قاب محیطی، کمربند خرپائی و هسته مرکزی

.....	۱-۴
.....	۲-۴
.....	۳-۴
.....	۴-۴
.....	۵-۴
.....	۶-۴

۱-۴ مقدمه

در این فصل سعی شده تاثیر موقعیت و سختی کمربند خرپائی و همچنین تاثیر وجود یا عدم وجود هسته مرکزی بر بهبود رفتار قاب محیطی بررسی گردد، در نتیجه رفتار هر یک از اعضای تشکیل دهنده سیستم ترکیبی قاب محیطی، هسته مرکزی و کمربند خرپائی را باید جداگانه مورد بررسی قرار داد. در این فصل به بررسی روش‌هایی جهت آنالیز قاب محیطی می‌پردازیم که بر پایه روابط مقاومت مصالح و یا اصول انرژی بنا نهاده شده‌اند. سپس روش‌هایی جهت بررسی رفتار هسته برشی، تاثیر مهار کمربندی و هسته مرکزی بر رفتار قاب ساده و همچنین تاثیر کمربند خرپائی و مهار بازوئی بر رفتار دیوار برشی کوپله، در این فصل گردآوری شده است. در انتهای نیز روشی که جهت کاهش لنگی برش و جابجایی توسط آفای لی در سال ۲۰۰۱ ارائه شده بررسی می‌شود.

۲-۴ تحلیل قاب محیطی بروش کوئل (Coull) [۱]

در این روش جهت تحلیل قاب لوله‌ای، آن را بصورت صفحات ارتوتروپیک معادل مدل می‌کنیم (شکل ۱-۴) خواص صفحه ارتوتروپیک به صورتی بدست می‌آید که مدولهای الاستیسیته افقی و قائم آن به ترتیب نشان دهنده سختی تیرها و سونهای باشند و مدول برشی این صفحه، نشان دهنده سختی برش قاب باشد. در شکل ۲-۴ تنש در هر یک از پانلهای قاب ارتوتروپیک معادل بر روی المانهای کوچکی نمایش داده شده است.

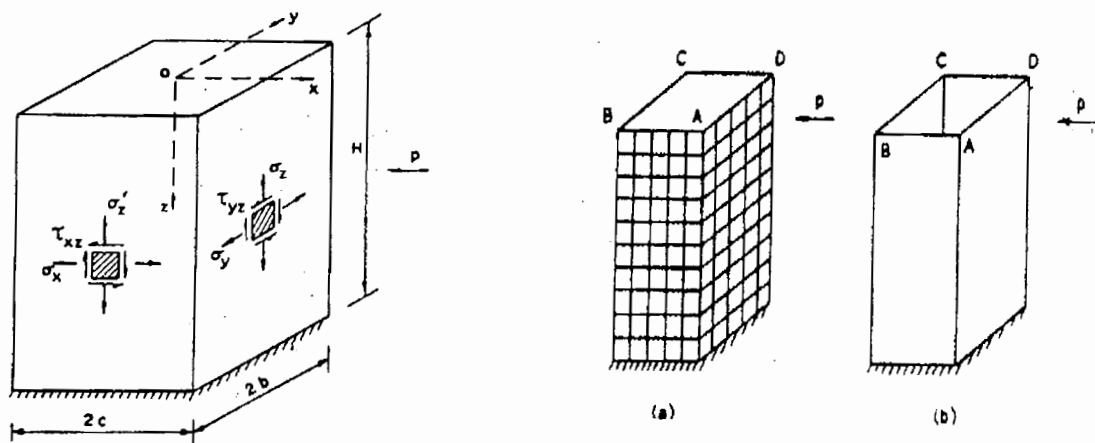
معادله تعادل تنشهای در غیاب نیروهای حجمی برای پانل عمود بر جهت بار عبارتند از:

$$\frac{\partial \sigma_y}{\partial y} + \frac{\partial \tau_{yz}}{\partial z} = 0 \quad ; \quad \frac{\partial \sigma_z}{\partial z} + \frac{\partial \tau_{yz}}{\partial y} = 0 \quad (1-2-4)$$

معادله تعادل در پانل موازی جهت بار جانبی عبارتست از :

$$\frac{\partial \sigma_x}{\partial x} + \frac{\partial \tau_{xz}}{\partial z} = 0 \quad ; \quad \frac{\partial \sigma'_z}{\partial z} + \frac{\partial \tau_{xz}}{\partial x} = 0 \quad (2-2-4)$$

فرض می‌شود قاب کاملاً متقارن باشد، بنابراین توزیع تنשها در پانلهای موازی بار جانبی یکسان و در پانلهای عمود بر بار جانبی مساوی و از نظر علامت جبری مخالف می‌باشند.



شکل ۱-۴ ۲-۴ نمادگذاری تنشها

شکل ۱-۴ مدل واقعی و جایگزین
سازه قاب محیطی [۱]

ارتباط تنشها و کرنشها در پانلهای ارتوتروپویک به صورت زیر بیان می‌شوند .

$$\sigma_y = E_y e_y + E_{yz} e_z \quad ; \quad \sigma_z = E_z e_z + E_{yz} e_y \quad ; \quad \tau_{yz} = G_{yz} \gamma_{yz} \quad (3-2-4)$$

$$\sigma_y = E_x e_x + E_{xz} e'_z \quad ; \quad \sigma'_z = E'_z e'_z + E_{xz} e_x \quad ; \quad \tau_{xz} = G_{xz} \gamma_{xz} \quad (4-2-4)$$

معادلات فوق به ترتیب مربوط به پانلهای عمودی و موازی می‌باشند. در چنین سازه‌ای E_{xz} , E_{yz} ناچیز فرض می‌شوند. علاوه بر این به علت یکنواخت بودن فواصل تیرها و ستونها و همچنین مشخصات مقاطع آنها در ارتفاع ،

$$E_z = E'_z = E \quad ; \quad G_{xz} = G_{yz} = G \quad (5-2-4)$$

می‌باشد. فرض آخر در راستای تسهیل حل معادلات انجام گرفت. در ادامه بسط روش برای مقاطع غیریکنواخت در ارتفاع دنبال خواهد شد. توزیع تنش در قابهای محیطی توسط سریهای توانی در مختصات x و y و ضرایبی که توابعی فرضی از مختصه ارتفاع می‌باشند، با دقت خوبی بیان می‌شوند. جهت مدل کردن توزیع تنش قائم، σ_z ، در پانلهای عمود بر جهت بار جانبی، ساده‌ترین تقریب توزیع سهموی تنش می‌باشد.

$$\sigma_z = \frac{M}{I} c + S_c(Z) + \left(\frac{Y}{b} \right)^2 S(z) \quad (6-2-4)$$

ضرائب $S_c(z)$ و $S(z)$ فقط توابعی از Z می‌باشند. ترمهای دوم و سوم رابطه (6-2-3) بیانگر اختلاف تئوری تیرهای ساده که در ترم اول گنجانده شده و رفتار پیچیده قاب محیطی است. به علت تقارن فقط توانهای زوج مختصه Y ، در این معادله استفاده شده است. در معادله (6-2-3)، I به صورت زیر تعریف می‌گردد :

$$I = \frac{4}{3} tc^2 (3b + c) + 4A_c C^2 \quad (7-2-4)$$

$2c, 2b$ = طولهای قاب بال و جان، t = ضخامت موثر لوله ارتوتروپیک و A_c = سطح مقطع یکی از ستونهای گوشه می‌باشد. مقدار I برابر مقداری است که از ستونهای تکی در سازه اصلی نیز قابل حصول است. به طریق مشابه توزیع تنش قائم، σ'_z ، در پانلهای جان به صورت زیر بیان می‌شود.

$$\sigma'_z = \frac{M}{I} x + \left(\frac{x}{c} \right)^3 S_1(z) \quad (8-2-4)$$

در این قابها به علت توزیع تنش بصورت پاد متقارن، فقط از توانهای فرد در چند جمله‌ای استفاده شده است. جهت برقراری سازگاری کرنش قائم در گوشه‌ها، معادله زیر باید ارضاء گردد :

$$\frac{\sigma_z}{E} (\pm b, z) = \frac{\sigma'_z}{E} (c, z) = \frac{\sigma_c}{E} \quad (9-2-4)$$

σ_c تنش محوری در ستونهای گوشه‌ای است که از معادله (10-2-4) بدست می‌آید.

$$\sigma_c = (\sigma_z)_{y=b} = \frac{M}{I} C + S_0 + S \quad (10-2-4)$$

اگر سختی قابهای جان و بال یکسان نباشد و ستونهای گوشه از مصالح متفاوتی ساخته شوند، مدول الاستیسیته، E ، در معادله (۹-۲-۴) ثابت نمی‌باشد. با جایگذاری معادلات (۶-۲-۴) و (۸-۲-۴) در معادله (۹-۲-۴) رابطه (۱۱-۲-۴) بدست می‌آید.

$$S_1 = S_0 + S \quad (11-2-4)$$

معادله تعادل ممان داخلی وخارجی در هر ارتفاع عبارتست از:

$$2 \int_{-b}^b \sigma_z t c dy + z \int_{-c}^c \sigma'_z t x dx + 4 A_c c \sigma_c = M_z \quad (12-2-4)$$

در رابطه (۱۲-۲-۴)، M_z کل ممان ناشی از بارهای خارجی در تراز موردنظر است. با جایگذاری معادلات (۶-۲-۴)، (۸-۲-۴) و (۱۱-۲-۴) در معادله (۱۲-۲-۴) و انتگرال‌گیری، رابطه (۱۳-۲-۴) قابل حصول است.

$$S_0 = -\frac{1}{3} m s \quad (13-2-4)$$

در رابطه (۱۳-۲-۴) m همواره بزرگتر از واحد بوده و بصورت تعريف می‌شود.

$$m = (5b + 3c + 15A_c/t) / (5b + c + 5A_c/t)$$

اکنون تنشهای قائم، σ_z و σ'_z ، فقط با پارامتر مجهول $S(z)$ قابل بیان هستند.

$$\sigma_z = \frac{M}{I} c - \left[\frac{1}{3} m - \left(\frac{y}{b} \right)^2 \right] S \quad (14-2-4)$$

$$\sigma'_z = \frac{M}{I} x + \left(1 - \frac{1}{3} m \right) \left(\frac{x}{c} \right)^3 S \quad (15-2-4)$$

حال تنش در ستون گوشه عبارتست از:

$$\sigma_c = (\sigma_z)_{y=b} = \frac{M}{I} c + \left(1 - \frac{1}{3} m \right) S \quad (16-2-4)$$

با جایگذاری معادلات (۱۴-۲-۴) و (۱۵-۲-۴) در شرایط تعادل یا همان معادلات (۱-۲-۴) و (۲-۲-۴) و سپس انتگرال‌گیری، سایر تنشهای نیز بدست می‌آیند:

$$\sigma_y = \frac{b^2 c}{2I} \left[\left(\frac{y}{b} \right)^2 - 1 \right] \frac{d^2 M}{dz^2} - \frac{b^2}{12} \left[2m \left(\frac{y}{b} \right)^2 - \left(\frac{y}{b} \right)^4 - (2m-1) \right] \frac{d^2 S}{dz^2};$$

$$\sigma_x = -\frac{c^3}{2I} \left[2 \left(\frac{1}{3} + \frac{b}{c} + \frac{A_c}{ct} \right) + \left(1 + \frac{2b}{c} + \frac{2A_c}{ct} \right) \frac{x}{c} - \frac{1}{3} \left(\frac{x}{c} \right)^3 \right] \frac{d^2 M}{dz^2} - \left(1 - \frac{1}{3} m \right) \frac{c^2}{20} \left[\left(\frac{x}{c} \right) - \left(\frac{x}{c} \right)^5 \right] \frac{d^2 S}{dz^2};$$

$$\tau_{xz} = \frac{c^2}{2I} \left[1 + 2 \frac{b}{c} + 2 \frac{A_c}{ct} - \left(\frac{x}{c} \right)^2 \right] \frac{dM}{dz} + \left(1 - \frac{1}{3} m \right) \frac{c}{4} \left[\frac{1}{5} - \left(\frac{x}{c} \right)^4 \right] \frac{ds}{dz};$$

$$\tau_{yz} = -y \left\{ \frac{C}{I} \frac{dM}{dz} - \frac{1}{3} \left[m - \left(\frac{y}{b} \right)^2 \right] \frac{ds}{dz} \right\}; \quad (17-2-4)$$

ضرائب ثابت انتگرال‌گیری با اعمال شرایط مرزی محاسبه می‌شوند:

$$At \quad x = +c \quad : \quad \sigma_x = \frac{p}{2t} = -\frac{1}{2t} \frac{d^2 M}{dz^2} \quad (18-2-4)$$

در معادله (18-2-4)، p شدت بار جانبی بر واحد طول می‌باشد.

$$\left. \begin{array}{l} At \quad x = -c \quad : \quad \sigma_x = 0 \\ At \quad y = \pm b \quad : \quad \sigma_y = 0 \end{array} \right\} \quad (19-2-4)$$

همچنین معادله تعادل در ستون گوشه عبارتست از:

$$(\tau_{xz})_{x=c} + (\tau_{yz})_{y=b} = \frac{A_c}{t} \frac{\partial \sigma_c}{\partial z} \quad (20-2-4)$$

τ_{yz} نسبت به محور $y = 0$ ، پادمتری این هریک از قابهای جان نیمی از کل برش

اعمالی برسازه را تحمل می‌کنند.

$$t \int_{-c}^c \tau_{xz} dx = \frac{F}{2} = \frac{1}{2} \int_0^z p dz = \frac{1}{2} \frac{dM}{dz} \quad (21-2-4)$$

در معادله (21-2-4)، p تمامی بار اعمالی بر واحد ارتفاع سازه و F نیروی برشی کل می‌باشد.

انرژی کلی ذخیره شده در سازه (U) عبارتست از:

$$U = t \int_{\circ}^H \left\{ \int_{-b}^b \left(\frac{\sigma_z^2}{E} + \frac{\tau_{yz}^2}{G} \right) dy + \int_{-c}^c \left[\frac{\sigma_z'^2}{E} + \frac{\tau_{xz}^2}{G} \right] dx \right\} dz + 4 \frac{A_c}{2E} \int_{\circ}^H (\sigma_c)^2 dz \quad (22-2-4)$$

به علت سختی در صفحه دالهای کف طبقات، از کرنشهای افقی و در نتیجه از انرژی کرنشی مرتبط با تنشهای افقی σ_x و σ_y صرفنظر می‌شود. با جایگذاری معادلات (14-2-4)، (15-2-4)، (16-2-4) و (17-2-4) در معادله (22-2-4)، می‌توان انرژی کرنشی کل سازه را بصورت سمبولیک به شکل معادله ۲۳ خلاصه کرد.

$$U = \int_{\circ}^H f \left(z, S, \frac{dS}{dz}, \frac{d^2S}{dz^2} \right) dz \quad (23-2-4)$$

معادله (23-2-4) با بکارگیری اصل حداقل انرژی، می‌نیمم می‌گردد. می‌نیمم کردن انرژی جهت بدست آوردن معادله دیفرانسیل حاکم و مجموعه شرایط مرزی مورد نیاز، توسط حساب تغییرات انجام می‌گیرد. معادله (24-2-4) از می‌نیمم کردن کل انرژی پتانسیل سازه به دست می‌آید.

$$\frac{d^2S}{dz^2} - \left(\frac{K}{H} \right)^2 S = \lambda^2 \frac{d^2\sigma_b}{dz^2} \quad (24-2-4)$$

$$k^2 = 15 \frac{G}{E} \frac{H^2}{b^2} \frac{\frac{1}{5}(5m^2 - 10m + 9) + (3-m)^2 \frac{c}{b} \left(\frac{1}{7} + \frac{A_c}{ct} \right)}{\frac{1}{7}(35m^2 - 42m + 15) + \frac{1}{15} \left(\frac{c}{b} \right)^3 (3-m)^2} \quad (25-2-4)$$

$$\lambda^2 = 3 \frac{(5m-3) - \frac{1}{7} \left(\frac{c}{b} \right)^3 (3-m)}{\frac{1}{7}(35m^2 - 42m + 15) + \frac{1}{15} \left(\frac{c}{b} \right)^3 (3-m)^2} \quad (26-2-4)$$

جهت سهولت ارائه معادلات و همچنین نمایش ارتباط بین تنشهای قاب محیطی و تنشهای حاصل از تئوری ساده تیرها، سمت راست معادله (24-2-4) بر اساس پارامتر σ_b بیان شده است که توسط رابطه (27-2-4) بدست می‌آید.

$$\sigma_b = \frac{Mc}{I} \quad (27-2-4)$$

σ_b تنشی است که با فرض رفتار قاب محیطی همانند یک تیر طره بدست آمده است. (۲۸-۲-۴) واحدی جهت اندازه‌گیری درجه لنگی برش در پانلهای بال می‌باشد. برای قاب محیطی که در پایه گیردار و در بالا آزاد است شرایط مرزی حاصل از می‌نیم کردن انرژی عبارتند از :

$$\left. \begin{array}{l} At \quad z=0 \quad : \quad s=0 \\ At \quad z=H \quad : \quad \frac{ds}{dz} - \lambda^2 \frac{d\sigma_b}{dz} = 0 \end{array} \right\} \quad (28-2-4)$$

در حالت خاصی که سختی ستونهای گوشه با سایر ستونها برابر است می‌توان این ستونها را نیز جزئی از غشاء ارتوتروپیک معادل‌سازی شده در نظر گرفت. در این صورت، A_c ، صفر می‌باشد و باعث ساده شدن روابط λ^2, K^2 می‌شود. شکل سطح مقطع سازه با m مشخص می‌شود که توسط رابطه (۲۹-۲-۳) حاصل می‌شود.

$$m = \frac{5b + 3c}{5b + c} \quad (29-2-4)$$

اگر فرض کنیم که محدوده تغییرات نسبی ابعاد سازه توسط بازه $[b = 2c, 2b = c]$ مشخص شود، مقدار m نیز در حد فاصل ۱.۱۸ تا ۱.۵۷ تغییر می‌کند. در سازه‌های واقعی مقدار K^2 که توسط معادله (۲۵-۲-۴) بدست می‌آید به ازای تمامی مقادیر $\frac{b}{ct}$ و $\frac{A_c}{ct}$ مثبت می‌باشد، بنابراین قسمت همگن پاسخ معادله (۲۴-۲-۴) به شکل زیر قابل بیان است :

$$S = A \operatorname{Cosh} \frac{K}{H} z + B \operatorname{Sinh} \frac{K}{H} z \quad (30-2-4)$$

A و B ثابت‌های انتگرال‌گیری هستند که از شرایط مرزی بدست می‌آیند. جواب خصوصی معادله (۲۴-۲-۴) بستگی به نوع بار وارد و نیز تنش σ_b دارد. جواب خصوصی موردنظر برای سه نوع بارگذاری متمرکز با مقدار p در تراز فوقانی سازه، بار گسترده یکنواخت با شدت p بر واحد ارتفاع و بار گسترده مثلثی با شدت صفر در تراز پایه که تا شدت p در بالای سازه بصورت خطی تغییر می‌کند، بدست می‌آید. هر نوع بارگذاری ذوزنقه‌ای از رویهم‌گذاری بار گسترده یکنواخت و مثلثی قابل محاسبه است.

حالت ۱ - بار متغیر کر P در این حالت لنگر اعمالی در هر تراز با معادله $M = Pz$ و تنش مبنای $\sigma_b = \sigma_b(H) = (Pc/I)z$ نمایش داده می‌شوند. پاسخ کامل معادله (۲۴-۲-۴) پس از اعمال شرایط مرزی حاصل از معادله (۲۸-۲-۴) مطابق معادله (۳۱-۲-۴) بدست می‌آید.

$$S(\xi) = \frac{\lambda^2}{K} \sigma_b(H) \frac{\operatorname{Sinh} K\xi}{\operatorname{Cosh} k} \quad (31-2-4)$$

جهت سهولت پاسخ معادله بر اساس پارامتر بدون بعد $\zeta = z/H$ بیان شده است. همچنین تنش

$$\sigma_b(H) = Pch/I \quad \text{پایه } \sigma_b \text{ عبارتست از:}$$

حالت ۲ - بار گسترده یکنواخت با شدت P در ارتفاع -

$$M = \frac{Pz^2}{2} ; \quad \sigma_b = \frac{Pc}{I} \frac{z^2}{2} \quad (32-2-4)$$

$$S(\xi) = 2 \frac{\lambda^2}{K^2} \sigma_b(H) \left[\frac{\operatorname{Cosh} k(1-\xi) + k \sinh k \xi - 1}{\cosh k} \right] \quad (33-2-4)$$

$$\sigma_b(H) = \frac{Pch^2}{2I} \quad (34-2-4)$$

حالت ۳ - بار گسترده مثلثی -

$$M = \frac{P}{2} \left(z^2 - \frac{z^3}{3H} \right); \quad \sigma_b = \frac{P}{2} \left(z^2 - \frac{z^3}{3H} \right) \frac{c}{I} \quad (35-2-4)$$

$$S(\xi) = 3 \frac{\lambda^2}{K^2} \sigma_b(H) \left[\frac{2K \operatorname{Cosh} k(1-\xi) + (k^2 - 2) \sinh k \xi - (1-\xi)}{2k \cosh k} \right] \quad (36-2-4)$$

$$\sigma_b(H) = \frac{1}{3} \frac{Pch^2}{I} \quad (37-2-4)$$

با مشخص شدن تابع تنش، S ، سایر تنشهای به وسیله روابط (۱۴-۲-۴)، (۱۵-۲-۴) و (۱۷-۲-۴) به سادگی قابل محاسبه‌اند.

۱-۲-۴ خواص صفحات ارتوتروپیک معادل در روش کؤل [۱]

در جایگزینی یک پانل قاب محیطی با یک صفحه ارتوتروپیک معادل می‌باشد ساختی صفحه جایگزین بصورتی باشد که نیروی محوری و تغییرشکل برشی را بر اساس مدل واقعی سازه بیان کند. در حالتی که نیروهای محوری مدل نظرنده (شکل ۳-۴) اگر رابطه (۳۸-۲-۴) برقرار باشد تغییرشکلهای حاصله از قاب اصلی و صفحه معادل یکسان بددست می‌آیند.

$$AE = dtE_z \quad (38-2-4)$$

A = سطح مقطع یک ستون در یک دهانه به عرض d ، E = مدول الاستیسیته، t = ضخامت صفحه معادل و E_z = مدول الاستیسیته معادل می‌باشد. مدول برشی صفحه معادل بگونه‌ای انتخاب می‌شود که تغییرشکل و افقی پانل قاب و صفحه تحت اثر نیروی Q ، مساوی باشند (شکل ۳-۳). فرض می‌شود سقف صلب، نقطه عطف خم شده در وسط دهانه تیر و نقطه عطف خم شده ستونها در میانه ارتفاع آنهاست.

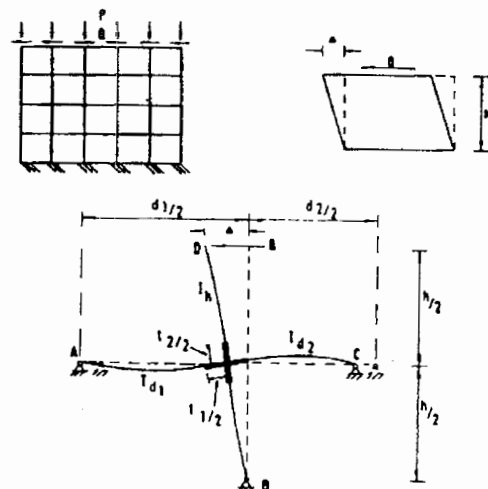
رابطه بار تغییرمکان برای یک قطعه از قاب عبارتست از :

$$Q \frac{h}{2} = \frac{6EI_h}{e^2} \left(1 + \frac{t_2}{e} \right) - \frac{\Delta}{\frac{2I_h}{e} \left(1 + \frac{t_2}{c} \right)} \quad (39-2-4)$$

$$1 + \frac{\frac{I_{d_1}}{I_1} \left(1 + \frac{t_1}{\ell_1} \right)^2 + \frac{I_{d_2}}{I_2} \left(1 + \frac{t_1}{\ell_2} \right)^2}{\frac{I_{d_1}}{I_1} \left(1 + \frac{t_1}{\ell_1} \right)^2 + \frac{I_{d_2}}{I_2} \left(1 + \frac{t_1}{\ell_2} \right)^2}$$

I_h = ممان دوم سطح ستونها، h = ارتفاع طبقه، I_{d_1} و I_{d_2} به ترتیب ممان دوم سطح تیرهای مجاور در تمام طول d_1 و d_2 و t_1 و t_2 = طول و ارتفاع بازوهای صلب و $I_1 = d_1 - t_1$ ، $I_2 = d_2 - t_1$ رابطه بار - تغییرمکان برای یک صفحه معادل با دهانه مساوی با قطعه قاب عبارتست از $h = [Q/(GA)]^{\Delta}$ که G = مدول برشی موثر و A = سطح صفحه معادل هستند. با مساوی قرار دادن روابط تغییرشکل - بار

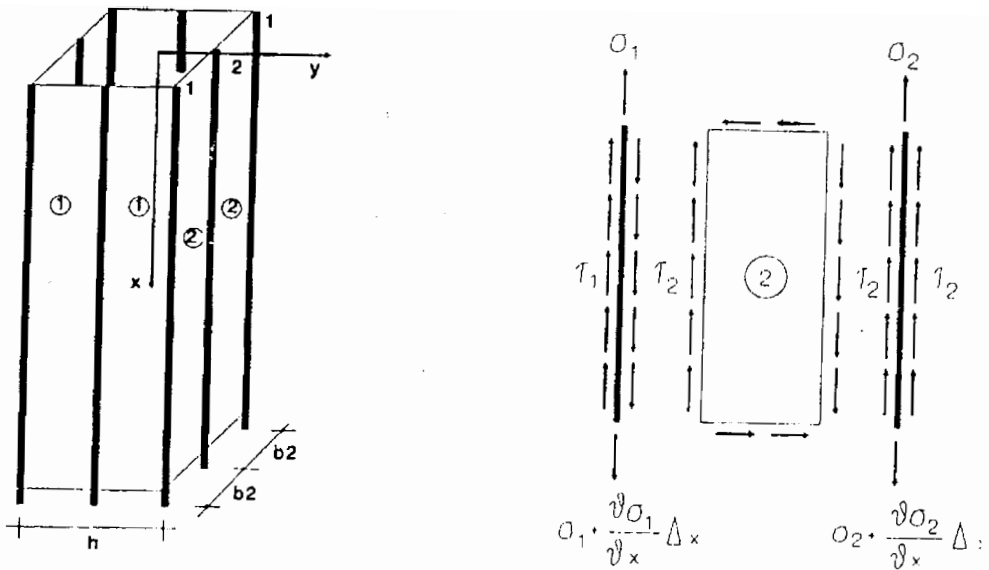
مربوط به قاب و صفحه معادل، مقدار سختی برشی، GA ، یک صفحه ارتوتروپیک بر اساس رابطه ۴-۲-۴) محاسبه می‌گردد.



شکل ۳-۴ جایگزینی پانل قاب توسط المان طرهای برشی معادل [۱]

۳-۴ روش پنج عضو قائم [۴]

سازه نشان داده شده در شکل (۵-۴) قاب محیطی را نشان می‌دهد که هر قاب بصورت سه تیر عمودی و دو پانل برشی مدل گردیده است. تیرهای عمودی فقط نیروی محوری را تحمل نموده و سختی خمشی ندارند و پانل‌های برشی سختی برشی داشته و هیچگونه سختی خمشی و محوری ندارند. رفتار مواد، الاستیک و خطی و مقاطع تیر و ستون در سراسر ارتفاع یکنواخت فرض شده است.



شکل ۴-۵ مدل سه عضو قائم [۴]

شکل ۴-۴ پیکره آزاد تنش در مدل سه عضو قائم

۳-۱ تعیین تنش‌های برشی و محوری [۴]

شکل (۴-۴) دیاگرام آزاد تنش‌ها در مدل را نشان می‌دهد. با توجه به این شکل، معادلات تعادل در تیرهای قائم براحتی قابل دسترسی بوده و نیز رابطه سازگاری تغییرشکل پانلهای برشی، محاسبه می‌گردند. روابط (۴-۳-۱) به ترتیب مربوط به تیرهای قائم ۱ و ۲ هستند. با استفاده از این عبارت و

مشتق‌گیری و جایگذاریهای مناسب، معادله دیفرانسیل (۴-۳-۲) که بیان کننده رفتار حاکم بر سازه است، بدست خواهد آمد.

$$\tau_1 t_1 - \tau_2 t_2 - A_1 \frac{\partial \sigma_1}{\partial x} = 0 \quad (1-3-4)$$

$$2\tau_2 t_2 - A_2 \frac{\partial \sigma_2}{\partial x} = 0 \quad (1-3-4)$$

$$\frac{\partial^2 \tau_2}{\partial x^2} - k^2 \tau_2 + \lambda \tau_1 = 0 \quad (2-3-4)$$

تنش برشی در پانل ۱ که در رابطه اخیر با t_1 نشان داده شده است، از تقسیم نیروی برشی در هر تراز بر سطح پانل ۱ بدست می‌آید. این مقدار عبارت است از $\tau_1 = v / 2ht_1$ که v نیروی برشی در هر تراز بوده و فقط به نوع بارگذاری بستگی دارد. در ادامه معادله دیفرانسیل برای یک بار گستردۀ یکنواخت حل می‌گردد. یادآوری می‌گردد که نیروی برشی v حاصل از بار گستردۀ یکنواخت w ، C_1 و C_2 ضرایب ثابتند که توسط شرایط مرزی بدست خواهند آمد.

$$\gamma_2 = C_1 \sinh kx + C_2 \cosh kx + \frac{\lambda}{k^2} \frac{wx}{2ht_1} \quad (3-3-4)$$

شرایط مرزی مناسب برای تعیین ضرایب ثابت رابطه اخیر بدین صورت است که در بالای سازه بعلت صفر بودن تنشهای محوری و با توجه به سازگاری تغییر شکل، $\frac{\partial \tau_2}{\partial x}$ صفر خواهد گردید. علاوه بر این چون تغییر مکانهای محوری در پای سازه صفر است، بنابراین کرنش برشی $\frac{u_2 - u_1}{b_2}$ صفر خواهد بود به علت صفر بودن کرنش برشی و استفاده از عبارت $G_2 \cdot \tau_2 = \gamma_2$ ، تنش برشی τ_2 نیز صفر خواهد بود. با اعمال شرایط مرزی ارائه شده، ثابت‌های C_1 و C_2 محاسبه گردیده و با جایگذاری آنها در رابطه (۳-۳-۴)، حل نهایی بصورت رابطه (۴-۳-۴) خواهد بود. همچنین تنشهای محوری نیز با کاربرد روابط تعادل (۱-۳-۴) و انتگرال‌گیری و اعمال شرایط مرزی، $(x = 0 \Rightarrow \sigma_1 = \sigma_2 = 0)$ بدست می‌آید.

$$C_1 = -\frac{\lambda}{k^3} \frac{w}{2ht_1} \quad (4-3-4)$$

$$C_2 = \frac{\lambda}{k^3} \frac{w}{2ht_1} \frac{1}{\cosh kL} (\sinh kL - kL) \quad (4-3-4)$$

$$\tau_2 = \frac{wE_2A_2}{2ht_1(E_2A_2 + 2E_1A_1)} \times \left\{ x - \frac{L \cosh kx}{\cosh kL} + \frac{\sinh [k(L-x)]}{k \cosh kL} \right\} \quad (5-3-4)$$

$$\sigma_1 = \frac{wx^2}{4hA_1} - \frac{wE_2A_2}{2hA_1(E_2A_2 + 2E_1A_1)} \times \left\{ \frac{x^2}{2} - \frac{L \sinh kx}{k \cosh kL} - \frac{\cosh [k(L-x)]}{k^2 \cosh kL} + \frac{1}{k^2} \right\} \quad (6-3-4)$$

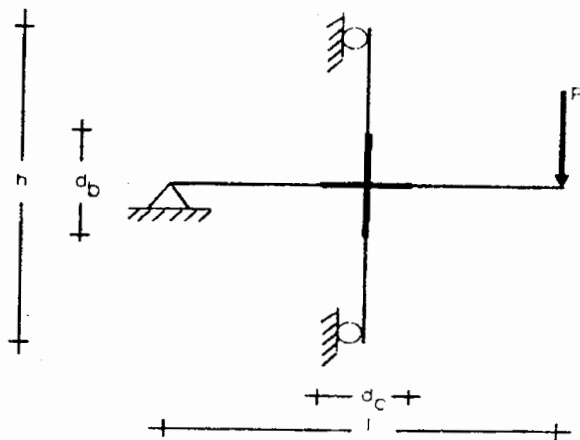
$$\sigma_2 = \frac{wE_2}{h(E_2A_2 + 2E_1A_1)} \left\{ \frac{x^2}{2} - \frac{L \sinh kx}{k \cosh kL} - \frac{\cosh [k(L-x)]}{k^2 \cosh kL} + \frac{1}{k^2} \right\} \quad (7-3-4)$$

۲-۳-۴ عامل صلبیت برشی، خمشی و لنگی برش [۴]

مدل‌های انتخابی که بجای سازه واقعی استفاده می‌شوند، باید دارای خواص زیر باشند. نخست اینکه، مدول الاستیسیته E برای هر تیر قائم با مدول الاستیسیته ستونهایی که تیر قائم را تشکیل می‌دهند، برابر باشند. نکته دوم اینست که، سطح مقطع تیرهای قائم در قاب بال، مجموع مساحت‌های ستونهای تشکیل دهنده آنها هستند. علاوه بر این در قاب جان، ستونهایی که در $1/6$ دهانه واقعند، به مساحت تیرهای قائم گوشه اضافه می‌شوند. شایان توجه است که قواعد مختلف جایگزینی ستونهای سازه اصلی با تیرهای قائم می‌تواند دقت مدل را افزایش دهد.

اینک به محاسبه سختی برشی Gt پرداخته می‌شود. G و t بطور جداگانه در روابط ظاهر نشده، بلکه حاصل ضرب آنها بکار می‌رود. بنابراین دلیلی وجود ندارد که آنها را بطور مجزا محاسبه نمائیم. بلکه Gt معادل را بدست آورده، سپس مقادیری به G و t با توجه به مقدار حاصل ضرب آنها نسبت خواهیم داد با توجه به گره‌های کاملاً سخت و خمس تیر و ستون، مدل نشان داده شده در شکل (۶-۳) رابطه زیر بدست آمده است [۴].

$$Gt = \frac{12EI}{h} \left[\frac{1}{\frac{(\ell - d_c)^3 + (h - d_b)^3}{I_b} \left(\frac{l^2}{h^2} \right)} \right] \quad (8-3-4)$$



شکل ۶-۴ مدل تحلیلی برای محاسبه صلبیت برشی [۴]

عامل دیگری که رفتار قاب محیطی را بیان می‌کند، سختی نامیده می‌شود. برای محاسبه آن فرض می‌گردد همه ستونها از یک ماده ساخته شده و مدول الاستیسیته یکسانی داشته باشند. در ادامه، ابتدا رابطه مربوط به لنگی برش و سپس رابطه سختی ارائه می‌گردد. تنش‌های محوری در تیرهای قائم ۱ و ۲ در پای ساختمان $X = L$ ، در روابط (۳۹-۳-۴) و (۱۰-۳-۴) نشان داده شده است. با توجه به آن مشاهده می‌گردد که لنگی برش تابعی از سختی (KL) و نسبت مساحت‌های تیرهای قائم می‌باشد. اما مطابق شکل (۷-۴) تعلق آن به دومی بسیار ناچیز است.

$$\sigma_1 = \frac{WL^2}{2h(2A_1 + A_2)} \left(1 + \frac{A_2}{A_1} \left\{ \frac{1}{kL} \tan kL - \frac{1}{(kL)^2} \left[1 - \frac{1}{\cosh kL} \right] \right\} \right) \quad (9-3-4)$$

$$\sigma_2 = \frac{WL^2}{2h(2A_1 + A_2)} \left(1 - \frac{2}{kL} \tan kL + \frac{2}{(kL)^2} \left[1 - \frac{1}{\cosh kL} \right] \right) \quad (10-3-4)$$

$$kL = L \sqrt{\frac{Gt}{E_b} \left(\frac{1}{A_1} + \frac{2}{A_2} \right)} \quad (11-3-4)$$

$$Gt = \frac{12E}{hL} \left(\frac{1}{\frac{L}{I_b} + \frac{h}{I_c}} \right) \quad (12-3-4)$$

$$kL = L \sqrt{\frac{12}{hI_b} \left(\frac{1}{A_1} + \frac{2}{A_2} \right) \left(\frac{1}{\frac{L}{I_b} + \frac{h}{I_c}} \right)} \quad (13-3-4)$$

رابطه (11-۳-۴) عبارت مربوط به سختی خمشی و رابطه (12-۳-۴) سختی برشی پانل را وقتی که از سختی گره‌ها صرفنظر شده باشد، نشان می‌دهند. رابطه نهایی (13-۳-۴) از جایگذاری دو رابطه مربوط بدست آمده است.

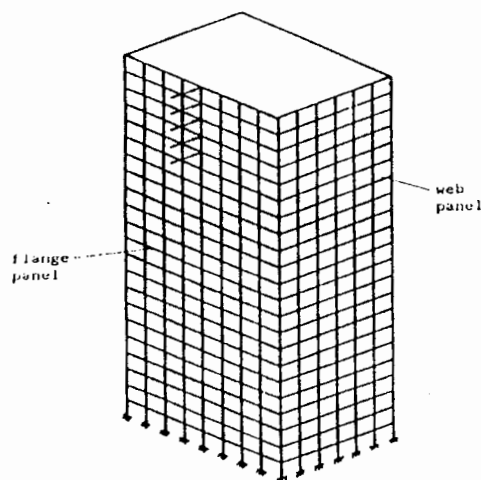
۴-۴ تحلیل قاب محیطی به روش کوان (Kwan)

۱-۴-۴ مقدمه

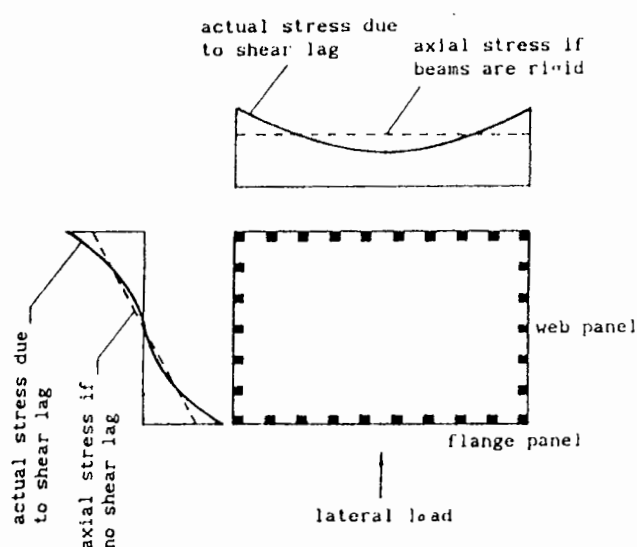
در بخش گذشته جهت تحلیل قاب محیطی از مدل‌سازی سازه به شکل تعدادی عضو قائم و پانل‌های برشی استفاده شد. در روش فوق علاوه بر اینکه دارای دقت کمی بود با افزایش تعداد اعضاء قائم تعداد معادلات افزایش یافته و محاسبات بسیار پیچیده و وقتگیر بود.

روشی که در ادامه ارائه می‌شود توسط کوان در سال ۱۹۹۴ ارائه گشته [۳] که دارای دقت خوب و سادگی در محاسبات می‌باشد. تحت بار جانبی قاب محیطی مانند یک تیر قوطی شکل طرهای عمل می‌کند، لنگر واژگونی ناشی از بارهای جانبی بوسیله نیروی محوری ایجاد شده در ستون‌ها و نیروهای برشی توسط تیرها و ستون‌های موجود در قاب‌های دو طرف قاب محیطی تحمل می‌گردد (شکل ۷-۴).

بعلت عدم صلبيت، تيرها نمي توانند تمام نيروهای محوري ستون‌ها را به يكديگر منتقل کنند بنابراین در ترازهای پایه نيروي محوري در ستونهای گوشه افزایش يافته و در ستونهای ميانی کاهش می‌يابد. اين پديده لنگي برش ناميده می‌شود (شكـل ۴-۸).



شكـل ۷-۴ نمونه قاب محـيطـي تحت بـار جـانـبـي [۳]



شكـل ۸-۴ توزـيع تـنشـهـات محـوري در قـاب محـيطـي [۳]

۴-۲-۴ روش آنالیز [۳]

قاب محیطی نشان داده شده در شکل (۴-۹) شامل بخش‌های زیر است :

۱- دو پانل موازی در جان که موازی بارهای جانبی هستند.

۲- دو پانل موازی که در بال که عمود بر جهت بارهای جانبی هستند.

۳- چهار ستون در چهار گوش قاب محیطی

اگر اندازه و مشخصات هندسی در هر قاب یکنواخت درنظر گرفته شود می‌توان تابعی جهت تغییر شکل در هر قاب ارائه کرد.

$$W = \phi \alpha \left[(1 - \alpha) \frac{x}{a} + \alpha \left(\frac{x}{a} \right)^3 \right] \quad (1-4-4)$$

$$W' = \phi \alpha \left[(1 - \beta) + \beta \left(\frac{y}{b} \right)^2 \right] \quad (2-4-4)$$

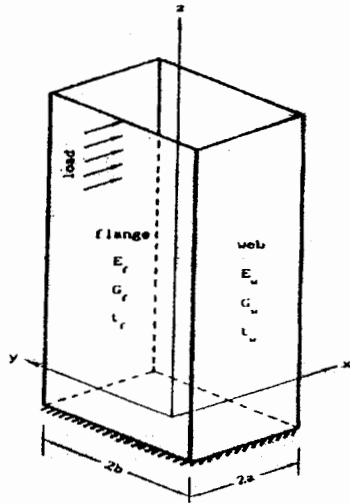
که در آن W و W' تابع توزیع تغییر شکل محوری در قاب جان و بال می‌باشند.

ϕ = زاویه چرخشی مقطع پلان، α و β = ضرایب لنگی برش در جان و بال هستند.

مجموع انرژی کرنشی عبارت است از :

(۳-۴-۴)

$$\Pi_e = \int_0^h \int_{-a}^a t_w (E \varepsilon_z^2 + G \gamma_{xz}^2) dx dz + \int_0^h \int_{-b}^b t_f (E \varepsilon_z'^2 + G \gamma_{yz}^2) dy dz + \int_0^h 2 E_m A_k \varepsilon_k^2 dz$$



شکل ۹-۴ مدل سازی قاب محیطی در روش کوان [۳]

از طرف دیگر مجموع انرژی پتانسیل ناشی از بار جانبی عبارت است از :

۱- بار نقطه‌ای با شدت P در بالای سازه :

$$\Pi_p = -PU(h) \quad (4-4-4)$$

۲- بار یکنواخت با شدت P بر واحد ارتفاع :

$$\Pi_p = - \int_0^h PU(z) dz \quad (5-4-4)$$

۳- بار مثلثی با شدت T بر واحد ارتفاع در بالای سازه :

$$\Pi_p = - \int_0^h T \frac{Z}{h} U(z) dz \quad (6-4-4)$$

مجموع کل انرژی برابر مجموع انرژی پتانسیل ناشی از نیروهای خارجی بعلاوه مجموع انرژی کرنشی در سازه می‌باشد. با حداقل کردن مجموع کل انرژی معادله دیفرانسیل‌های با توابع مجھول ϕ و u و ضرایب مجھول α و β بدست می‌آیند. اما حل همزمان چهار معادله دیفرانسیل مرتبه دو و بیشتر بسیار مشکل می‌باشد بنابراین از یک تقریب مناسب استفاده می‌گردد.

هر چند از نظر تئوری مقادیر α و β با حل معادلات بدست خواهند آمد اما برای افزایش هر چه بیشتر سادگی در محاسبات مقادیر تقریبی برای α و β به شکل زیر فرض می‌گردد.

شرایط مرزی عبارتند از : در بالای سازه تنش‌های محوری صفر هستند و $0 = \frac{d\beta}{dz}$ و $0 = \frac{d\alpha}{dz}$ شرایط مرزی عبارتند از : در بالای سازه تنش‌های محوری صفر هستند و $0 = \frac{d\alpha}{dz}$ و $0 = \frac{d\beta}{dz}$.

$(z = H)$

$$\alpha = \alpha_1 \left(1 - \frac{z}{H}\right)^2 + \alpha_2 \left[2 \frac{z}{H} - \left(\frac{z}{H}\right)^2\right] \quad (7-4-4)$$

$$\beta = \beta_1 \left(1 - \frac{z}{H}\right)^2 + \beta_2 \left[2 \frac{z}{H} - \left(\frac{z}{H}\right)^2\right] \quad (8-4-4)$$

که α_1 و α_2 ، β_1 و β_2 مقادیر مفروض هستند که با توجه به نوع بارگذاری سازه بدست می‌آیند، مقادیر m_w و m_f نسبت سختی برشی هستند که عبارتند از :

$$m_w = \frac{G_w H^2}{E_w a^2} \quad (9-4-4)$$

$$m_f = \frac{G_f H^2}{E_f b^2} \quad (10-4-4)$$

۳-۴-۴ تنش‌های محوری [۳]

تنش‌های محوری در قاب بال و جان با مشتق‌گیری نسبت به z از روابط (۱-۴-۳) و (۲-۴-۳) و ضرب کرنش محوری در مدول یانگ بدست می‌آید .

$$\sigma_z = E_w a \frac{d\phi}{dz} \left[\left(1 - \alpha\right) \frac{x}{a} + \alpha \left(\frac{x}{a}\right)^3 \right] \quad (11-4-4)$$

$$\sigma'_z = E_f a \frac{d\phi}{dz} \left[(1 - \beta) + \beta \left(\frac{y}{b} \right)^2 \right] \quad (12-4-4)$$

در عبارت فوق مقدار EI همچنان مجھول بوده و بصورت معادله (13-4-3) خواهد بود.

$$EI = \frac{4}{3} E_w t_w a^3 \left(1 - \frac{2}{5} \alpha \right) + 4 E_f t_f a^2 b \left(1 - \frac{2}{3} \beta \right) + 4 E_M A_k a^2 \quad (13-4-4)$$

۴-۴-۴ تغییر مکان جانبی [۳]

برای بدست آوردن تغییر مکان جانبی سازه کافی است مقدار EI از معادله (13-4-4) را در معادله (14-4-4) جانشین کنیم و سپس با قرار دادن مقدار ϕ در رابطه (15-4-4) مقدار u که همان تغییر مکان جانبی است بدست می‌آید.

$$\phi = \frac{1}{EI} \int_0^z M dz \quad (14-4-4)$$

$$u = \int_0^z \left(\frac{S}{4G_w t_w a} - \phi \right) dz \quad (15-4-4)$$

تغییر مکان جانبی برای انواع بارها عبارتند از :

حالت اول - بار نقطه‌ای :

$$u = \frac{P}{EI} \left(\frac{1}{2} H z^2 - \frac{1}{6} z^3 \right) - \frac{P}{4G_w t_w a} \quad (16-4-4)$$

حالت دوم - بار گسترده یکنواخت :

$$u = \frac{U}{EI} \left(\frac{1}{4} H^2 z^2 - \frac{1}{6} H z^3 + \frac{1}{24} z^4 \right) + \frac{U}{4G_w t_w a} \left(H z - \frac{1}{2} z^2 \right) \quad (17-4-4)$$

حالت سوم - بار گسترده مثلثی :

$$u = \frac{T}{EI} \left(\frac{1}{6} H^2 z^2 - \frac{1}{12} H z^3 + \frac{1}{20} \frac{z^5}{H} \right) + \frac{T}{4G_w t_w a} \left(\frac{1}{2} H z - \frac{1}{6} \frac{z^3}{H} \right) \quad (18-4-4)$$

۴-۵ بررسی رفتار هسته برشی بوسیله روش کوان [۱۶]

هسته‌ها در ساختمانهای بلند از مهمترین اعضای اصلی سازه‌ای مقاوم در برابر بارهای افقی و قائم هستند. هسته‌های بتن مسلح معمولاً از تعدادی دیوار برشی متصل بهم تشکیل می‌شوند و یک مقطع قوطی شکل می‌سازند.

مقطع هسته ممکن است باز باشد یا بوسیله تیرها و تقاطع با تاوهای کف نیمه بسته گردد. ممان اینرسی هسته‌های بتن مسلح بسیار زیاد است و لذا غالباً به تنها یکی قادر به تحمل تمامی بارهای جانبی هستند. تنشهای و تغییر مکانهای خمشی ناشی از بارهای جانبی یک هسته با مقاطع بسته، به سادگی مانند یک طره قائم و براساس ممان اینرسی حول محور اصلی هسته محاسبه می‌گردد. جهت کاهش پدیده لنگی برش و همچنین تغییر مکان جانبی قاب لوله‌ای، می‌توان یک هسته برشی با صلبیت نسبتاً زیاد را با آن ترکیب کرد، لذا بررسی رفتار هسته برشی به تنها یکی لازم به نظر می‌رسد. کوان در سال ۱۹۹۶ با مطالعات اجزای محدود بر روی نمونه‌های متفاوت هسته برشی به این نتیجه رسید که در هسته‌های برشی نیز پدیده لنگی برش انفاق می‌افتد و دیگر فرض اولر-برنولی صادق نیست. مطابق فرض اولر-برنولی تنشهای محوری در جانها و بالها بطور خطی و یکنواخت توزیع می‌شوند. در هر صورت این فرض در مورد هسته‌های برشی تقریبی است و زمانی قابل اعمال است که یا نیروی برشی وجود نداشته باشد و یا سختی برشی سازه بینهایت باشد. در مطالعه پارامتریک آقای کوان هسته‌های متقارن آنالیز شده‌اند بنابراین فقط نصف هسته مدل شده و با اعمال شرایط مرزی مناسب در محل محور تقارن، این سازه‌ها آنالیز شده‌اند. پانلهای جان و بال با المانهای ایزوپارامتریک ۸ گرهای مش‌بندی شده‌اند. در این مش‌بندی ۲۰ لایه المان در امتداد قابهای جان و بال در نظر گرفته شده و در ارتفاع نیز هر لایه توسط ۶۰ المان مش‌بندی می‌شود. ۴۰ المان در نیمه پایینی سازه و ۲۰ المان در نیمه فوقانی می‌باشند. در این مطالعه هسته‌های مختلف که در آنها نسبت ارتفاع به عرض جان یا ارتفاع به عرض بال متغیر است، آنالیز شده که جملاً ۱۵ مدل می‌باشند در این روش نسبت عرض بال به عرض جان بین $0/33$ تا 3 متغیر است. حال آنکه نسبت ارتفاع به نصف عرض جان و عرض بال بین $3/3$ تا 40 متغیر می‌باشند.

در تمامی هسته‌های برشی ضخامت بال و جان در ارتفاع ثابت است و ضریب پواسون 0.25 در نظر گرفته می‌شود. سه نوع بار متتمرکز، گستردہ یکنواخت و گستردہ مثلثی در صفحه‌ای به موازات جان بر سازه اعمال می‌شود. پیچش در سازه متقارن، با بستن درجات آزادی مربوط به پیچش که بر لبه بال و در امتداد محور تقارن واقع‌اند، محدود می‌شود. سازه در محل اتصال به زمین گیردار فرض می‌شود. جهت مطالعه دقیق‌تر لنگی برش در جان و بال این مفهوم توسط پارامترهای بدون بعد α و β نشان داده می‌شوند. مفهوم این ضرایب توسط آقای کوان در مرجع [۳] ارائه شده است. نتایج آنالیز هسته‌ها بیان‌گر این است که مقادیر α و β در ارتفاع دیوار تغییر می‌کنند به گونه‌ای که مقادیر ماکزیمم آنها اغلب در پای دیوار رخ می‌دهد بنابراین لنگی برش در پای سازه بسیار بحرانی‌تر از سایر مناطق می‌باشد. با توجه به مطالعات پارامتریک مشاهده می‌شود که α عمدتاً وابسته به نسبت ارتفاع به عرض و β وابسته به هستند. همچنین نتایج زیر نیز حاصل می‌شوند:

- ۱- هنگامیکه نسبتها ارتفاع به عرض در پانلها کوچک می‌باشد مقادیر α و β بزرگ می‌شوندو به ۰.۷ تا ۰.۰. یا بیشتر نیز نزدیک می‌شوند [۱۶].
 - ۲- با مقایسه ضرایب لنگی برش در حالات مختلف بارگذاری مشخص می‌شود که این ضرایب در حالت بارگذاری متتمرکز در بالای سازه بیشترین مقدار را داراست و به ترتیب برای بار گستردہ مثلثی و بار گستردہ یکنواخت کمتر می‌شود [۱۶].
- لازم به ذکر است که هنگامی که لنگی برش کم باشد پارامترهای بی بعد α و β به صفر و هنگامیکه لنگی برش زیاد باشد به سمت یک میل می‌کنند. بررسی آقای کوان مشخص کرد که تابع توزیع تنش درجه پنج، مقادیر تنش محوری را با دقت مناسبی بیان می‌کند. معادله مذکور که جهت تخمین تنش در جان هسته برشی می‌باشد در معادله (۴-۵-۱) مشاهده می‌گردد.

$$\sigma_w = \sigma_m \left[(1-\alpha) \frac{x}{a} + \alpha \left(\frac{x}{a} \right)^5 \right] \quad (4-5-1)$$

چگونگی توزیع تنش در پانل بال در محدوده بین منحنی درجه ۳ و ۴ واقع می‌شود ولی در واقع نزدیک به منحنی درجه چهار می‌باشد که معادله (۳-۵-۲) بیان‌گر این توزیع است.

$$\sigma_f = \sigma_m \left[(1 - \beta) + \beta \left(\frac{y}{b} \right)^4 \right] \quad (2-5-4)$$

لنگی برش، تنشهای محوری را در محل اتصال بال و جان افزایش می‌دهد و همچنین تغییر مکان جانبی سازه را نیز افزایش می‌دهد. این مقادیر توسط ضرائب افزایش تنش، λ_s و تغییر شکل λ_d تعدیل می‌گردند.

$$\lambda_s = \frac{\text{تنش محوری در محل اتصال بال و جان}}{\text{با درنظر گرفتن لنگی برش}} \quad (3-5-4)$$

$$\lambda_d = \frac{\text{تنش محوری در محل اتصال بال و جان}}{\text{تغییر مکان جانبی با درنظر گرفتن لنگی برش}} \quad (4-5-4)$$

تنشهای محوری در پای سازه دارای مقادیر بحرانی هستند حال آنکه تغییر مکانهای جانبی در انتهای آزاد سازه زیاد می‌شود. بنابراین ضریب افزایش تنش در پای سازه و ضریب افزایش تغییر مکان در انتهای آزاد سازه نسبت به سایر نقاط دارای اهمیت بیشتری می‌باشند. نتایج حاصل از آنالیزهای متعدد هسته‌های برشی در روش کوان بیانگر اینست که ضریب افزایش تنش در دیوارهای کوتاه و پهن تحت بار جانبی گسترده یکنواخت می‌تواند از ۲ نیز بزرگتر شود. در نتیجه با افزایش ارتفاع سازه ضریب افزایش تنش کم می‌شود و هنگامیکه نسبتهای $\frac{\text{ارتفاع}}{\text{عرض}} \text{ و } \frac{\text{ارتفاع}}{\text{نصف عرض}}$ ۴۰ بزرگتر می‌شوند افزایش تنش محوری ناشی از لنگی برش ناچیز می‌شود.

در مقابل اثر لنگی برش بر روی تغییر مکانهای جانبی عموماً خیلی کمتر است و ضریب افزایش تغییر مکان جانبی هنگامیکه نسبت $\frac{\text{ارتفاع}}{\text{عرض}} \text{ از } 10$ بزرگتر می‌شود قابل صرفنظر کردن است [۱۶].

۱-۵-۴ تخمین ضرایب تنش [۱۶]

تنشهای خمشی توسط معادله تعادل ارائه شده در فرمول (۵-۵-۳) حاصل می‌آیند که در این معادله t_r و t_s به ترتیب ضخامتهای جان و بال هستند و M لنگر خمشی وارد بر مقطع می‌باشد. فرض

کنیم که σ_w و σ_f بصورت تقریبی از فرمولهای (۳-۵-۲) و (۳-۵-۱) قابل محاسبه باشند. با جانشین کردن آنها در معادله تعادل و انتگرال‌گیری معادله (۳-۵-۶) حاصل می‌آید.

$$M = \int_{-a}^a 2 t_w \sigma_x dx + \int_{-b}^b 2 t_f \sigma_f a dy \quad (5-5-4)$$

$$\sigma_m [(4/3) t_w a^2 (1 - 4/7\alpha) + 4 t_f ab (1 - 4/5\beta)] = M \quad (6-5-4)$$

از این معادله حداقل تنش خمشی (σ_m) قابل حصول است.

$$\sigma_m = \frac{M_a}{I_w (1 - 0.57\alpha) + I_f (1 - 0.8\beta)} \quad (7-5-4)$$

$I_F = 4t_f a^2 b$ و $I_w = (4/3)t_w a^3$ می‌باشد و در حقیقت ممان اینرسیهای جان و بال هستند هنگامی که هیچ لنگی برشی وجود ندارد. حال این نتیجه بدست می‌آید که لنگی برش باعث کاهش ممان اینرسی موثر جان به اندازه $I_w (1 - 0.57\alpha)$ و کاهش ممان اینرسی موثر بال به اندازه $I_f (1 - 0.8\beta)$ می‌شود. حال ضریب افزایش تنش را می‌توان محاسبه کرد.

$$\lambda_s = \frac{I_w + I_f}{I_w (1 - 0.57\alpha) + I_f (1 - 0.8\beta)} \quad (8-5-4)$$

۴-۵-۲ محدوده کاربرد روابط لنگی برش و جابجایی [۱۶]

معمولًاً بارگذاری هیچگاه بصورت متمرکز، گسترده یکنواخت و گسترده مثلثی نخواهد بود. لیکن بارگذاریهای دیگر بوسیله قضاوت مهندسی قابل معادل‌سازی با این سه نوع بارگذاری است. مطالعه آقای کوان محدود به دیوارهای ایزوتropیک و همگن با ضخامت ثابت در ارتفاع و ضریب پواسون ۰/۲۵ شده است. بخاطر فرض یکنواختی مصالح روش ارائه شده نمی‌تواند درباره بتنهای پیش تئیده بکار رود. بر اساس مطالعات تئوریک ایزوتrop نبودن بتن مسلح که به علت تفاوت فولاد گذاری قائم و افقی می‌باشد، می‌تواند بر توزیع تنش تاثیر بگذارد ولی از آنجا که تنشهای جانبی در دیوارها در مقایسه با تنشهای طولی

خیلی کمتر هستند بعید به نظر می‌رسد که مدول یانگ در امتداد جانبی تاثیری بر رفتار کل سازه داشته باشد، بنابراین اثر ناهمسانی مصالح قابل صرفنظر کردن است. بطور قطع تغییر ضخامت در ارتفاع بر لنگی برش تاثیر می‌گذارد ولی از آنجا که لنگی برش یک مسئله مرکز تنش موضعی در پای هسته برشی است بنابراین تغییر ضخامت دیوار در بالای آن نمی‌تواند تاثیر چندانی بر لنگی برش در پای سازه داشته باشد [۱۴]. ضریب پواسون نیز بر روی نتایج عددی حاصل از آنالیز اجزای محدود تأثیرگذار است، در حال حاضر ضریب پواسون بطور دقیق مشخص نیست. بطور مثال بتن تحت بارهای استاتیکی ضریب پواسونی بین 0.15 تا 0.2 دارد ولی مقدار متوسط ضریب پواسون تحت بارهای دینامیکی 0.24 می‌باشد. بتن مسلح ماده غیرهمگنی است لیکن در آنالیز جهت ساده‌سازی بتن را به عنوان یک ماده همگن با خواص یکسان در نظر می‌گیریم. این فرض با در نظر گرفتن مدول یانگ بتن مسلح بصورت معادله (۹-۵-۴) درست می‌باشد.

$$E = (1 - \rho)E_c + \rho E_s \quad (9-5-4)$$

E_c و E_s = مدول یانگ بتن و فولاد و ρ = نسبت فولاد هستند. مقدار G در بتن مسلح ثابت باقی می‌ماند بنابراین بر اساس سازگاری باید ضریب پواسون از معادله $\frac{E}{G} = \frac{1+v}{2}$ بدست آید. برای دیوارهای بتنی معمولی ضریب پواسون بتن بین 0.15 تا 0.2 است و در شرایطی که نسبت فولاد (ρ) 0.12 تا 0.18 درصد باشد ضریب پواسون بین 0.2 تا 0.3 تغییر می‌کند. تحت بارهای دینامیکی ضریب پواسون بطور محسوسی افزایش می‌یابد. لیکن در عمل تاکید زیادی بر محاسبه این ضریب نمی‌باشد. در مورد هسته برشی می‌توان با دقت مناسبی ضریب پواسون را 0.25 در نظر گرفت بدون اینکه مقدار فولاد یا نوع بارگذاری موثر در نظر گرفته شوند.

۴-۶ سیستم قاب ساده با مهار کمربندی [۱۱]

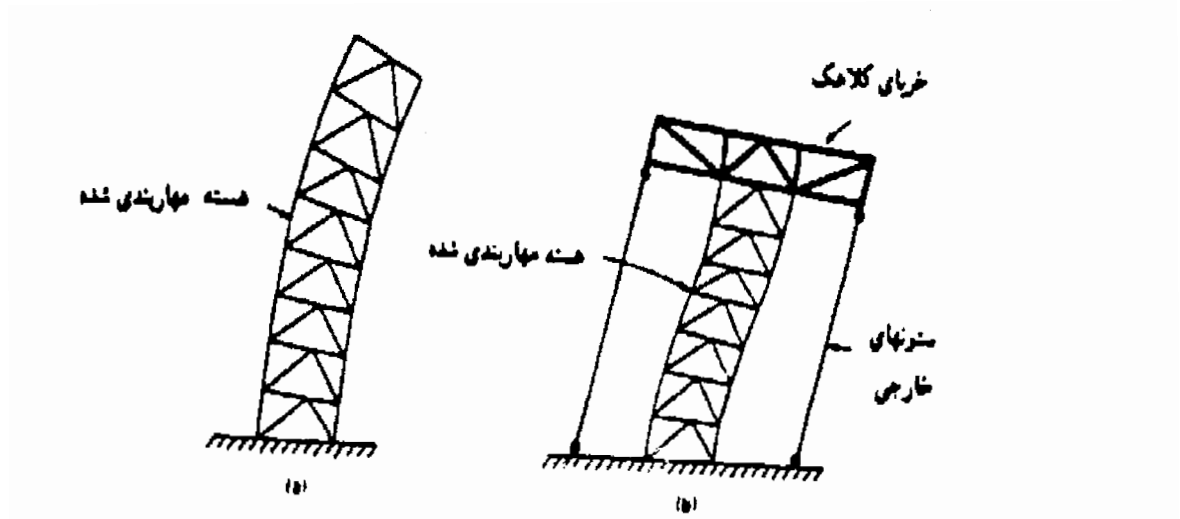
در بخش قبل رفتار یک هسته برشی بررسی شد. در این بخش و بخش بعدی تاثیر کمربندی خرپائی به سازه ترکیبی قاب ساده و هسته مرکزی و دیوار برشی کوپله بررسی می‌شود. هدف از بررسی این

جزئیات دنبال کردن رفتار تکنک سیستمهای تشکیل دهنده سازه ترکیبی قاب لوله‌ای، هسته مرکزی و کمربند خرپائی است. زیرا در فصل بعد تاثیر افزودن هسته مرکزی و کمربند خرپائی بر رفتار قاب لوله‌ای بررسی می‌شود تا مشخص شود بهترین موقعیت و سختی کمربند در چه تراز و چه مقدار می‌باشد تا بیشترین کاهش در جابجایی حاصل آید. روش عمومی برای مهاربندی سازه‌های نیمه مرتفع، مهاربندی اطراف هسته مرکزی می‌باشد ولی برای سازه‌هایی با محدودیت مهاربندی در اطراف هسته و یا سازه‌هایی بلندتر از حدود ۱۵۰ متر اگر هسته مرکزی تنها سیستم باربر جانبی سازه باشد، سختی سازه کاهش یافته و تغییر مکان جانبی به شدت افزایش می‌یابد.

تغییر مکان حداکثر در بالای تیر طره تحت بارهای متتمرکز، گستردگی یکنواخت و مثلثی به ترتیب

$$\Delta_1 = \frac{WL^3}{3EI}, \Delta_2 = \frac{WL^4}{8EI}, \Delta_3 = \frac{11WL^4}{120EI}$$

تغییر مکان جانبی به شدت افزایش و سختی نیز کاهش می‌یابد. جهت کاهش جابجایی می‌توان خرپائی کمربندی در محیط پیرامونی سازه قرار داد و توسط بازوهایی آن را به هسته مرکزی متصل کرد. مجموعه خرپایی کمربندی و بازوهای متصل کننده آن به هسته مرکزی در بالای سازه قرار گرفته و به خرپایی کلاهک موسوم است. در این صورت ستونهای خارجی به غیر از نیروهای ثقلی و قسمت جزئی از نیروهای جانبی، قسمت عمدات از نیروهای جانبی را تحمل می‌نمایند. هنگامی که این سازه تحت اثر نیروهای جانبی قرار می‌گیرند، خرپایی کلاهک با محدود کردن انحنای قسمت فوقانی، کاهش عمدات در تغییر مکان جانبی ساختمان ایجاد می‌نمایند. عملکرد خرپایی کمربندی به عنوان یک سخت کننده افقی، واپسی کردن دیگر ستونها به قسمت باربر جانبی می‌باشد. حدوداً ۲۵ تا ۳۰ درصد سختی کل قاب با افزودن این خرپایی کمربندی افزایش می‌یابد، زیرا که باعث درگیری کل ستونهای بیرونی در عملکرد پایداری جانبی می‌گردد. در شکل ۴-۱۰ در تلاش است تا زاویه چرخش آزادانه بالای سیستم جلوگیری می‌نماید. هر چند که بازوهای خرپایی واسطه در تلاش است تا زاویه چرخشی همانند سیستم مهاربندی داشته باشد، ولی بوسیله عمل ستونهای خارجی این حرکت محدود می‌گردد.



شکل ۱۰-۴ رفتار مهاربند افقی و هسته مرکزی [۱۱]

ستونهایی که در طرف وزش باد و یا نیروهای جانبی ناشی از باد و زلزله قرار می‌گیرند، تحت اثر کشش بوده و ستونهای طرف مقابل تحت فشار قرار دارند. این کشش و فشار بسیار بیشتر از عملکرد طرهای قاب تنها می‌باشد. انحنای کل قاب در این حالت شبیه یک منحنی S خواهد بود. قابل توجه می‌باشد که در حالت فوق الذکر از نیروهای واژگونی هسته مرکزی به مقدار قابل توجهی کاسته می‌گردد. کاهش در تغییر مکان بستگی عمدتی به مقادیر سختی نسبی هسته مرکزی، خرپای کلاهک و کمربندی و ابعاد و اندازه ستونهای دیگر دارد.

۱-۶-۴ روش تحلیل [۱۱]

یک تحلیل سه بعدی، اثرات متقابل اجزاء مختلف را نسبت به یکدیگر در نظر گرفته و رفتار واقعی تری را نسبت به یک تحلیل دو بعدی ارائه می‌دهد، اما عنوان یک روش و در مراحل ابتدایی به لحاظ زمان و هزینه، روش ارائه شده در زیر برای تعیین موقعیت بهینه خرپای کمربندی بکار می‌رود. عنوان

مثال یک سازه مرتفع که ستونهای پیرامونی به هسته مرکزی در یک طبقه خاص بسته شده‌اند در نظر گرفته می‌شود. ابعاد و اندازه سازه و ترتیب قرارگیری هسته، خرپای میانی و کمربندی در شکل ۱۱-۴ نشان داده شده است. فرض می‌شود که بارگذاری جانبی ناشی از باد از پائین تا بالا بصورت یکنواخت و بر نمای سازه عمل کند.

سازه مذکور ۵۰ طبقه می‌باشد. برای تحلیل فرضیات ساده کننده زیر در نظر گرفته می‌شوند :

۱- بازوهای خرپای میانی و اتصال آن به ستونهای خارجی بگونه‌ای است که فقط نیروهای محوری را منتقل سازند.

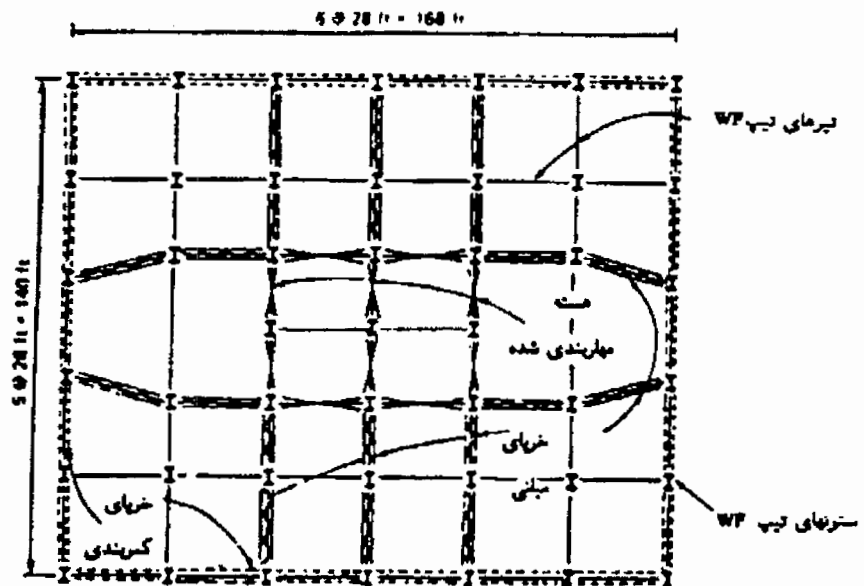
۲- دیوار هسته مرکزی و اتصال آن با خرپای میانی چنان مهاربندی شده است که چرخش هسته ناشی از تغییرشکل مهاربندی قابل صرفنظر کردن می‌باشد.

۳- اتصال تیر به ستون در تمام قابها مفصلی بوده، بنابراین عمل هسته مهار شده با ستونهای خارجی به تنهایی کل نیروهای جانبی را تحمل می‌کنند.

۴- خرپای کمربندی کاملاً صلب بوده و از پیچش کل سازه جلوگیری می‌کند.

۵- سختی محوری ستونهای پیرامونی و ممان اینرسی هسته در ارتفاع بصورت ثابت و یکنواخت می‌باشد.

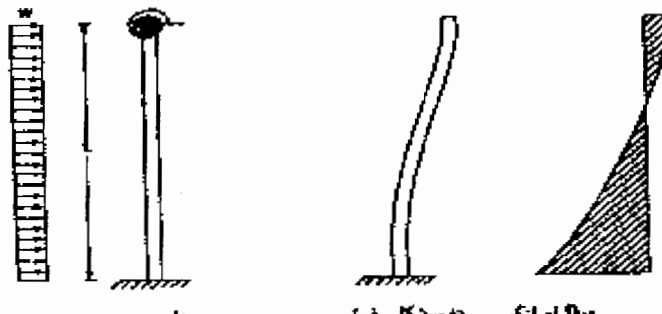
۶- هسته مرکزی در پائین سازه کاملاً صلب و گیردار می‌باشد.



شکل ۱۱-۴ پلان یک سازه با خرپای میانی، هسته مرکزی و خرپای کمربندی [۱۱]

با فرضیات فوق، مدل تحلیلی برای مسئله به یک طرہ گیردار تبدیل می‌شود. بنابراین تغییر مکان کمربند میانی و هسته در وله اول به تغییرات انرژی خمی بستگی دارد، بصورتیکه ستونها فقط انرژی مستقیم ناشی از نیروی محوری را تحمل می‌نمایند. قابل ذکر است که محل خرپای کمربندی بر روی بزرگی تغییر مکان جانبی تاثیر عمده‌ای دارد. شکل ۱۵-۳ نمای جانبی از یک سازه با اتصالات ساده، خرپای میانی و کمربندی و هسته مرکزی را نشان می‌دهد.

اثر خرپای میانی و ستونهای خارجی همانند یک فنر خمی بوده که سختی آن بستگی به محل قرار گیری آن دارد، شکل ۱۲-۴ مدل تحلیلی سازه را با فرض قرار گیری فنر خمی در بالای سازه نشان می‌دهد.



شکل ۱۲-۴ طره فنردار [۱۱]

سازه برای موقعیتهای مختلف کمربند آنالیز شده و معادله کلی تغییرمکان هر یک از حالات بدست آمده است.

حالت اول - فندر موقعیت $L = z$

شرایط سازگاری چرخش در $L = z$ را می‌توان به صورت $\theta_w - \theta_s = \theta_L$ نوشت.

$$\theta_w = \text{چرخش طره در ارتفاع}$$

$L = z$ تحت بارگذاری یکنواخت جانبی W برحسب رادیان، $\theta_s = \text{چرخش فنر در } L = z$ برحسب رادیان، $\theta_L = \text{چرخش نهايی در موقعیت } L = z$ برحسب رادیان می‌باشند. برای یک طره با ممان اینرسی ثابت I در ارتفاع و مدول الاستيسیته E و بارگذاری یکنواخت جانبی W در ارتفاع :

$$\theta_w = \frac{WL^3}{6EI} \quad (1-6-4)$$

و اگر M_1 و K_1 نماینده لنگر و سختی فنر در موقعیت $L = z$ باشند، می‌توان نوشت :

$$\frac{WL^3}{6EI} - \frac{M_1 L}{EI} = \frac{M_1}{K_1} \quad (2-6-4)$$

$$M_1 = \frac{WL^3}{1/K_1 + L/EI} \quad (3-6-4)$$

و Δ تغییرمکان نهايی در بالاي ساختمان، مجموع تغییرمکان ناشی از طره و فنر خمسی می‌باشد

بنابراین :

$$\Delta_1 = \Delta_{load} - \Delta_{spring} \quad (4-6-4)$$

$$\Delta_1 = \frac{L^2}{2EI} \left[\frac{WL^2}{4} - M_1 \right] \quad (5-6-4)$$

$$z = \frac{3L}{4}$$

حالت دوم - فنر در موقعیت

تعییرمکان کلی در یک نقطه از یک تیر طره تحت اثر بار یکنواخت عبارتست از :

$$y = \frac{W}{24EI} (x^4 - 4L^3x + 3L^4) \quad (6-6-4)$$

باید توجه داشت که x از بالای سازه در نظر گرفته می‌شود. با مشتق‌گیری نسبت به x ، جمله

$$\text{عمومی برای شیب در هر نقطه طره بدست می‌آید. با جایگذاری } x = \frac{L}{4} \text{ یا } z = \frac{3L}{4} \text{ معادله (7-6-3) بدست می‌آید.}$$

$$\frac{dy}{dx} = \frac{W}{6EI} (x^3 - L^3) \quad (7-6-4)$$

$$\frac{dy}{dx} \left(at \quad x = \frac{L}{4} \right) = \frac{W}{6EI} \left(\frac{L^3}{64} - L^3 \right) = \frac{WL^3}{6EI} \times \frac{63}{64} \quad (8-6-4)$$

$$\text{با فرض } M_2 \text{ و } K_2 \text{ بعنوان لنگر و سختی فنر در موقعیت } x = \frac{L}{4} \text{ معادله سازگاری عبارتست از :}$$

$$\frac{WL^3}{6EI} \times \frac{63}{64} - \frac{M_2}{EI} \times \frac{3L}{4} = \frac{M_2}{K_2} \quad (9-6-4)$$

$$\text{با توجه به اینکه } K_2 = \frac{4K_1}{3} \text{ باشد، می‌توان نوشت :}$$

$$M_2 = \left(\frac{WL^3 / 6EI}{1 / K_1 + L / EI} \right) \times 1.31 \quad (10-6-4)$$

$$M_2 = 1.31 M_1 \quad (11-6-4)$$

$$\Delta_2 = \frac{L^2}{2EI} \left(\frac{WL^2}{4} - 1.23M_1 \right) \quad (12-6-4)$$

$$\text{حالت سوم - فنر در موقعیت } z = \frac{L}{2}$$

با توجه به عبارات حالت اول و دوم می‌توان با جایگذاری $\theta(x = L/2) = 7WL^3 / 48EI$ نوشت:

$$\frac{7WL^3}{48EI} - \frac{M_3 L}{2EI} = \frac{M_3}{K_3} \quad (13-6-4)$$

$$K_3 = 2K_1 \quad (14-6-4)$$

$$M_3 = \left(\frac{WL^3 / 6EI}{1/K_1 + L/EI} \right) \times \frac{7}{4} \quad (15-6-4)$$

$$M_3 = 1.75 M_1 \quad (16-6-4)$$

$$\Delta_3 = \frac{L^2}{2EI} \left(\frac{WL^2}{4} - 1.31M_1 \right) \quad (17-6-4)$$

$$\text{حالت چهارم - فنر در موقعیت } z = \frac{L}{4}$$

$$\frac{WL^3}{6EI} \left(\frac{37}{64} \right) - \frac{M_4 L}{4EI} = \frac{M_4}{K_4} \quad (18-6-4)$$

$$M_4 = 2.3 M_1 \quad (19-6-4)$$

$$\Delta_4 = \frac{L^2}{2EI} \left(\frac{WL^4}{4} - M_1 \right) \quad (20-6-4)$$

چهار تغییرمکان ارائه شده در معادلات (۱۲-۶-۴)، (۱۳-۶-۴)، (۱۴-۶-۴) و (۱۵-۶-۴) تغییرمکان

جانبی برای چهار موقعیت مختلف خریای کمربندی و میانی می‌باشند. با اعمال چرخش واحد در بالای هسته ساختمان ستونهای پیرامون به کشش و فشار عمل می‌نمایند. بزرگی هر کدام از این نیروها به فاصله عددی این ستونها از مرکز هسته بستگی دارد. مجموع حاصلضرب نیروی وارد هر ستون در بازوی

لنگر مقدار K_1 را بدست می‌دهد. نیروی P در هر ستون خارجی عبارتست از $P = \frac{AE\Delta}{L}$ و با فرض d

به عنوان فاصله مربوط به بازوی لنگر

$$p = \frac{AE}{L} \left(\frac{d}{2} \right) \theta \quad (21-6-4)$$

$$M_2 = p_i d = \frac{A_i E}{L} \frac{d^2}{2} \theta \quad (22-6-4)$$

$$K_i = \frac{M_i}{\theta} = \frac{A_i E}{L} \frac{d^2}{2} \quad (23-6-4)$$

$$K_1 = \sum_{i=1}^n k_i = \frac{d^2 E}{2L} \sum_{i=1}^n A_i \quad (24-6-4)$$

۲-۶-۴ تعیین موقعیت بهینه برای یک خرپای کمربندی

باتوجه به فرمولهای بخش قبل کاملاً واضح است که مقدار بازده حاصل از بستن هسته مرکزی به ستونهای خارجی تابعی از دو عامل، سختی معادل فنر خرپای میانی و کمربندی و بزرگی چرخش در انتهای تیر طره تحت اثر بارهای خارجی می‌باشد. برای مثال، سختی معادل فنر وقتی خرپا بالای تیر طره باشد، حداقل، وقتی در پایه باشد، حداکثر است. به عبارت دیگر انرژی کرنشی که در فنر ذخیره می‌شود، تابعی از سختی و چرخش طره در محل فنر می‌باشد. چرخش یک طره آزاد بصورت یک منحنی پارabolیک بوده که در بالا حداکثر و در پائین صفر می‌باشد. بالطبع واضح است که از نقطه نظر سختی بسیار مطلوب است که محل خرپای میانی در پایه باشد و از نقطه نظر چرخش دقیقاً محل فنر باید در بالای سازه باشد. سه حالت بارگذاری متمرکز، گسترده یکنواخت و گسترده مثلثی جهت بدست آوردن موقعیت بهینه خرپای کمربندی در نظر گرفته می‌شود.

حالت اول - بار گسترده یکنواخت

معادله تعادل برای چرخش در فاصله x از لبه فوقانی سازه عبارتست از :

$$\frac{W}{6EI} (x^3 - L^3) - \frac{M_x}{EI} (L - x) = \frac{M_x}{K_x} \quad (25-6-4)$$

$\frac{AE}{L-x} \frac{d^2}{2}$ شدت بار جانبی، M_x = لنگر در نقطه x ، K_x = سختی فنریت در نقطه x برابر با W مدول الاستیسیته هسته مهاربندی شده، I = ممان اینرسی هسته مهاربندی شده، A = سطح مقطع ستونهای پیرامون، L = ارتفاع سازه، d = فاصله بیرون تا بیرون ستونها می‌باشد.

تغییر مکان بالای سازه ناشی از لنگر M_x عبارتست از :

$$y_M = \frac{M_x(L-x)(L+x)}{2EI} \quad (26-6-4)$$

با توجه به تعریف محل قرارگیری بهینه خرپا، با مشتقگیری از رابطه (۲۶-۶-۳) و مساوی صفر قراردادن آن بهترین موقعیت کمربند برای بارگذاری گستردگی یکنواخت حاصل می‌شود.

$$\frac{d}{dx} \left[\frac{W(x^3 - L^3)(L+x)}{12(EI)^2 (1/AE + 1/EI)} \right] = 0 \quad (27-6-4)$$

$$4x^3 + 3x^2L - L^3 = 0 \Rightarrow x = 0.455L \quad (28-6-4)$$

حالت دوم - بار متتمرکز در تراز فوقانی سازه

معادله تعادل برای چرخش در فاصله x از تراز فوقانی سازه :

$$\frac{P}{2EI} (L^2 - x^2) - \frac{M_x}{EI} (L-x) = \frac{M_x}{K_x} \quad (29-6-4)$$

$$K_x = \frac{AE}{L-x} \frac{d^2}{2} \quad (30-6-4)$$

$$M_x = \frac{p(L+x)}{2} \times \frac{(AE)d^2}{2(EI) + (AE)d^2} \quad (31-6-4)$$

تغییر مکان بالای سازه تحت اثر لنگر M_x :

$$y_M = \frac{P(L+x)(AE)d^2(L-x)(L+x)}{4(EI)[2(EI) + (AE)d^2]} \quad (32-6-4)$$

$$\frac{dy_M}{dx} = \frac{(AE)pd^2}{8(EI)^2 + 4(AE)(EI)d^2} - (L^2 - 2Lx - 3x^2) = 0 \quad (33-6-4)$$

$$3x^2 + 2Lx - L^2 = 0 \Rightarrow x = 0.334L \quad (34-6-4)$$

حالت سوم - بار گستردہ مثلثی

معادله تعادل برای چرخش در فاصله x از تراز فوقانی سازه :

$$\frac{W}{6EI} \left[(L^3 - x^3) - \frac{(L^4 - x^4)}{4L} \right] - \frac{M_x}{EI} (L - x) = \frac{M_x}{K_x} \quad (35-6-4)$$

$$M_x = \frac{(AE)d^2}{2(EI) + (AE)d^2} \times \frac{1}{L-x} \times \frac{W}{6} \left[(L^3 - x^3) - \left(\frac{L^4 - x^4}{4L} \right) \right] \quad (36-6-4)$$

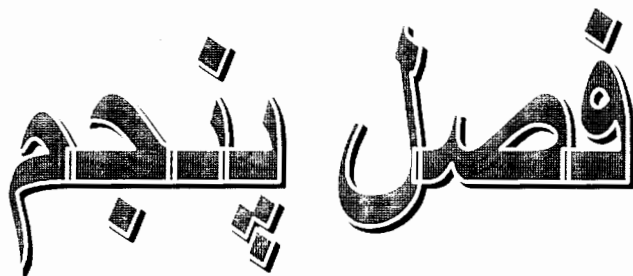
$$y_M = \frac{(AE)d^2}{2(EI) + (AE)d^2} \times \frac{W}{6} \left[(L^3 - x^3)(L+x) - \frac{(L^4 - x^4)(L+x)}{4L} \right] \quad (37-6-4)$$

$$\frac{dy_M}{dx} = \frac{(AE)d^2}{2(EI) + (AE)d^2} \times \frac{W}{6} (5x^4 - 12Lx^3 - 12L^2x^2 + 3L^4) = 0 \quad (38-6-4)$$

$$5x^4 - 12Lx^3 - 12L^2x^2 + 3L^4 = 0 \Rightarrow x = 0.429L \quad (39-6-4)$$

با توجه به روابط (28-6-4)، (34-6-4) و (39-6-4) مشاهده می شود که با افزایش لنگر خمی ناشی از بار جانبی بهترین موقعیت خرپایی کمرنندی به سمت بالای سازه حرکت می کند. یعنی برای بار گستردہ یکنواخت که کمترین لنگر را ایجاد می کند بهترین موقعیت $L = 0.455$ ، برای بار گستردہ مثلثی که لنگر بیشتری ایجاد می کند $L = 0.429$ و برای بار مت مرکز که بیشترین لنگر را بوجود می آورد $x = 0.344L$ می باشد.

از نتایج حاصله از بخش‌های ۱-۶-۴ و ۲-۶-۴ که در واقع بهترین موقعیت کمربند خرپائی جهت کاهش حداکثر تغییرمکان سازه را بدست می‌دهد، چنین بر می‌آید که در سیستم معادل‌سازی شده سختی تیر و فنر تاثیری در بهترین موقعیت کمربند ندارد.

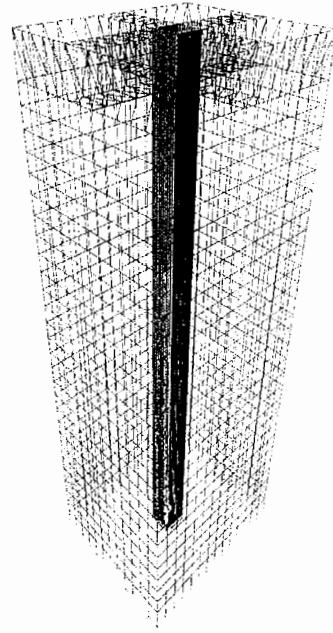


بررسی تاثیر کمربند خرپائی در بهبود رفتار قاب محیطی

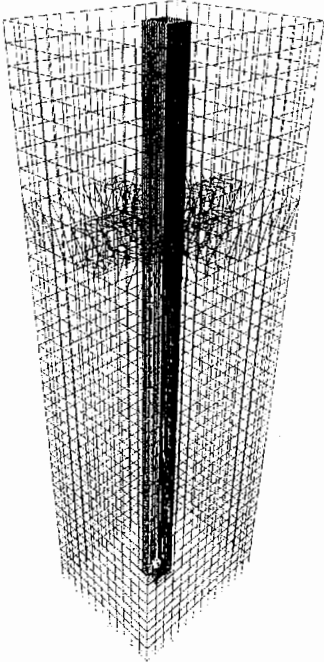
۱-۵ مقدمه	۷۱
۲-۵ مشخصات سازه‌های آنالیز شده	۷۳
۳-۵ سازه سی طبقه	۷۴
۴-۵ سازه چهل طبقه	۸۴
۵-۵ سازه پنجاه و شصت طبقه	۹۳
۶-۵ بررسی تاثیر کمربند خرپائی و هسته مرکزی در کاهش جابجایی و لنگی برش	۱۰۲
۷-۵ تأثیر قطع کردن هسته برشی در تراز فوقانی کمربند خرپائی بر توزیع تنش و جابجایی	۱۰۴

۱-۵ مقدمه

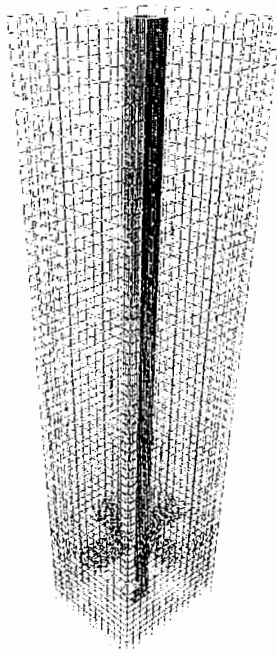
در این فصل سعی براین خواهد بود تا به روش اجزای محدود بهترین موقعیت کمربند را در سیستم ترکیبی قاب محیطی، هسته مرکزی و کمربند خریائی، به ازای بارگذاری‌های مختلف در سازه‌های بلند با ارتفاعهای مختلف محاسبه کرد. در فصل قبل هر یک از اجزای تشکیل دهنده سیستم فوق الذکر، مورد بررسی قرار گرفت. سیستمی که در بخش ۶-۴ به آن اشاره شد درواقع یک طره گیردار بود که پدیده لنگی برش در بررسی رفتار آن دخالت داده نشده بود. در این فصل با بررسی نمودارهای جابجایی و توزیع تنش برای موقعیتها و سختیهای مختلف کمربند خریائی، تاثیر این پارامتر بر رفتار سازه بررسی می‌شود. به این منظور چهار نمونه سیستم ترکیبی قاب لوله‌ای، هسته مرکزی و کمربند خریائی با تعداد طبقات ۳۰، ۴۰، ۵۰ و ۶۰ مورد بررسی قرار گرفته‌اند. مطابق اشکال ۱-۵ الی ۶-۴ موقعیت کمربند در ارتفاع تغییر یافته و نهایتاً بهترین موقعیت کمربند جهت حداکثر کاهش در تغییر مکان تراز فوقانی سازه بدست آمده است. سپس تاثیر موقعیتهاي مختلف کمربند بر کاهش لنگی برش در پای سازه مورد مطالعه قرار گرفته است. در انتهای با ثابت در نظر گرفتن موقعیت کمربند سطح مقطع اعضاي تشکیل دهنده آن به نحوی تغییر داده شده تا بهترین سختی برای کمربند در ترکیب با هسته مرکزی حاصل گردد.



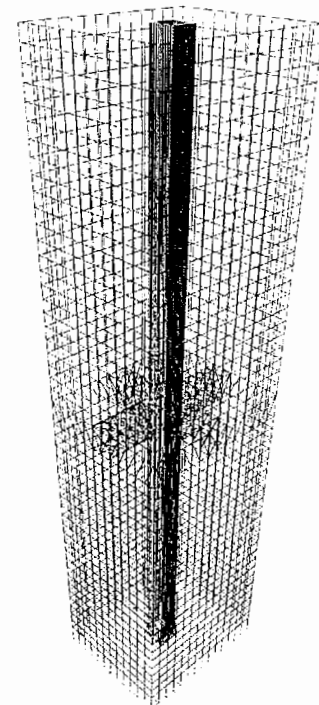
شکل ۱-۵ مدل شماتیک سازه سی طبقه



شکل ۲-۵ مدل شماتیک سازه چهل طبقه



شکل ۴-۵ مدل شماتیک سازه شصت طبقه



شکل ۳-۵ مدل شماتیک سازه پنجاه طبقه

در زیرنویس نمودارهای جابجایی و توزیع تنش ، B.S. ، B.L. و F.S. به ترتیب نشان دهنده موقعیت کمربند، سختی کمربند و سختی قاب می‌باشند. همچنین مقصود از سیستم ترکیبی، سیستم قاب لوله‌ای، هسته مرکزی و کمربند خرپائی است.

۲-۵ مشخصات سازه‌های آنالیز شده

جدول ۱-۵ مشخصات هندسی قاب و هسته برشی

مشخصات هندسی	ارتفاع طبقات (m)	فاصله محور تا محور ستونها (m)	ابعاد پلان سازه (m)	ابعاد هسته برشی (m)	ضخامت پانل‌های هسته برشی (cm)
	۳	۲/۵	۳۰×۳۵	۵×۵	۲۵

جدول ۲-۵ مشخصات مصالح اعضاي قاب و هسته برشی

مشخصات صالح	مدول الاستیستیه اعضاي قاب ($\frac{t}{m^2}$)	ممان اینرسی تيرها و ستونها (m^4)	سطح مقطع تيرها و ستونها (m^2)	مدول الاستیستیه هسته مرکزی ($\frac{t}{m^2}$)	ضربيب پواسون بن	مدول الاستیستیه هسته برشی اعضاي قاب
$۲/۰۳۹ \times 10^7$	۳۱۷۴۴۸	۵۷۵	$۲/۵۳۱ \times 10^6$	$۰/۲۵$	$۷/۸۴۲ \times 10^6$	

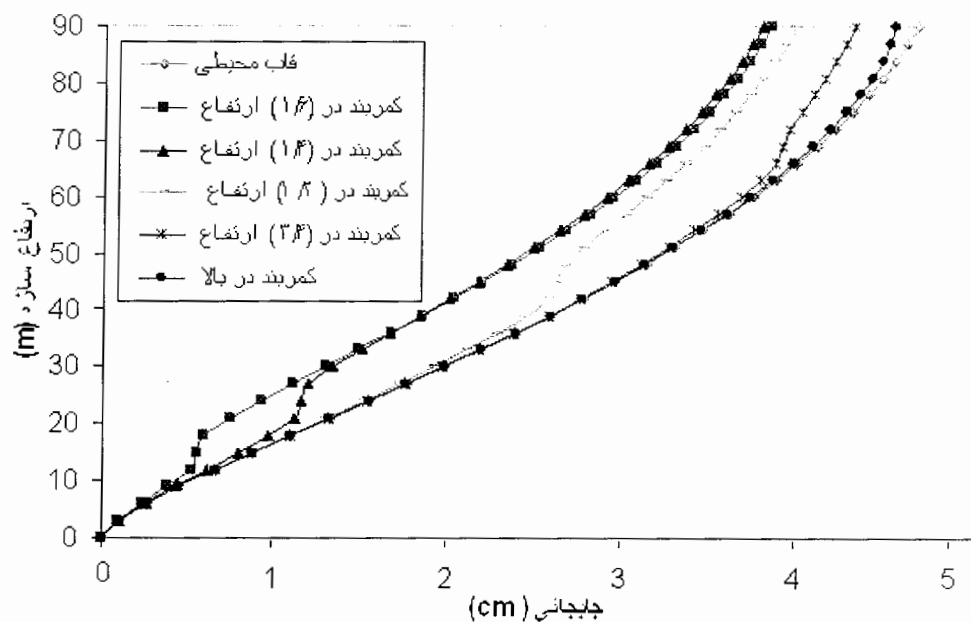
فاصله محور تا محور ستونها ، ارتفاع طبقات، سطح مقطع و ممان اینرسی تيرها و ستونها در ارتفاع ثابت‌اند و از وزن اعضاي سازه صرف‌نظر شده است. سازه‌های ۳۰ ، ۴۰ ، ۵۰ و ۶۰ طبقه با مشخصات مندرج در جداول ۱-۵ و ۲-۵ تحت بار ۱۲۰ کيلونيوتن برمتر مربع آنالیز شده‌اند. ابعاد پلان سازه با توجه به اندازه‌های ارائه شده در مثال ۱ مرجع [۳] برای اين سازه‌ها در نظر گرفته شده و اين سازه‌ها تحت سه نوع بار متتمرکز در تراز فوقاني، گستردۀ يکنواخت و گستردۀ مثلثی مورد تحليل قرار گرفته‌اند.

۳-۵ سازه سی طبقه

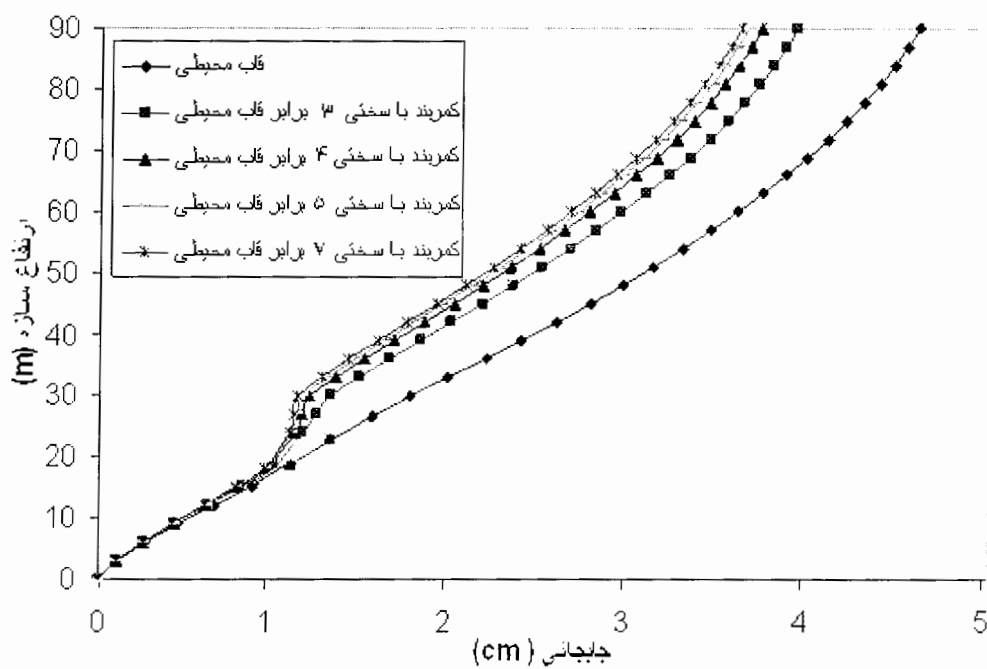
در این بخش سازه ترکیبی سی طبقه تحت بار گستردگی یکنواخت آنالیز شده است. در شکل (۵-۵) و (۹-۵) تغییر مکان این سازه به ازای موقعیتهای مختلف کمربند نشان داده شده است. در این وضعیت سختی کمربند در موقعیتهای مختلف ثابت، و ۵ برابر سختی معادل دو طبقه از قاب محیطی و هسته مرکزی در نظر گرفته شده است. با توجه به این نمودار بهترین موقعیت کمربند خرپائی جهت حصول حداقل کاهش در تغییر مکان تراز فوقانی، محدوده $\frac{1}{4}$ ارتفاع از پای سازه می‌باشد. در اشکال (۶-۵) تا (۱۲-۵) نمودارهای جابجایی به ازای سختیهای مختلف کمربند ارائه شده‌اند. در این نمودارها با ثابت در نظر گرفتن موقعیت کمربند، سختی آن تغییر پیدا کرده تا تاثیر افزایش سختی بر کاهش جابجایی بررسی گردد. همانطور که مشاهده می‌شود افزایش سختی جانبی کمربند تا ۳ الی ۷ برابر سختی جانبی دو طبقه از سازه قاب محیطی و هسته مرکزی باعث کاهش جابجایی شده لیکن افزایش بیشتر سختی در کاهش جابجایی مؤثر نیست. در اشکال (۱۳-۵) و (۱۴-۵) به ترتیب نمودارهای توزیع تنش محوری در قابهای بال و جان در پای سازه به ازای موقعیتهای مختلف کمربند نشان داده شده است. مشاهده می‌شود که با پائین آمدن کمربند و محدود شدن حرکت ستونها، لنگی برش در پای سازه کاهش چشمگیری می‌یابد. ولی نمودار توزیع تنش در قاب جان بیانگر تاثیر ناچیز کمربند در کاهش لنگی برش این قاب است. از آنجایی که قسمت عمدۀ لنگر اعمالی خارجی باید توسط کوپل داخلی ناشی از نیروهای کششی و فشاری دو سمت مخالف محور خنثی ساختمان تحمل گردد، افزایش صلبیت خمشی بیشتر وابسته به نحوه توزیع تنش قاب بال است و در اینجا مشاهده می‌گردد که کمربند اختلاف تنش ستونهای گوشه و میانی در قاب بال را به مقدار زیادی کاهش می‌دهد. به همین دلیل لنگر مقاوم و صلبیت خمشی سازه افزایش می‌یابد. بنابراین می‌توان ستونهای با ممان اینرسی کمتری در صفحه قاب جداره قرار داد، دهانه شاهتیرها را بزرگ‌تر نمود و تعداد ستونها را کاهش داد. ضمناً چون شاهتیرها عموماً رفتاری مانند یک کلاف افقی دارند، سختیهای آنها چندان مهم نخواهد بود و تیرهای کناری می‌توانند باریکتر شوند. از مزایای دیگر کاهش

لنگی برش در پای سازه، افزایش سطوح بازشوها در همکف می باشد که معمولاً مورد تقاضای معماران و کارفرمایان می باشد.

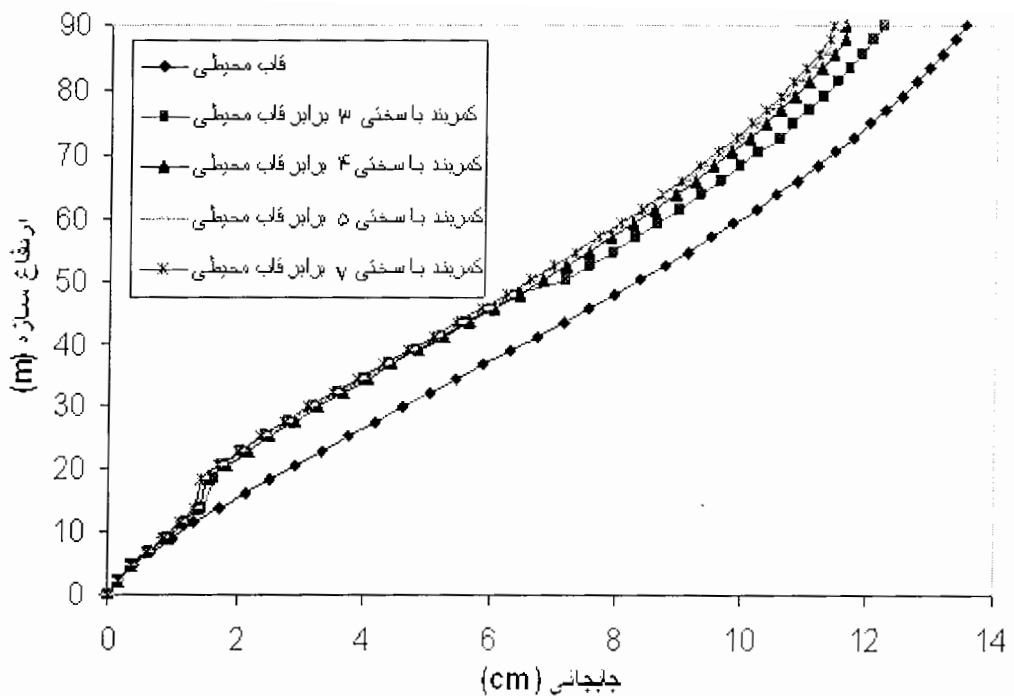
به این ترتیب تاثیر افزایش سختی کمربند در زمان ثابت بودن موقعیت آن، باعث کاهش لنگی برش قابهای بال و جان می باشد. با توجه به اشکال تغییر سختی در کاهش لنگی برش از اهمیت چندانی برخوردار نیست، بلکه کاهش لنگی برش بطور عمده به موقعیت کمربند بستگی دارد. با توجه به این اشکال بهترین موقعیت کمربند جهت ایجاد حداکثر یکنواختی در توزیع تنش محوری قاب بال محدوده $\frac{1}{6}$ ارتفاع از پای سازه است. حال آنکه در قاب جان کمربند در محدوده $\frac{1}{4}$ ارتفاع بهترین توزیع تنش را بدست می دهد. همانطور که بیان شد افزایش سختی در یکنواختی توزیع تنش مفید نمی باشد.



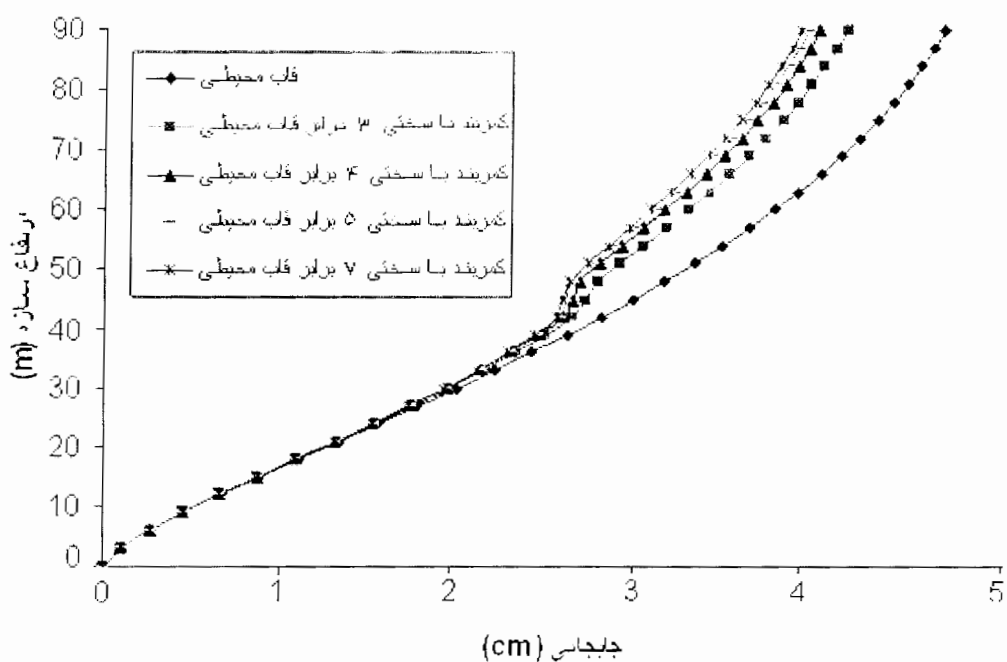
شکل ۵-۵- جابجایی سیستم ترکیبی قاب محیطی، هسته مرکزی و کمریند خربائی تحت بار تخت بار مثلثی
 $(B.S.=5^*F.S.)$



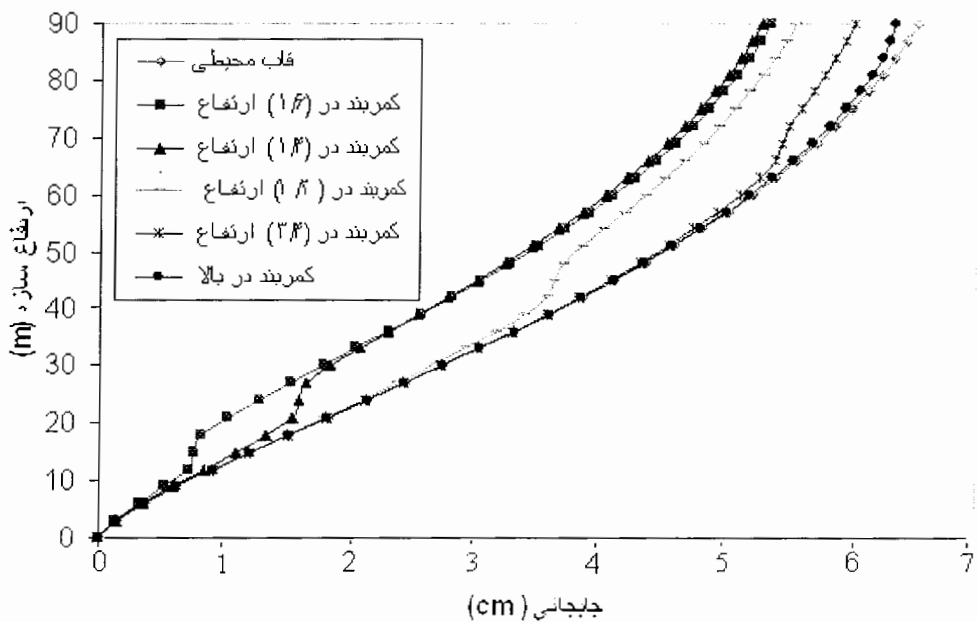
شکل ۵-۶- جابجایی سیستم ترکیبی قاب محیطی، هسته مرکزی و کمریند خربائی تحت بار تخت بار مثلثی $(B.L.=H/4)$



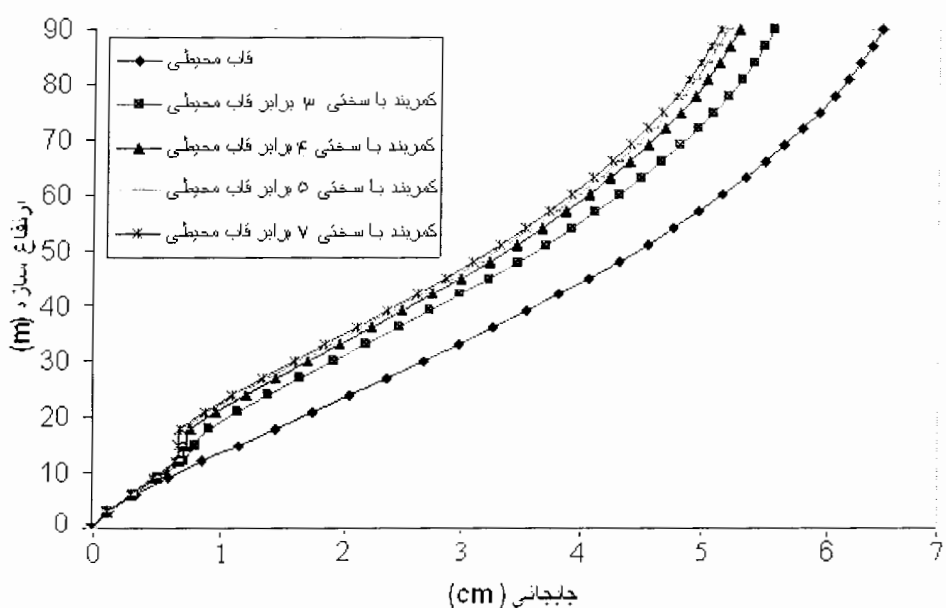
شکل ۷-۵- جابجایی سیستم ترکیبی قاب محیطی، هسته مرکزی و کمربند خرپائی تحت بار مثلثی (B.L.=H/6)



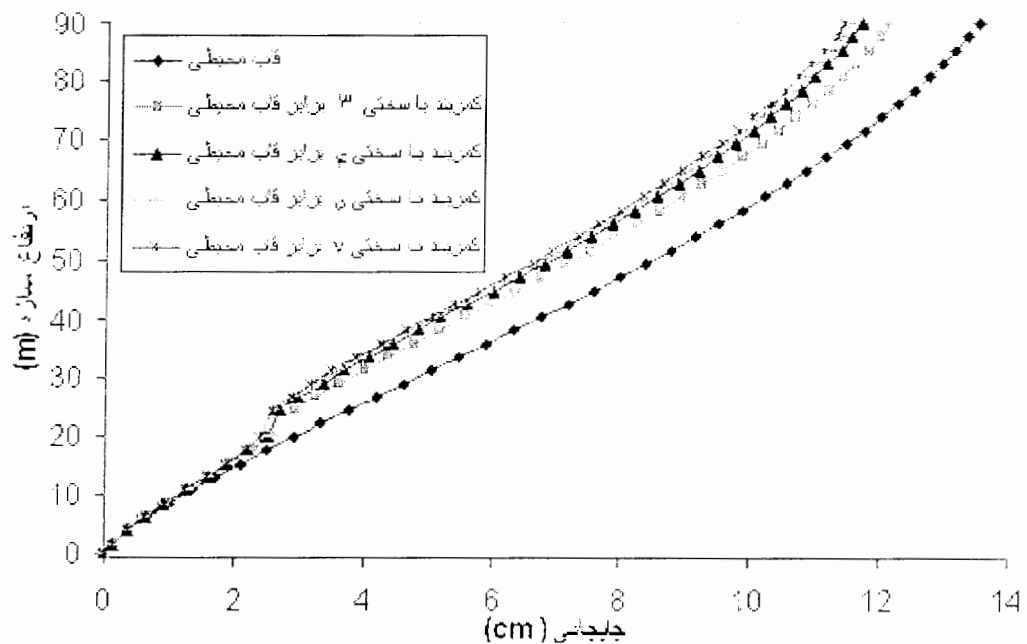
شکل ۸-۵- جابجایی سیستم ترکیبی قاب محیطی، هسته مرکزی و کمربند خرپائی تحت بار مثلثی (B.L.=H/2)



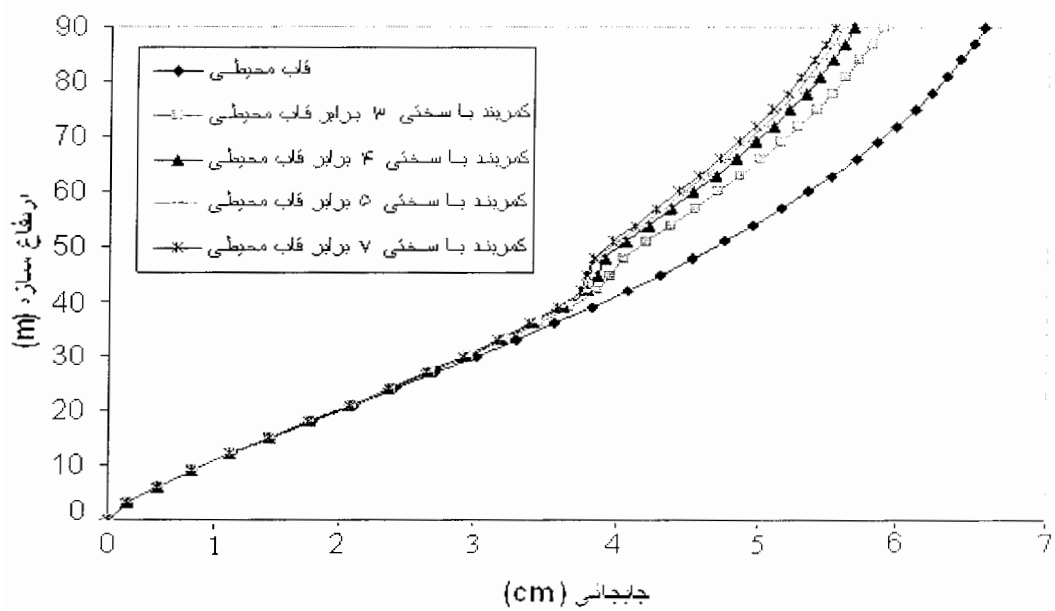
شکل ۹-۵- جابجایی سیستم ترکیبی قاب محیطی، هسته مرکزی و کمربند خرپائی تحت بار گسترده یکنواخت
(B.S.= $\delta \times F.S.$)



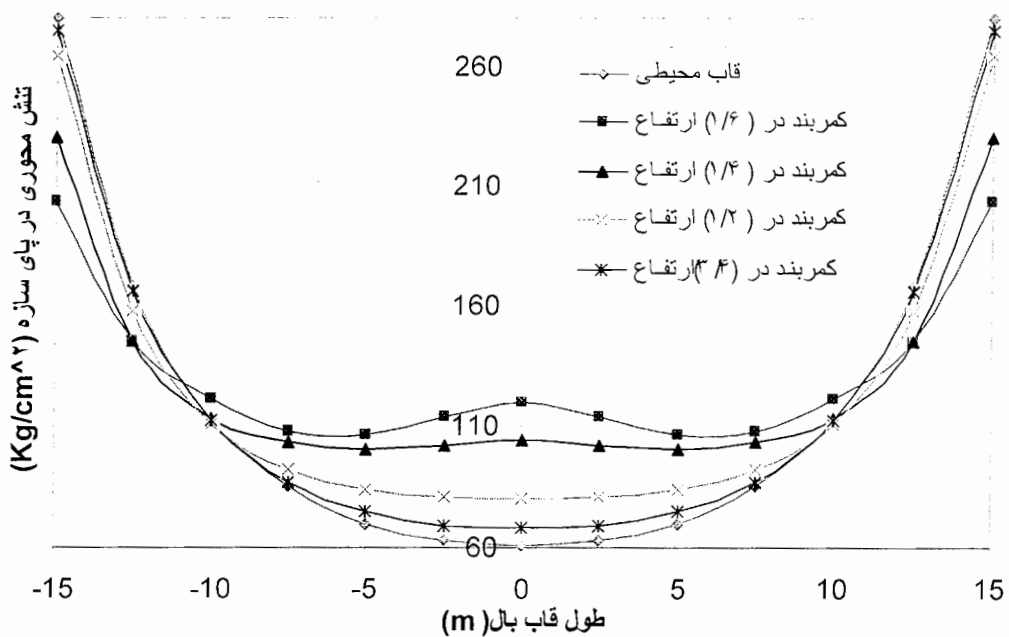
شکل ۱۰-۵- جابجایی سیستم ترکیبی قاب محیطی، هسته مرکزی و کمربند خرپائی تحت بار گسترده یکنواخت
(B.L.=H/4)



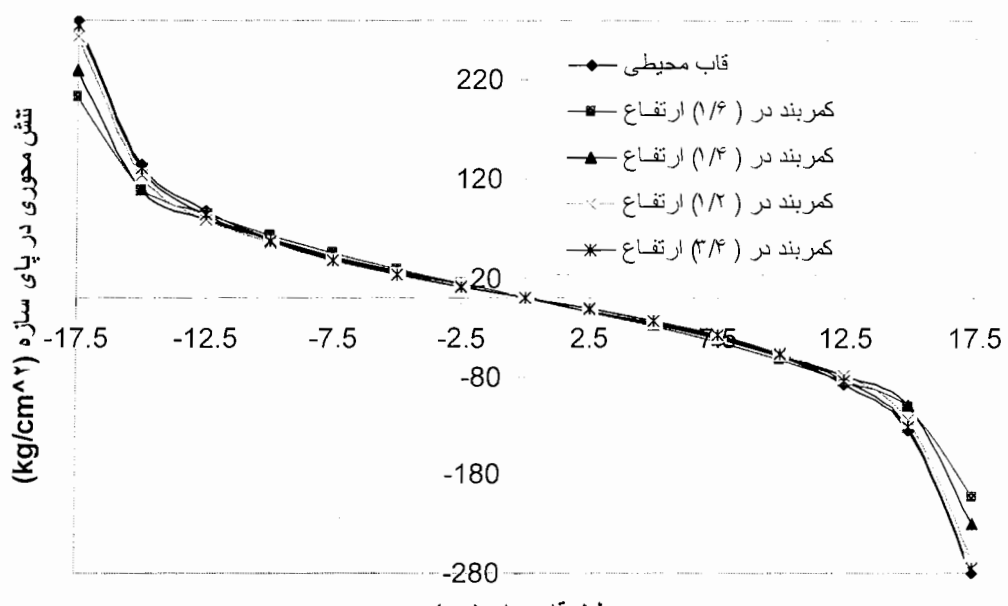
شکل ۱۱-۵ جابجایی سیستم ترکیبی قاب محیطی، هسته مرکزی و کمرنده خرپائی تحت بار گستردہ یکنواخت
($B.L.=H/6$)



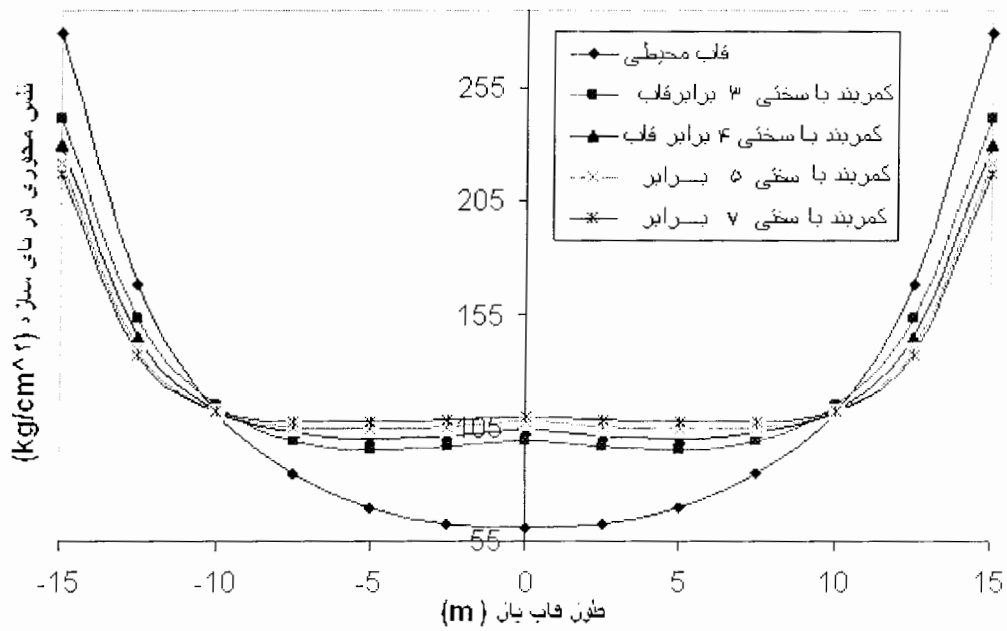
شکل ۱۲-۵ جابجایی سیستم ترکیبی قاب محیطی، هسته مرکزی و کمرنده خرپائی تحت بار گستردہ یکنواخت
($B.L.=H/2$)



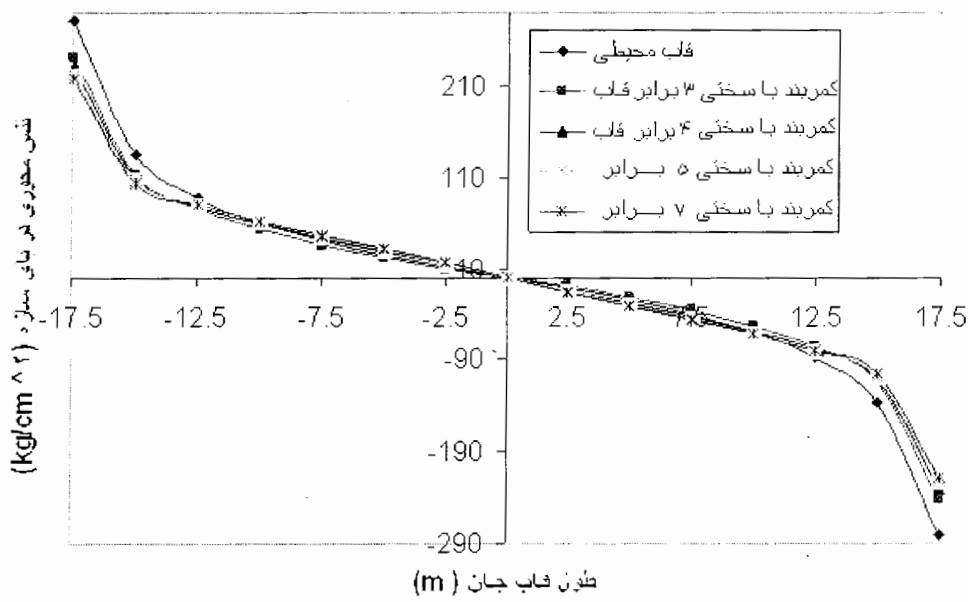
شکل ۱۳-۵ توزیع تنش در بال سیستم ترکیبی قاب محیطی، هسته مرکزی و کمربند خرپائی تحت بار گسترده یکنواخت
(B.S.=5*F.S.)



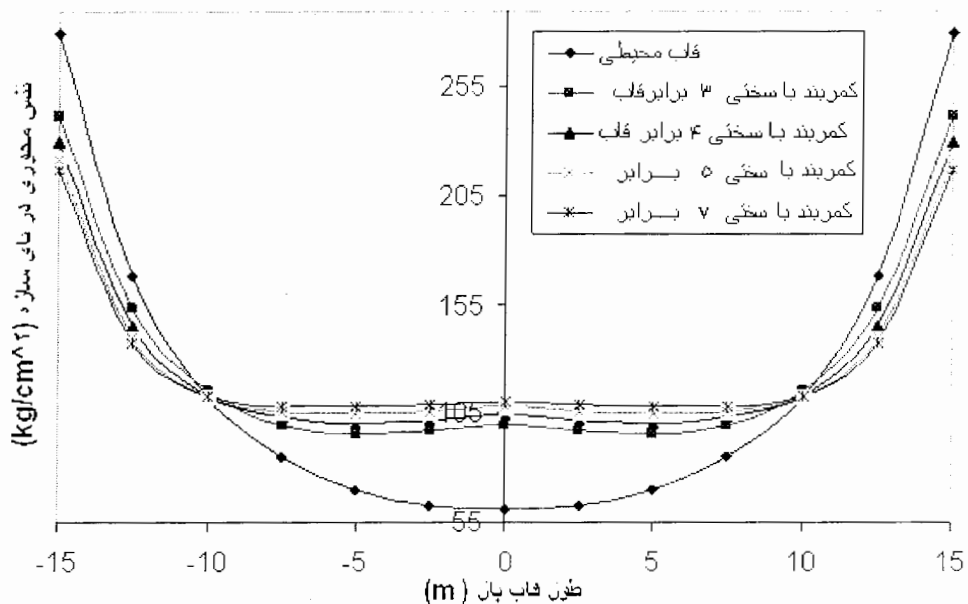
شکل ۱۴-۵ توزیع تنش در جان سیستم ترکیبی قاب محیطی، هسته مرکزی و کمربند خرپائی تحت بار گسترده یکنواخت
(B.S.=5*F.S.)



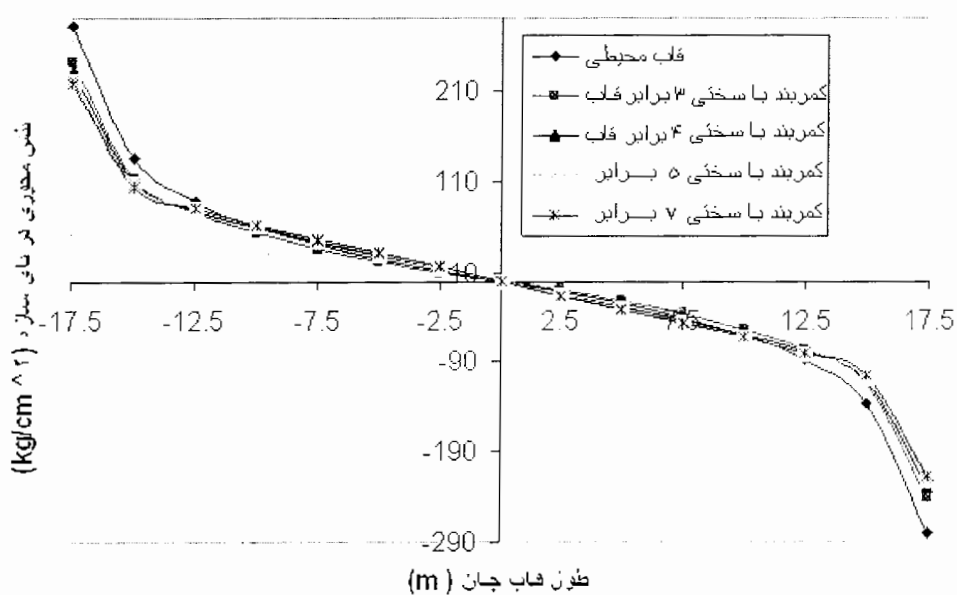
شکل ۱۵-۵ توزیع تنש در بال سیستم ترکیبی قاب محیطی، هسته مرکزی و کمربند خرپائی تحت بار گسترده یکنواخت
(B.L.=H/6)



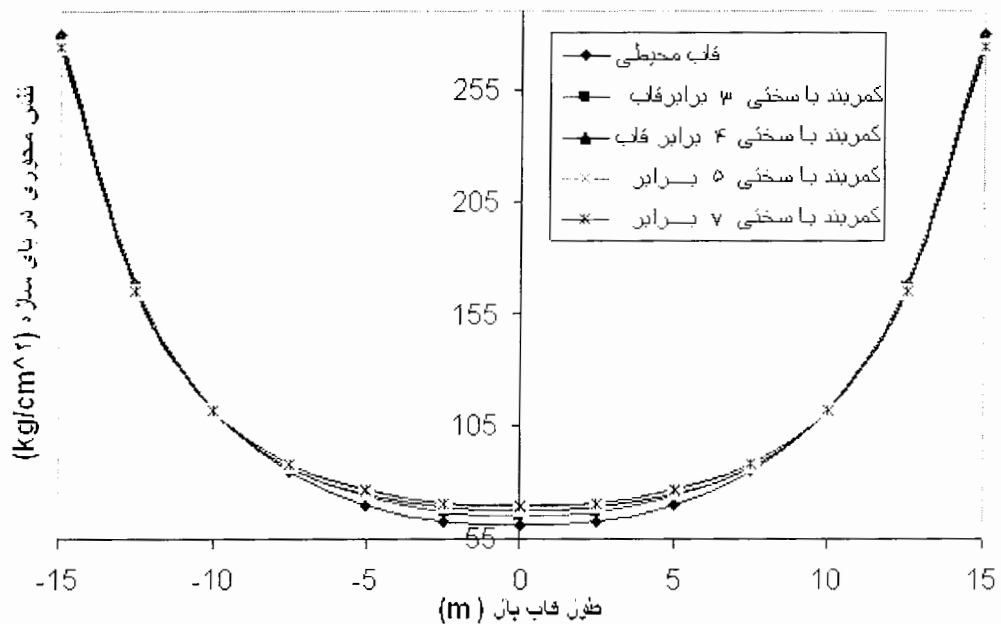
شکل ۱۶-۵ توزیع تنش در جان سیستم ترکیبی قاب محیطی، هسته مرکزی و کمربند خرپائی تحت بار گسترده یکنواخت (B.L.=H/6)



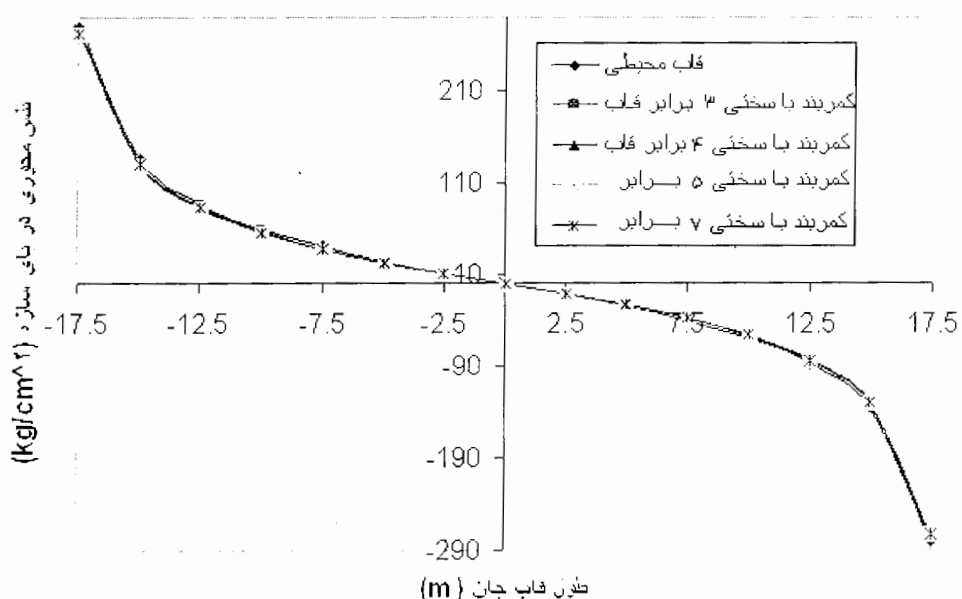
شکل ۱۷-۵ توزیع تنش در بال سیستم ترکیبی قاب محیطی، هسته مرکزی و کمربند خرپائی تحت بار گستردہ یکنواخت
(B.L.=H/۴)



شکل ۱۸-۵ توزیع تنش در جان سیستم ترکیبی قاب محیطی، هسته مرکزی و کمربند خرپائی تحت بار گستردہ یکنواخت (B.L.=H/۴)



شکل-۵ ۱۹-۵ توزیع تنش در بال سیستم ترکیبی قاب محیطی، هسته مرکزی و کمربند خرپائی تحت بار گستردۀ یکنواخت ($B.L.=\frac{3H}{4}$)

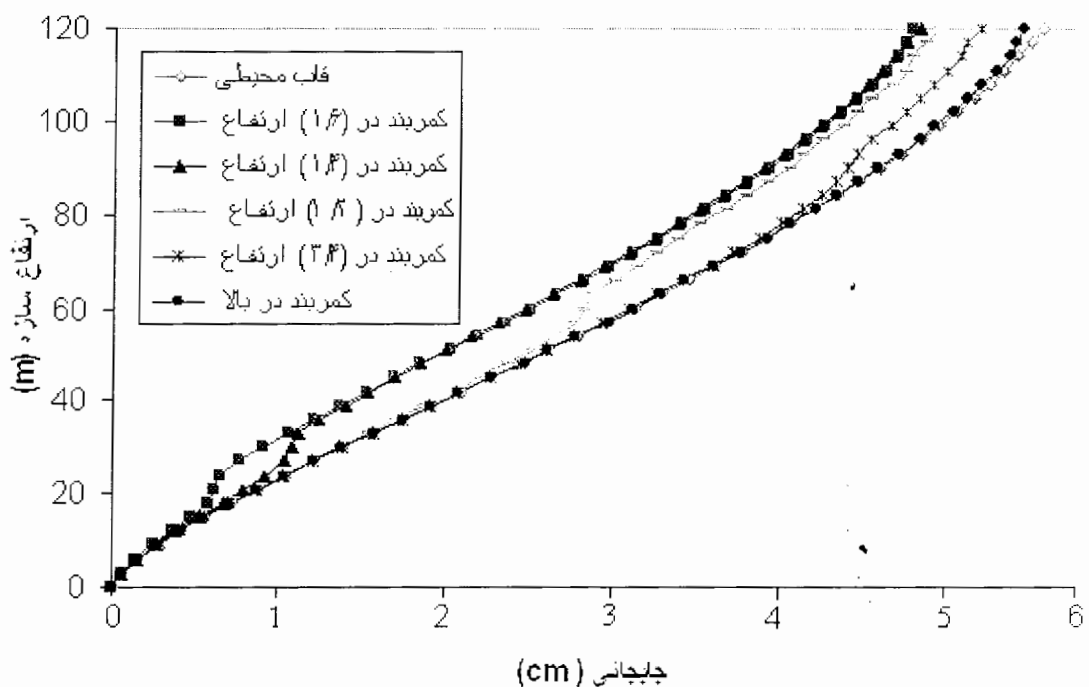


شکل-۵ ۲۰-۵ توزیع تنش در جان سیستم ترکیبی قاب محیطی، هسته مرکزی و کمربند خرپائی تحت بار گستردۀ یکنواخت ($B.L.=\frac{3H}{4}$)

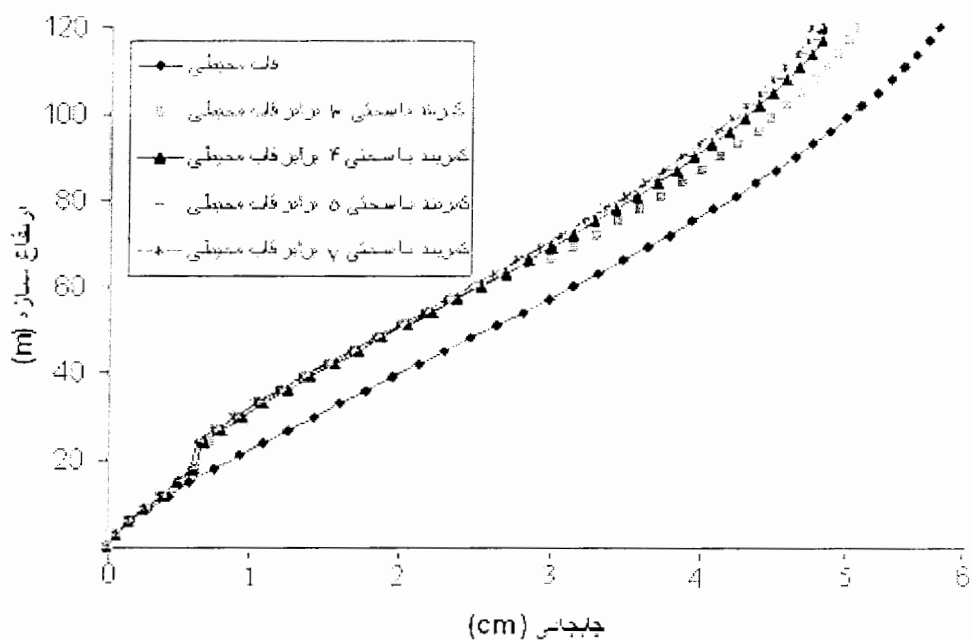
۴-۵- سازه چهل طبقه

در این بخش سازه ترکیبی چهل طبقه تحت بارهای گستردہ مثلثی، گستردہ یکنواخت و مت مرکز در تراز فوقانی آنالیز شده است. اشکال (۲۱-۵) تا (۲۸-۵) نتایج آنالیز سازه، تحت بار گستردہ مثلثی را نشان می دهند. در شکل (۲۱-۵) تغییر مکان این سازه به ازای موقعیتهای مختلف کمربند نشان داده شده است. در این وضعیت سختی کمربند در موقعیتهای مختلف ثابت، و $\frac{5}{6}$ برابر سختی معادل دو طبقه از قاب محیطی و هسته مرکزی در نظر گرفته شده است. با توجه به این نمودار بهترین موقعیت کمربند خرپائی جهت حصول حداقل کاهش در تغییر مکان تراز فوقانی، محدوده $\frac{1}{6}$ ارتفاع از پای سازه می باشد. در اشکال (۲۶-۵) تا (۳۱-۵) نمودارهای جابجائی به ازای سختیهای مختلف کمربند ارائه شده اند. در این نمودارها با ثابت در نظر گرفتن موقعیت کمربند، سختی آن تغییر پیدا کرده تا تاثیر افزایش سختی بر کاهش جابجائی بررسی گردد. همانطور که مشاهده می شود افزایش سختی جانبی کمربند تا ۳ الی ۷ برابر سختی جانبی دو طبقه از سازه قاب محیطی و هسته مرکزی باعث کاهش جابجائی شده لیکن افزایش بیشتر سختی در کاهش جابجائی مؤثر نیست. در اشکال (۲۵-۵) و (۲۶-۵) به ترتیب نمودارهای توزیع تنش محوری در قابهای بال و جان در پای سازه به ازای موقعیتهای مختلف کمربند نشان داده شده است. مشاهده می شود که با پائین آمدن کمربند لنگی برش در پای سازه کاهش چشمگیری می یابد. ولی نمودار توزیع تنش در قاب جان بیانگر تاثیر ناچیز کمربند در کاهش لنگی برش این قاب است. نمودارهای (۵-۲۶) تا (۵-۲۸) نشان دهنده تاثیر افزایش سختی کمربند در زمان ثابت بودن موقعیت آن بر کاهش لنگی برش قابهای بال و جان می باشد. با توجه به اشکال، تغییر سختی در کاهش لنگی برش از اهمیت چندانی برخوردار نیست، بلکه کاهش لنگی برش بطور عمده به موقعیت کمربند بستگی دارد. با توجه به این اشکال بهترین موقعیت کمربند جهت ایجاد حداقل یکنواختی در توزیع تنش محوری قاب بال محدوده $\frac{1}{6}$ ارتفاع از پای سازه است. حال آنکه در قاب جان کمربند در محدوده $\frac{1}{4}$ ارتفاع بهترین توزیع تنش را بدست می دهد. همانطور که بیان شد افزایش سختی در یکنواختی توزیع تنش مفید

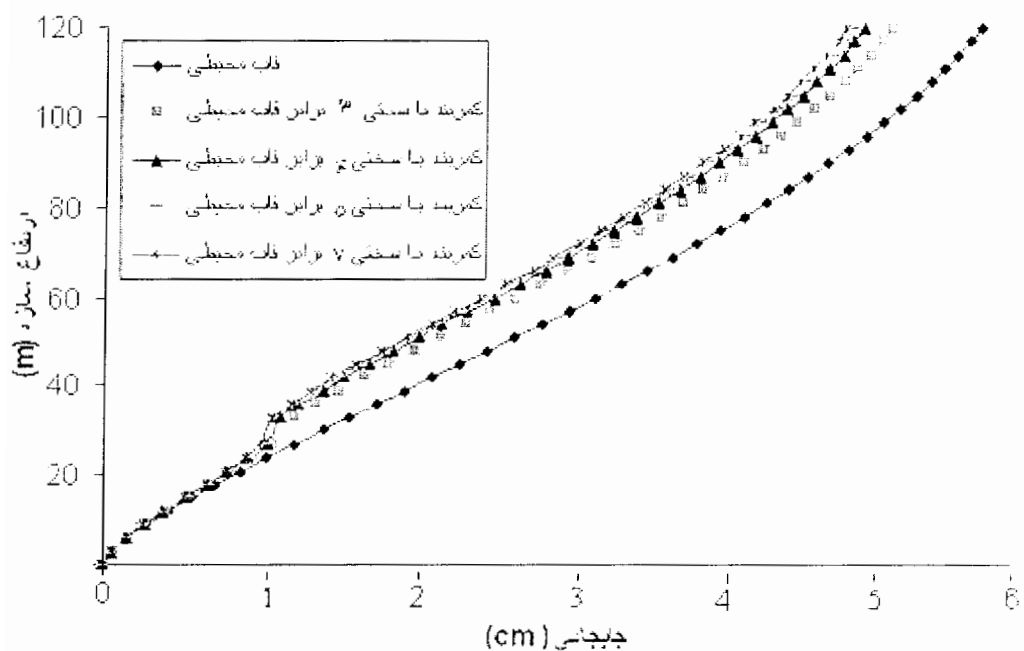
نمی باشد. در اشکال (۳۰-۵) تا (۳۲-۵) و (۴۰-۴) به ترتیب نتایج آنالیز اجزای محدود سازه چهل طبقه تحت بار گستردہ یکنواخت بر سازه بدست آمده است.



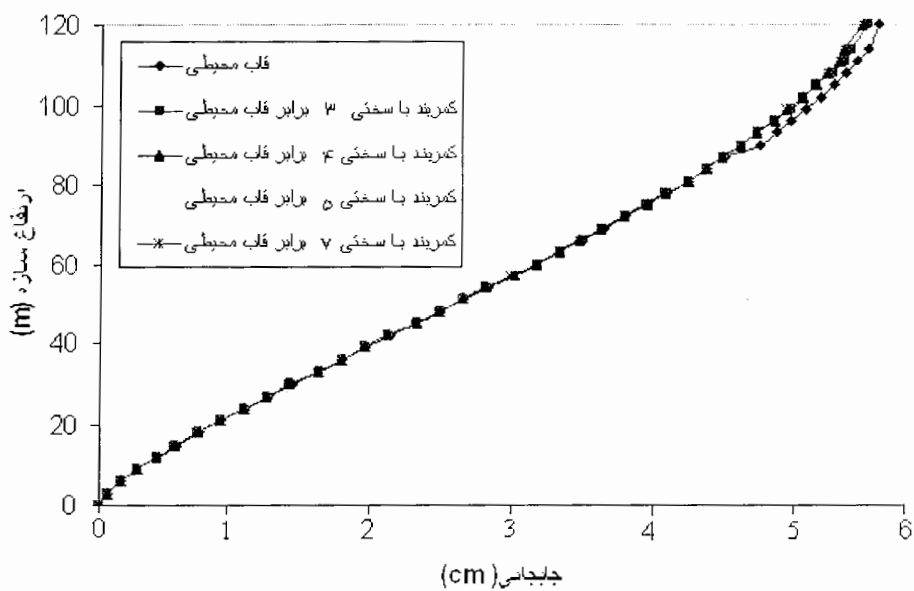
شکل ۲۱-۵ جابجایی سیستم ترکیبی قاب محیطی، هسته مرکزی و کمریند خرپائی تحت بار گستردہ مثلثی
($B.S.=5*F.S.$)



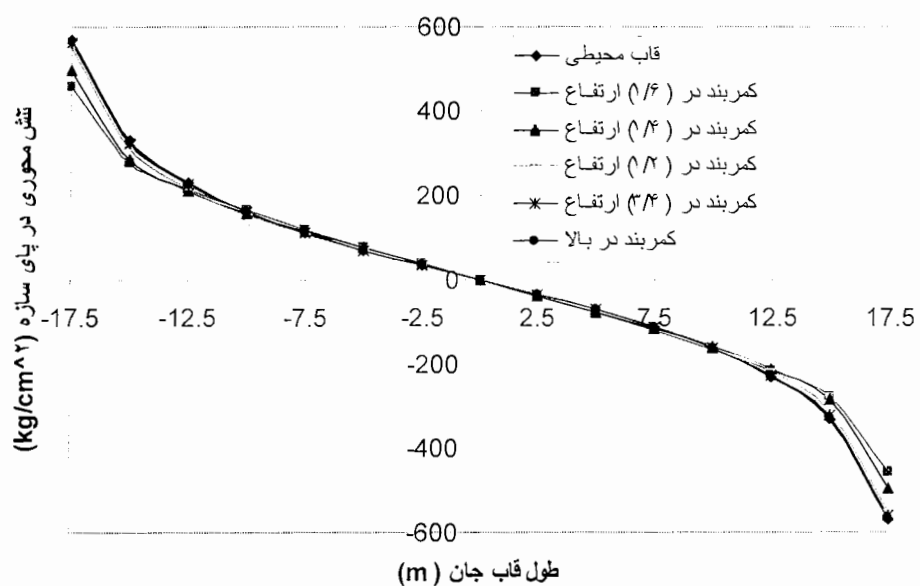
شکل ۲۲-۵ - جابجایی سیستم ترکیبی قاب محيطي، هسته مرکزی و کمرنده خرپائی تحت بار گسترده مثلثی
($B.L.=H/6$)



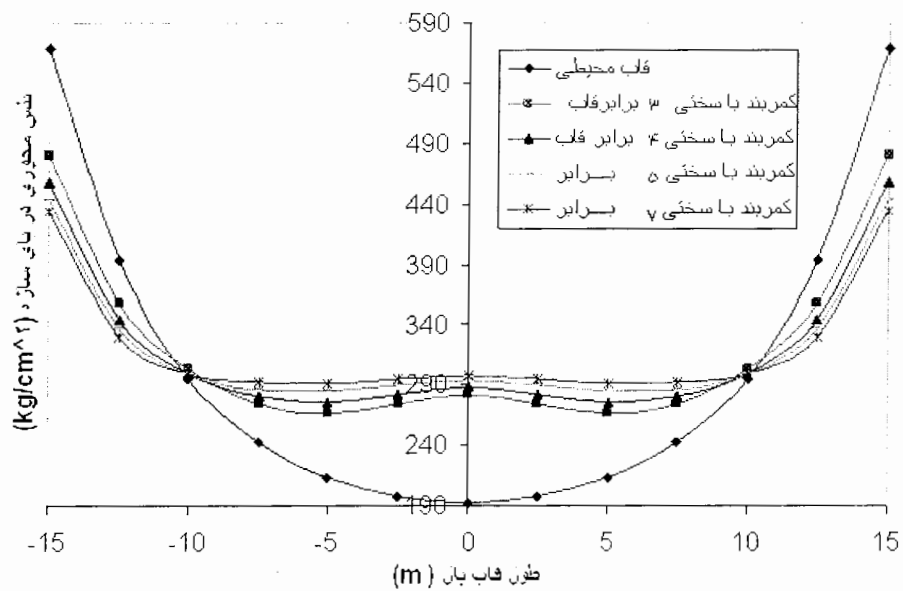
شکل ۲۳-۵ - جابجایی سیستم ترکیبی قاب محيطي، هسته مرکزی و کمرنده خرپائی تحت بار گسترده مثلثی
($B.L.=H/4$)



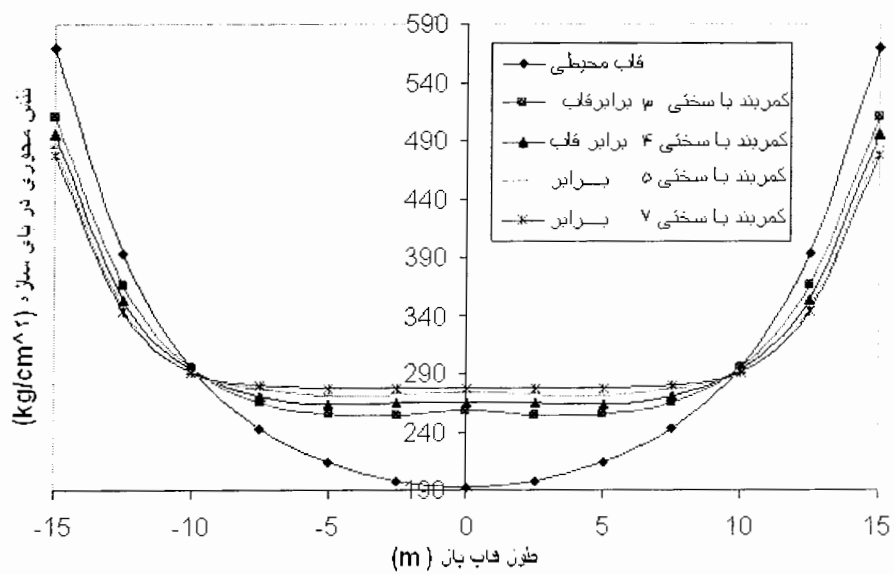
شکل ۲۴-۵- جابجایی سیستم ترکیبی قاب محیطی، هسته مرکزی و کمربند خربائی تحت بار گسترده مثلثی (B.L.=H)



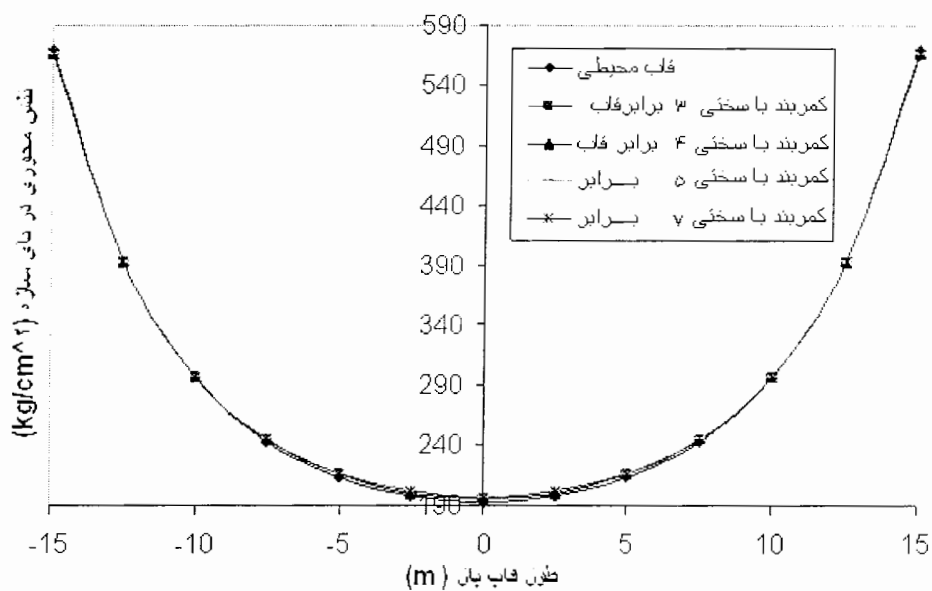
شکل ۲۵-۵- توزیع تنش در جان سیستم ترکیبی قاب محیطی، هسته مرکزی و کمربند خربائی تحت بار گسترده مثلثی (B.S.=5*F.S.)



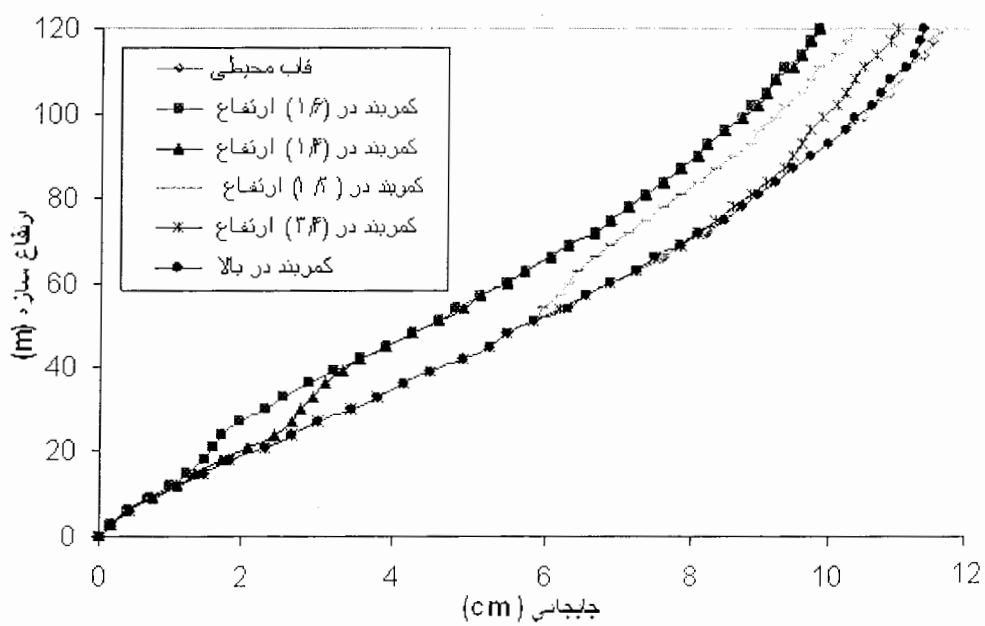
شکل ۲۶-۵- توزیع تنش در بال سیستم ترکیبی قاب محیطی، هسته مرکزی و کمربند خرپائی تحت بار گسترده مثلثی
(B.L.=H/6)



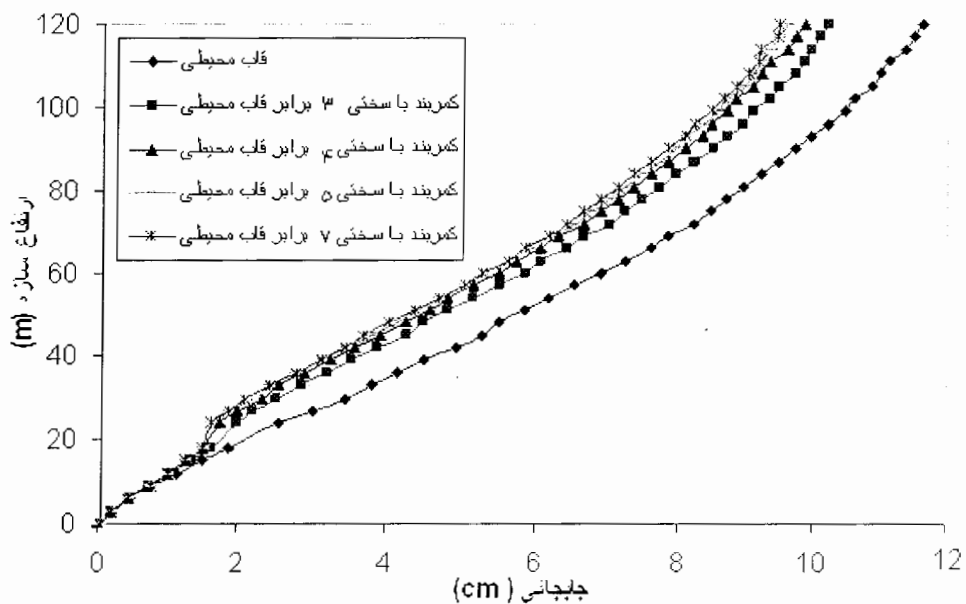
شکل ۲۷-۵- توزیع تنش در بال سیستم ترکیبی قاب محیطی، هسته مرکزی و کمربند خرپائی تحت بار گسترده مثلثی (B.L.=H/4)



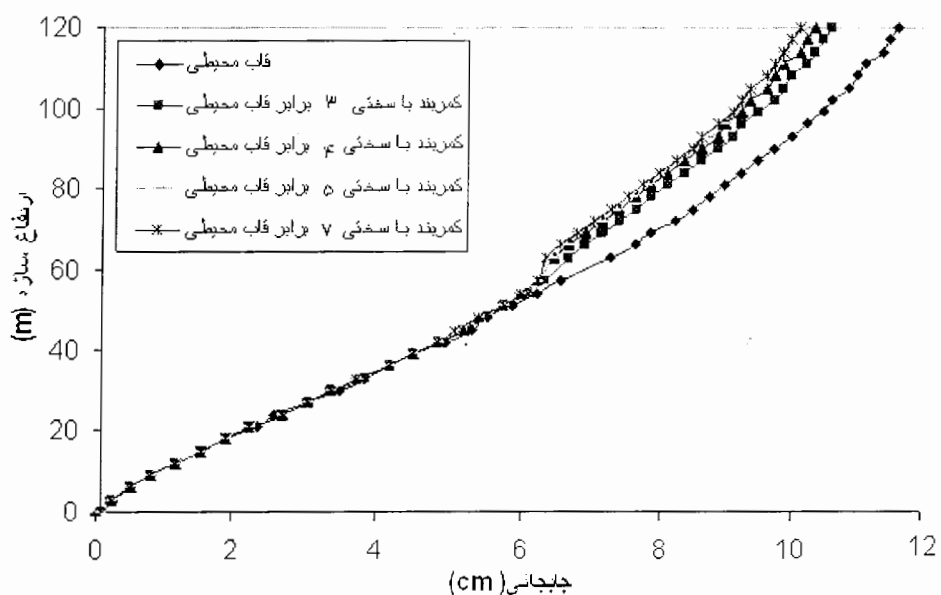
شکل ۵-۲۸-۵- توزیع تنش در بال سیستم ترکیبی قاب محيطي، هسته مرکزی و کمربند خرپائی تحت بار گسترده مثلثی (B.L.=H)



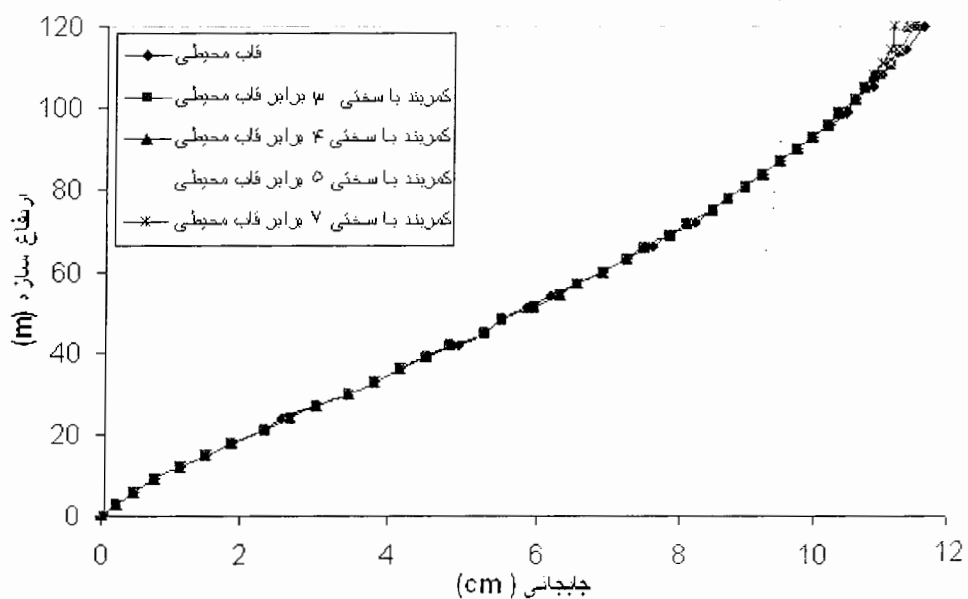
شکل ۵-۲۹-۵- جابجائي سیستم ترکیبی قاب محيطي، هسته مرکزی و کمربند خرپائی تحت بار گسترده یکنواخت (B.S.=5*F.S.)



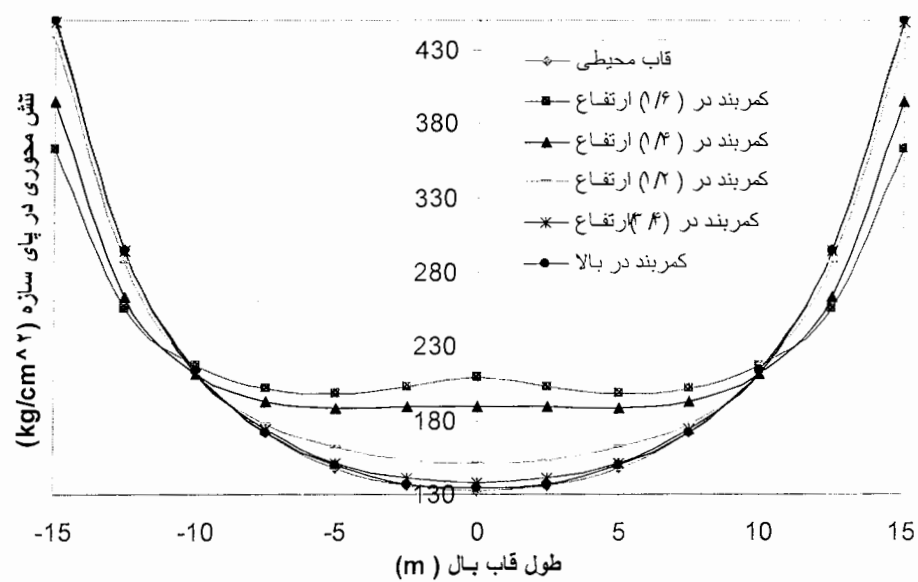
شکل ۳۰-۵- جابجایی سیستم ترکیبی قاب محیطی، هسته مرکزی و کمربند خرپائی تحت بار گسترده یکنواخت
(B.L.=H/6)



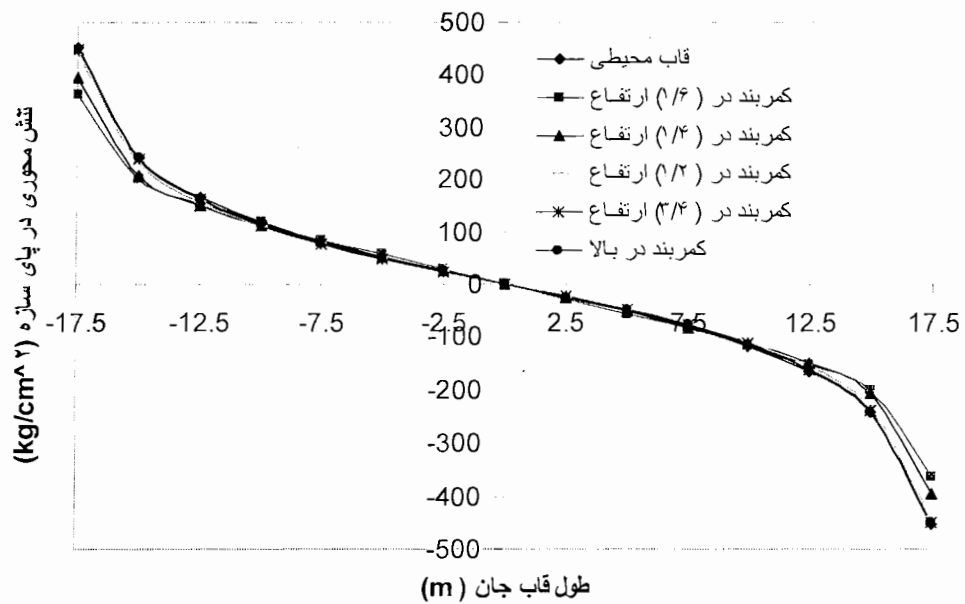
شکل ۳۱-۵- جابجایی سیستم ترکیبی قاب محیطی، هسته مرکزی و کمربند خرپائی تحت بار گسترده یکنواخت
(B.L.=H/2)



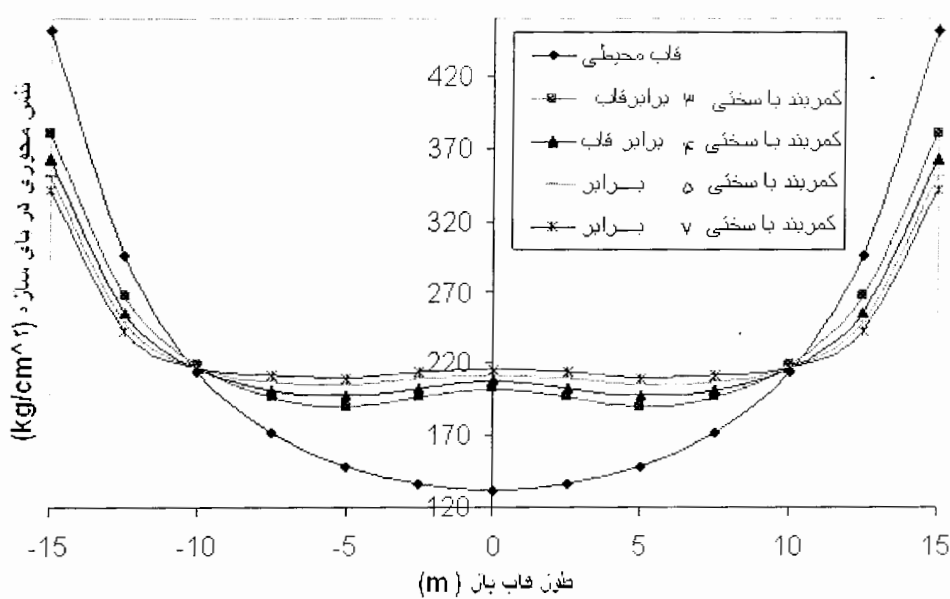
شکل ۳۲-۵- جابجایی سیستم ترکیبی قاب محیطی، هسته مرکزی و کمربند خربائی تحت بار گسترده یکنواخت
(B.L.=H)



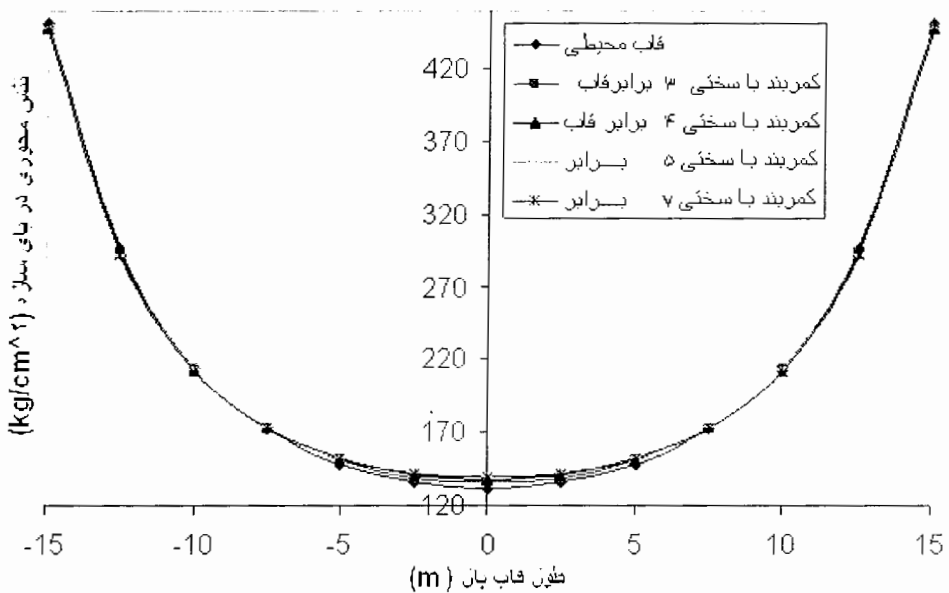
شکل ۳۳-۵- توزیع تنش در بال سیستم ترکیبی قاب محیطی، هسته مرکزی و کمربند خربائی تحت بار گسترده یکنواخت (B.S.=δ*F.S.)



شکل ۳۴-۵- توزیع تنش در جان سیستم ترکیبی قاب محیطی، هسته مرکزی و کمریند خرپائی تحت بار گسترده
(B.S.=5*F.S.) یکنواخت



شکل ۳۵-۵- توزیع تنش در بال سیستم ترکیبی قاب محیطی، هسته مرکزی و کمریند خرپائی تحت بار گسترده یکنواخت
(B.L.=H/6)

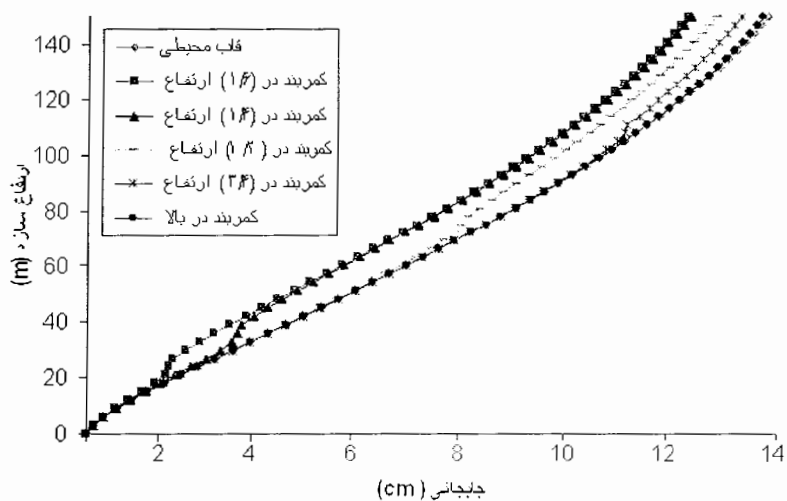


شکل ۳۶-۵- توزیع تنش در بال سیستم ترکیبی قاب محیطی، هسته مرکزی و کمربند خرپائی تحت بار گسترده یکنواخت (B.L.= $\frac{3H}{4}$)

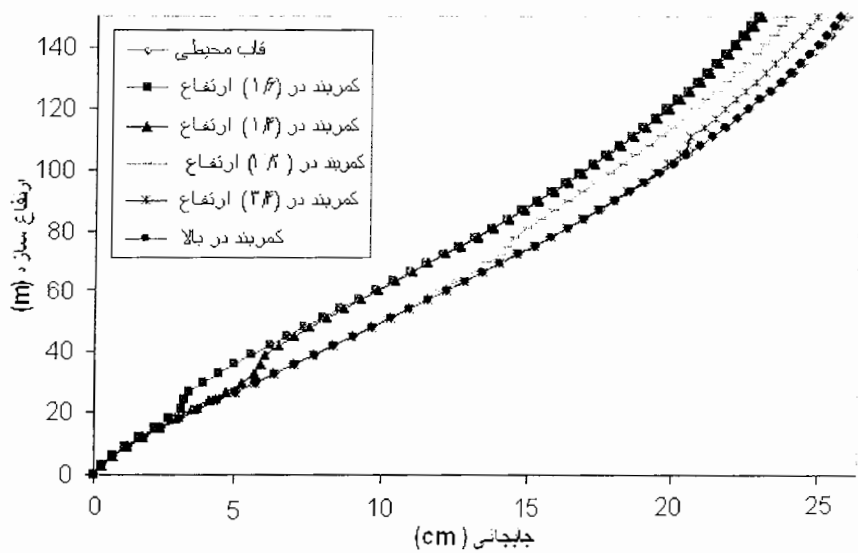
۴-۵- سازه‌های پنجاه و شصت طبقه

در این بخش سازه‌های ترکیبی پنجاه و شصت طبقه تحت بار مثلثی و بار گسترده یکنواخت آنالیز شده‌اند. اشکال (۳۷-۵) و (۴۱-۵) به ترتیب تغییر مکان سازه‌های پنجاه و شصت طبقه را به ازای موقعیت‌های مختلف کمربند نشان داده‌اند. در این وضعیت سختی کمربند ثابت و ۵ برابر سختی معادل دو طبقه از قاب محیطی و هسته مرکزی در نظر گرفته شده است. در این نمودارها کاملاً واضح است که بهترین موقعیت کمربند که باعث ایجاد حداکثر سختی شده و بیشترین کاهش تغییر مکان جانبی را به دنبال دارد، محدوده تراز یک ششم ارتفاع از پای سازه می‌باشد. اشکال (۳۸-۵) تا (۴۰-۵) و شکل (۳۹-۵) به ترتیب تاثیر تغییر سختی کمربند در حین ثابت بودن موقعیت آن بر کاهش جابجایی را در سازه‌های پنجاه و شصت طبقه نشان می‌دهد. همانطور که مشاهده می‌شود افزایش سختی کمربند نسبت به موقعیت آن تاثیر بسیار کمتری را در کاهش جابجایی دارد. بنابراین بهترین سختی جانبی کمربند ۳ الی ۷ برابر سختی جانبی دو طبقه از قاب محیطی و هسته مرکزی در نظر گرفته می‌شود. نمودارهای

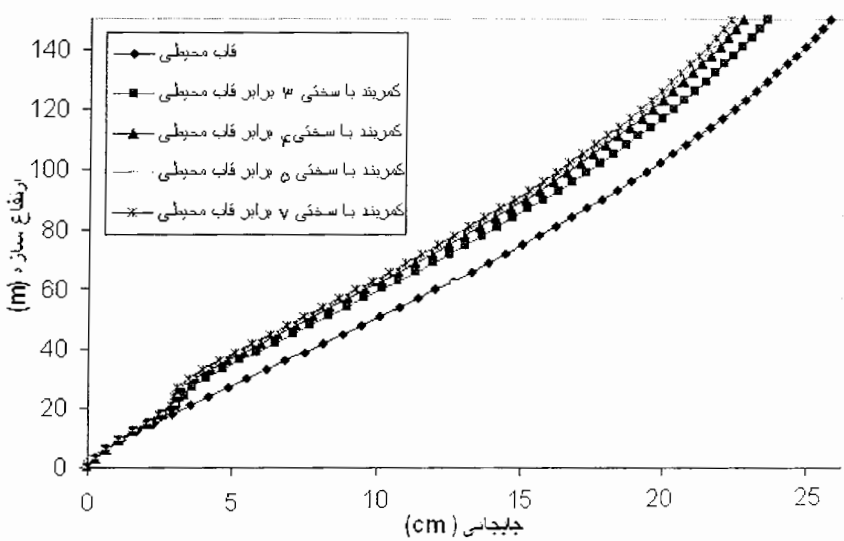
توزیع تنش محوری در پای سازه به ازای موقعیتهای مختلف کمربند خرپایی در سازه های ۵۰ و ۶۰ طبقه به ترتیب در اشکال (۴۴-۵) تا (۴۷-۵) و (۴۸-۵) تا (۴۹-۵) ارائه شده‌اند. مشاهده می‌شود که بیشترین کاهش لنگی برش که افزایش صلبیت خمشی را در پی دارد به ازای موقعیت کمربند در یک ششم حاصل می‌شود. ولی تاثیر کمربند در کاهش لنگی برش قاب جان ناچیز است، همچنین افزایش سختی کمربند خرپائی در کاهش لنگی برش نیز به اندازه موقعیت آن مؤثر نیست. با توجه به اشکال بهترین موقعیت کمربند جهت ایجاد حداکثر یکنواختی در توزیع تنش محوری قاب بال محدوده $\frac{1}{6}$ ارتفاع از پای سازه است. حال آنکه در قاب جان کمربند در محدوده $\frac{1}{4}$ ارتفاع بهترین توزیع تنش را بدست می‌دهد. همانطور که مشاهده می‌شود تغییر سختی در یکنواختی توزیع تنش مفید نمی‌باشد. بنابراین بهترین سختی جانبی کمربند ۳ الی ۷ برابر سختی جانبی دو طبقه از قاب محیطی و هسته مرکزی توصیه می‌شود.



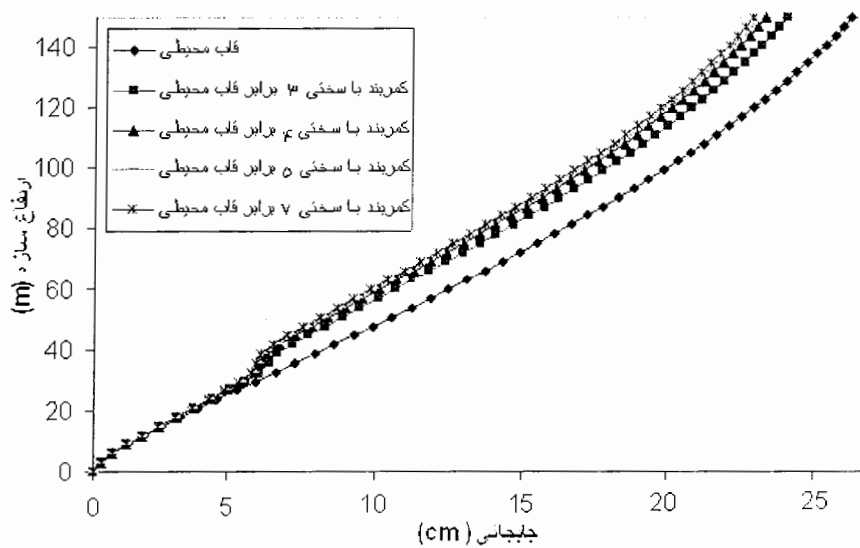
شکل ۳۷-۵- جابجایی سیستم ترکیبی قاب محیطی، هسته مرکزی و کمربند خرپائی تحت بار گسترده مثلثی
(B.S.=۵*F.S.)



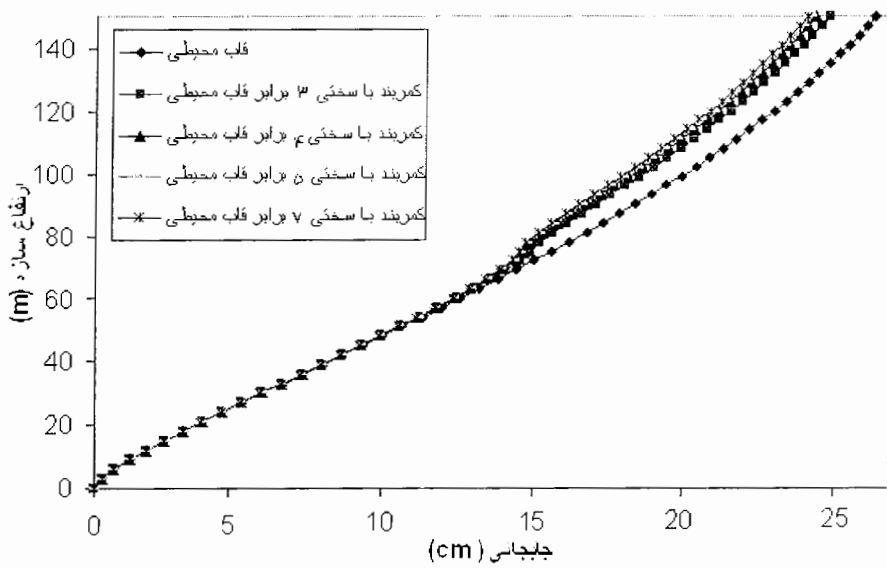
شکل ۳۸-۵- جابجایی سیستم ترکیبی قاب محیطی، هسته مرکزی و کمریند خربائی تحت بار گسترده یکنواخت
(B.S.=5*F.S.)



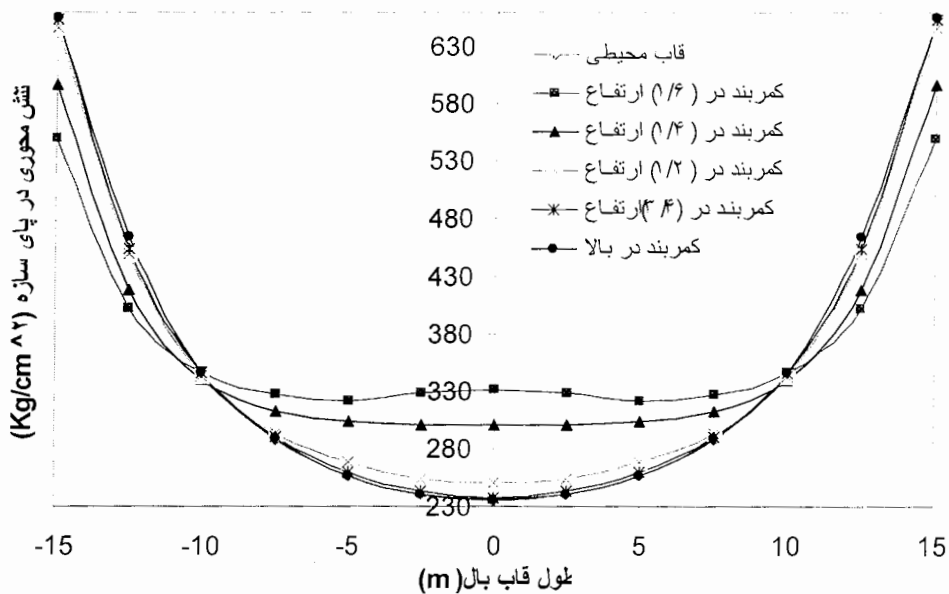
شکل ۳۹-۵- جابجایی سیستم ترکیبی قاب محیطی، هسته مرکزی و کمریند خربائی تحت بار گسترده یکنواخت
(B.L.=H/6)



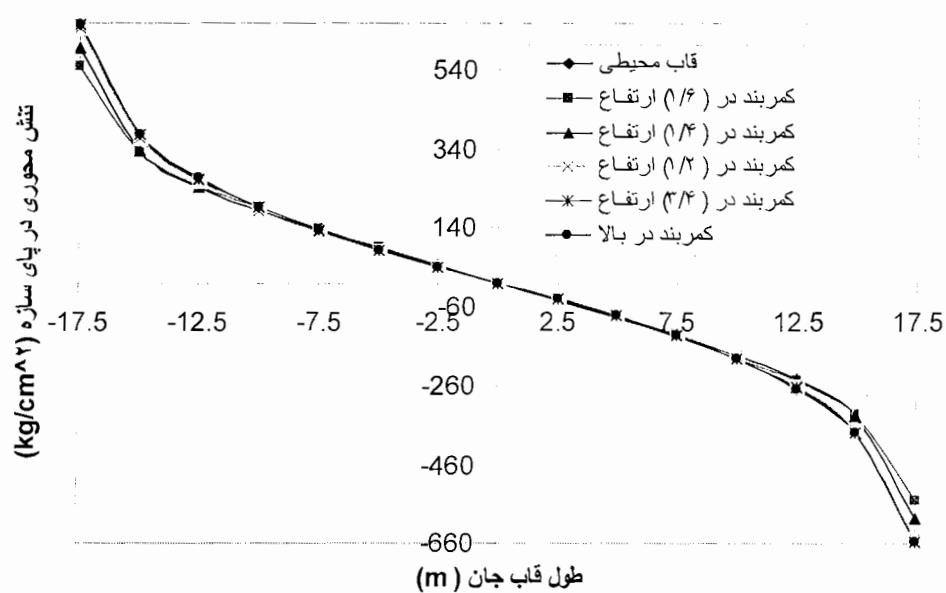
شکل ۵-۴۰- جابجایی سیستم ترکیبی قاب محيطي، هسته مرکزی و کمریند خرپائی تحت بار گسترده یکنواخت
(B.L.=H/4)



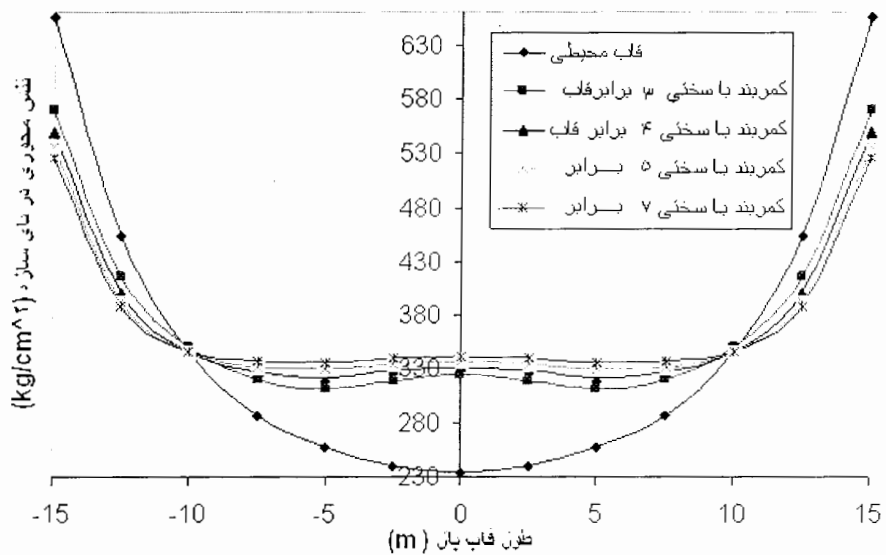
شکل ۵-۴۱- جابجایی سیستم ترکیبی قاب محيطي، هسته مرکزی و کمریند خرپائی تحت بار گسترده یکنواخت
(B.L.=H/2)



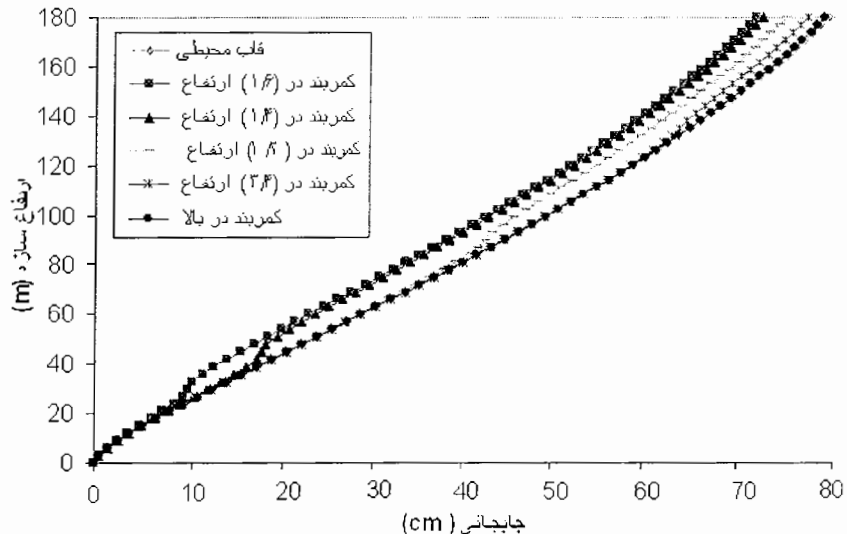
شکل ۵-۴۲- توزیع تنش در بال سیستم ترکیبی قاب محیطی، هسته مرکزی و کمربند خرپائی تحت بار گستردہ یکنواخت
 $(B.S.=5*F.S.)$



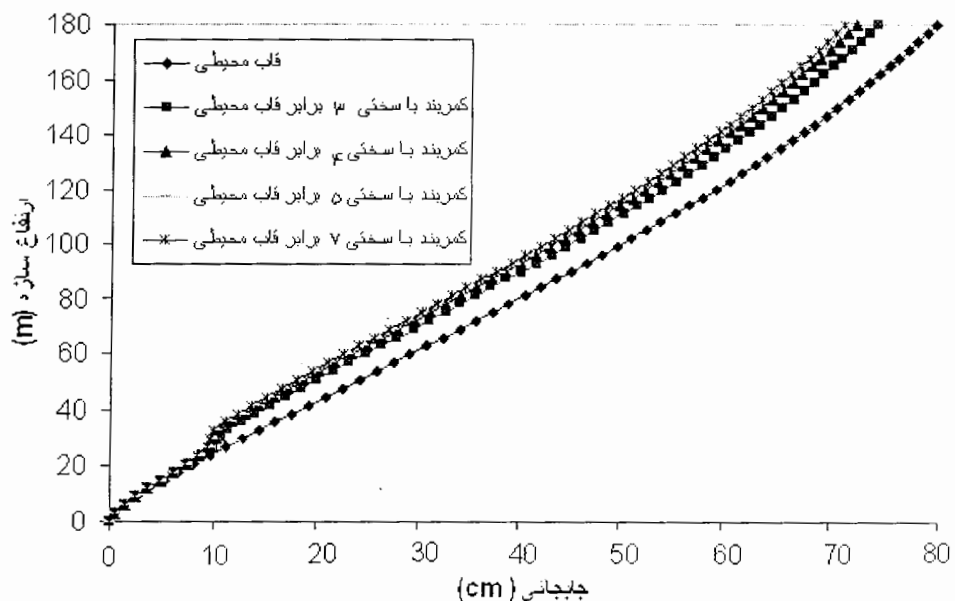
شکل ۵-۴۳- توزیع تنش در جانب سیستم ترکیبی قاب محیطی، هسته مرکزی و کمربند خرپائی تحت بار گستردہ یکنواخت
 $(B.S.=5*F.S.)$



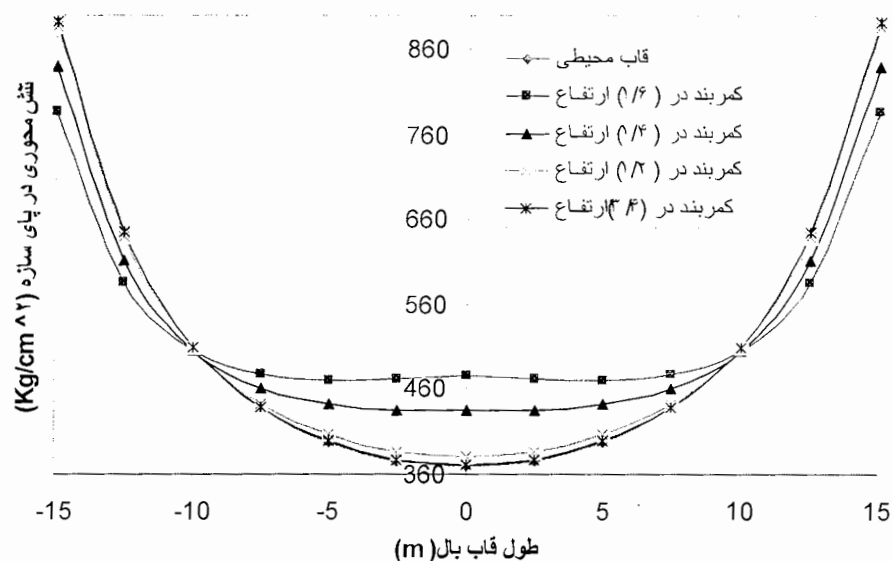
شکل ۴۴-۵- توزیع تنش در بال سیستم ترکیبی قاب محیطی، هسته مرکزی و کمریند خرپائی تحت بار گسترده یکنواخت (B.L.=H/6)



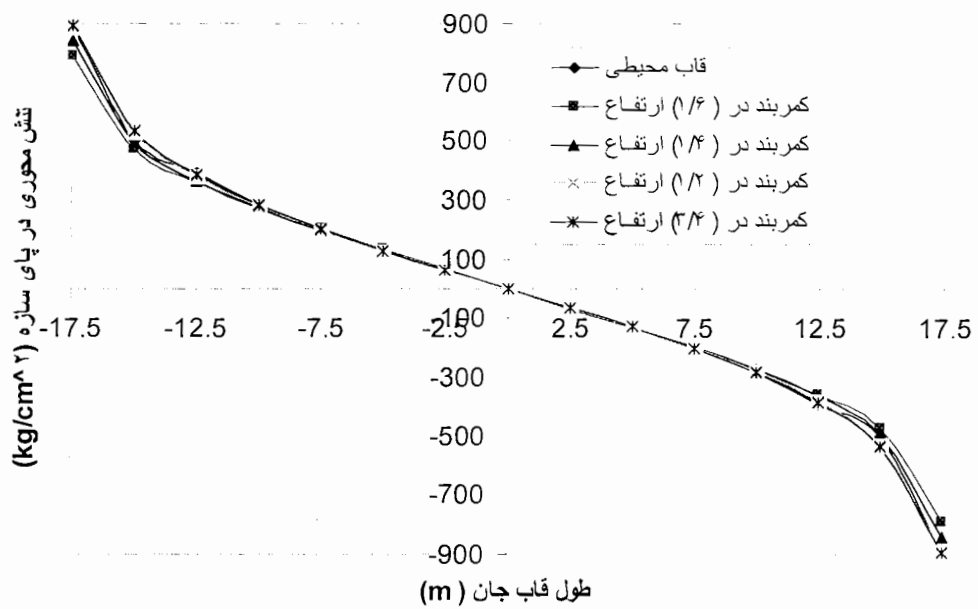
شکل ۴۵-۵- جابجایی سیستم ترکیبی قاب محیطی، هسته مرکزی و کمریند خرپائی تحت بار گسترده یکنواخت (B.S.=δ*F.S.)



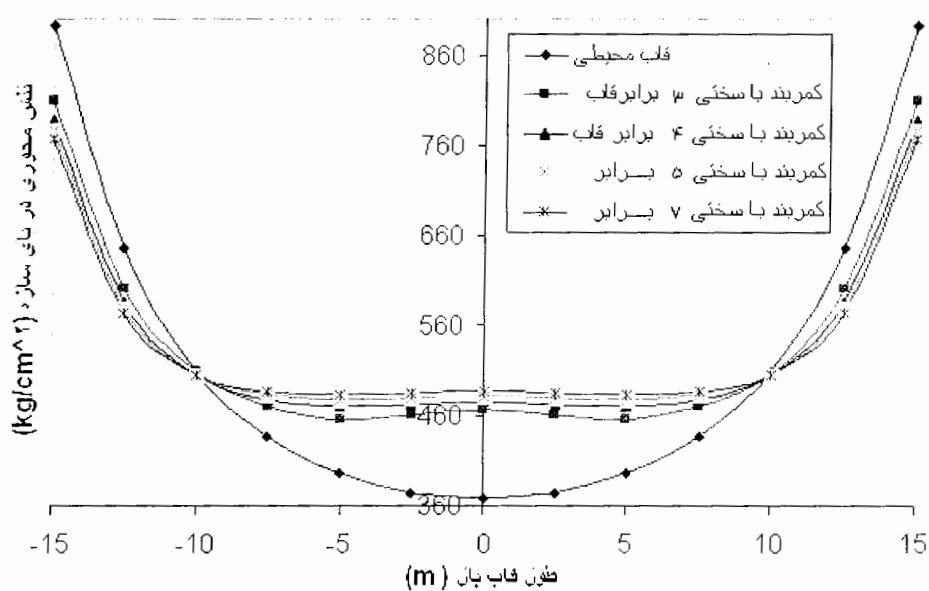
شکل ۴۶-۵- جابجایی سیستم ترکیبی قاب محيطي، هسته مرکزی و کمربند خربائی تحت بار گسترده یکنواخت
(B.L.=H/6)



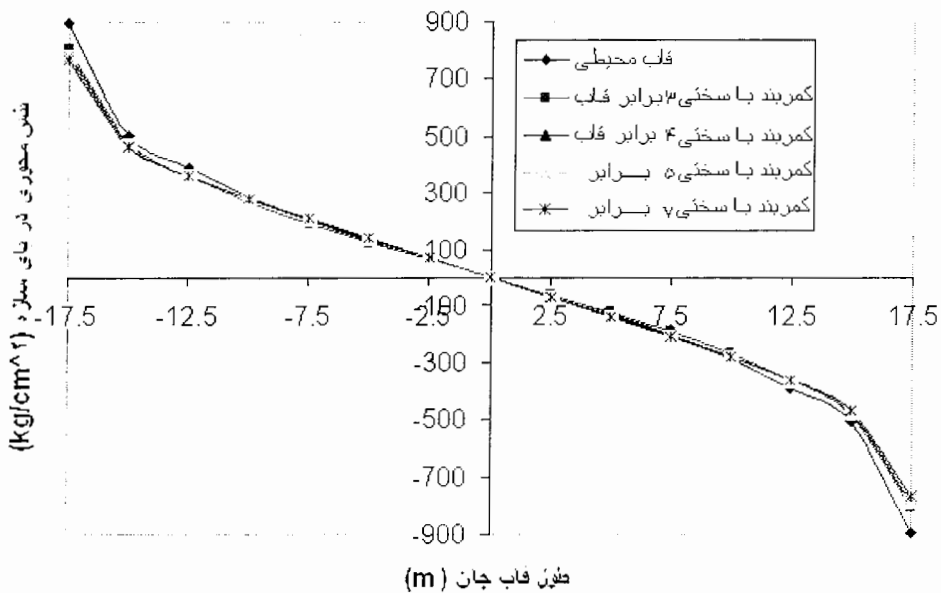
شکل ۴۷-۵- توزیع تنش در بال سیستم ترکیبی قاب محيطي، هسته مرکزی و کمربند خربائی تحت بار گسترده
یکنواخت (B.S.=5*F.S.)



شکل ۴۸-۵- توزیع تنش در جان سیستم ترکیبی قاب محیطی، هسته مرکزی و کمربند خربائی تحت بار گسترده
(B.S.= $5^*F.S.$)
یکنواخت



شکل ۴۹-۵- توزیع تنش در بال سیستم ترکیبی قاب محیطی، هسته مرکزی و کمربند خربائی تحت بار گسترده
(B.L.=H/6)
یکنواخت



شکل ۵-۵- توزیع تنش در جان سیستم ترکیبی قاب محيطی، هسته مرکزی و کمربند خربائی تحت بار گسترده یکنواخت (B.L.=H/6)

۵-۶- بررسی تأثیر کمربند و هسته مرکزی در کاهش جابجایی و لنگی برش

جدول ۳-۵- درصد کاهش جابجایی در سازه سی طبقه تحت بار گسترده یکنواخت و بار مثلثی

درصد کاهش جابجایی تراز فوکانی	جابجایی تراز فوکانی (cm)	سازه سی طبقه تحت بار مثلثی	درصد کاهش جابجایی تراز فوکانی	جابجایی تراز فوکانی (cm)	سازه سی طبقه تحت بار گسترده یکنواخت
	۵/۱	قاب محيطی		۶/۴۳	قاب محيطی
۲۵/۱	۳/۸۲	کمربند در $\frac{1}{6}$ سیستم ترکیبی	۱۸/۳	۵/۲۵	کمربند در $\frac{1}{6}$ سیستم ترکیبی
۲۶/۱	۳/۷۷	کمربند در $\frac{1}{4}$ سیستم ترکیبی	۱۹/۲	۵/۱۹	کمربند در $\frac{1}{4}$ سیستم ترکیبی
۲۲/۳۵	۳/۹۶	کمربند در $\frac{1}{2}$ سیستم ترکیبی	۱۳/۹۹	۵/۵۳	کمربند در $\frac{1}{2}$ سیستم ترکیبی

جدول ۴-۵- درصد کاهش جابجایی در سازه چهل طبقه تحت بار گسترده یکنواخت و بار مثلثی

درصد کاهش جابجایی تراز فوقانی	جابجایی تراز (cm)	سازه چهل طبقه تحت بار مثلثی	درصد کاهش جابجایی تراز فوقانی	جابجایی تراز (cm)	سازه چهل طبقه تحت بار گسترده یکنواخت
	۵/۸۰	قاب محیطی		۱۱/۸۰	قاب محیطی
۱۶/۸۹	۴/۸۲	کمربند در $\frac{1}{6}$ سیستم ترکیبی	۱۶/۸۶	۹/۸۱	کمربند در $\frac{1}{6}$ سیستم ترکیبی
۱۷/۷۵	۴/۷۷	کمربند در $\frac{1}{4}$ سیستم ترکیبی	۱۶/۱۰	۹/۹۰	کمربند در $\frac{1}{4}$ سیستم ترکیبی
۱۶/۲۰	۴/۸۶	کمربند در $\frac{1}{2}$ سیستم ترکیبی	۱۵/۰۸	۱۰/۰۲	کمربند در $\frac{1}{2}$ سیستم ترکیبی

جدول ۵-۵- درصد کاهش جابجایی در سازه پنجاه طبقه تحت بار گسترده یکنواخت

درصد کاهش جابجایی تراز فوقانی	جابجایی تراز (cm)	سازه پنجاه طبقه تحت بار مثلثی	درصد کاهش جابجایی تراز فوقانی	جابجایی تراز (cm)	سازه پنجاه طبقه تحت بار گسترده یکنواخت
	۱۳/۸۰	قاب محیطی		۲۵/۷۰	قاب محیطی
۱۲/۳۹	۱۲/۰۹	کمربند در $\frac{1}{6}$ سیستم ترکیبی	۱۰/۷۰	۲۲/۹۵	کمربند در $\frac{1}{6}$ سیستم ترکیبی
۱۲/۸۹	۱۲/۰۲	کمربند در $\frac{1}{4}$ سیستم ترکیبی	۱۰/۹۷	۲۲/۸۸	کمربند در $\frac{1}{4}$ سیستم ترکیبی
۶/۵۲	۱۲/۹۰	کمربند در $\frac{1}{2}$ سیستم ترکیبی	۷	۲۳/۹۰	کمربند در $\frac{1}{2}$ سیستم ترکیبی

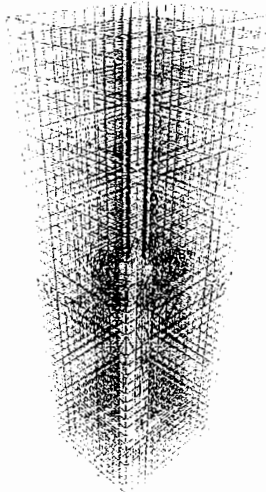
جدول ۵-۶- درصد کاهش جابجایی در سازه شصت طبقه تحت بار گستردۀ یکنواخت

درصد کاهش جابجایی تراز فوقانی	جابجایی تراز (cm) فوقانی	سازه شصت طبقه تحت بار مثلثی	درصد کاهش جابجایی تراز فوقانی	جابجایی تراز (cm) فوقانی	سازه شصت طبقه تحت بار گستردۀ یکنواخت
	۶۲	قاب محیطی		۸۰	قاب محیطی
۱۱/۲۹	۵۵	کمربند در $\frac{1}{6}$ سیستم ترکیبی	۱۱/۱۱	۷۲	کمربند در $\frac{1}{6}$ سیستم ترکیبی
۱۴/۵۱	۵۳	کمربند در $\frac{1}{4}$ سیستم ترکیبی	۱۳/۵۸	۷۰	کمربند در $\frac{1}{4}$ سیستم ترکیبی
۸/۰۶	۵۷	کمربند در $\frac{1}{2}$ سیستم ترکیبی	۸/۶۴	۷۴	کمربند در $\frac{1}{2}$ سیستم ترکیبی

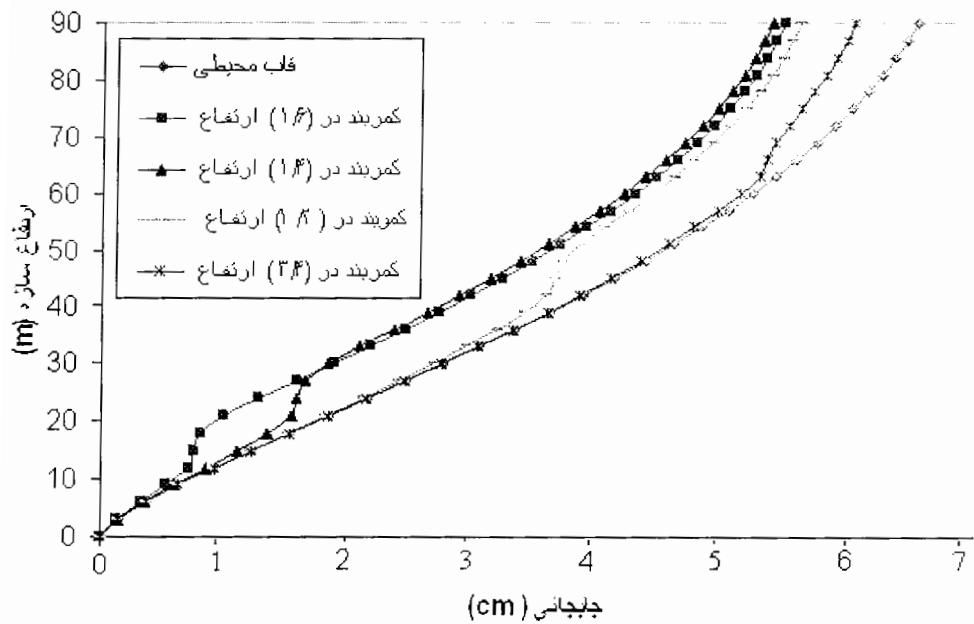
۷-۵- تاثیر بریدن هسته بشی در تراز فوقانی کمربند خرپائی بر توزیع تنش و

جابجایی

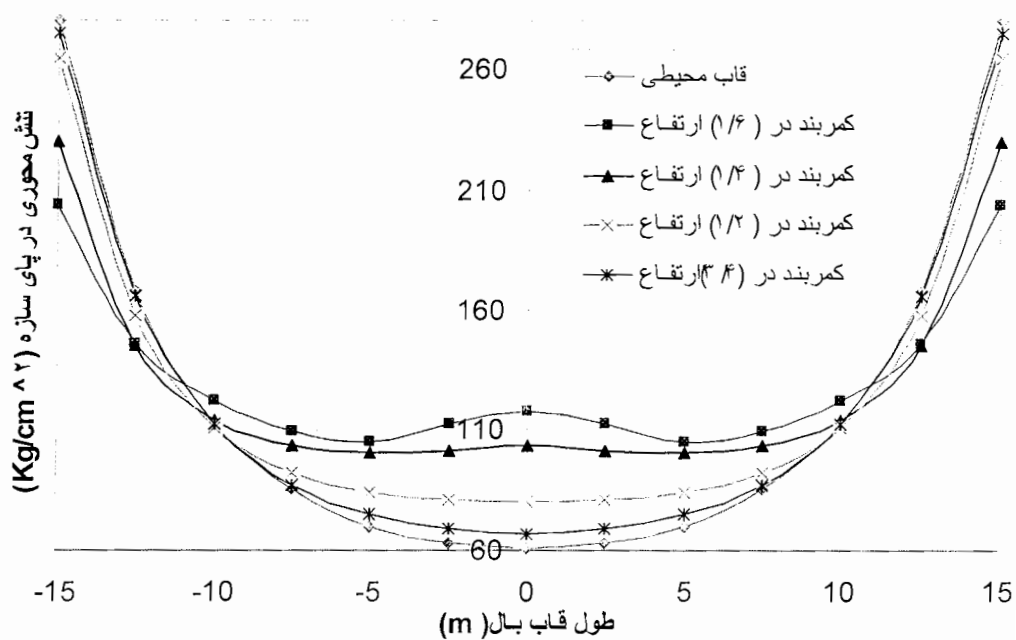
در این بخش سازه های ۳۰، ۴۰، ۵۰ و ۶۰ طبقه که هسته بشی آنها در تراز فوقانی کمربند خرپائی قطع شده است، مورد آنالیز واقع شده اند. نمودارهای حاصل از تحلیل سازه سی طبقه تحت بار گسترده یکنواخت نشان داده شده اند. دیاگرامهای جابجایی، توزیع تنش محوری در قابهای بال و جان در پای سازه به ازای موقعیتهای مختلف کمربند با سختی جانبی معادل پنج برابر سختی جانبی دو طبقه از سازه قاب محیطی و هسته مرکزی ارائه شده اند. این اشکال نشان دهنده نتایج آنالیز سازه های چهل طبقه تحت بار گسترده مثلثی و پنجاه و شصت طبقه تحت بار گسترده یکنواخت می باشند. با توجه به نتایج مندرج بدست آمده و مقایسه آنها با نتایج مشاهده می شود که بریدن هسته بشی در تراز فوقانی کمربند خرپائی تاثیر ناچیزی بر رفتار کمربند خرپائی دارد. بنابراین در صورت عدم نیاز به وجود هسته بشی می توان آن را در یک تراز بالاتر از کمربند خرپائی قطع کرد.



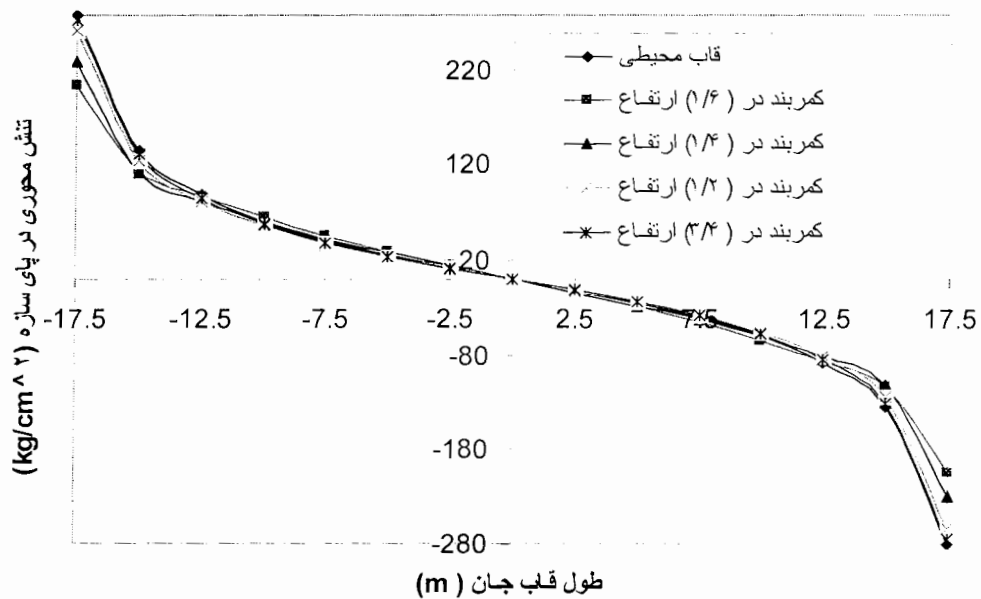
شکل ۵-۱۵- مدل شماتیک سازه چهل طبقه با هسته قطع شده



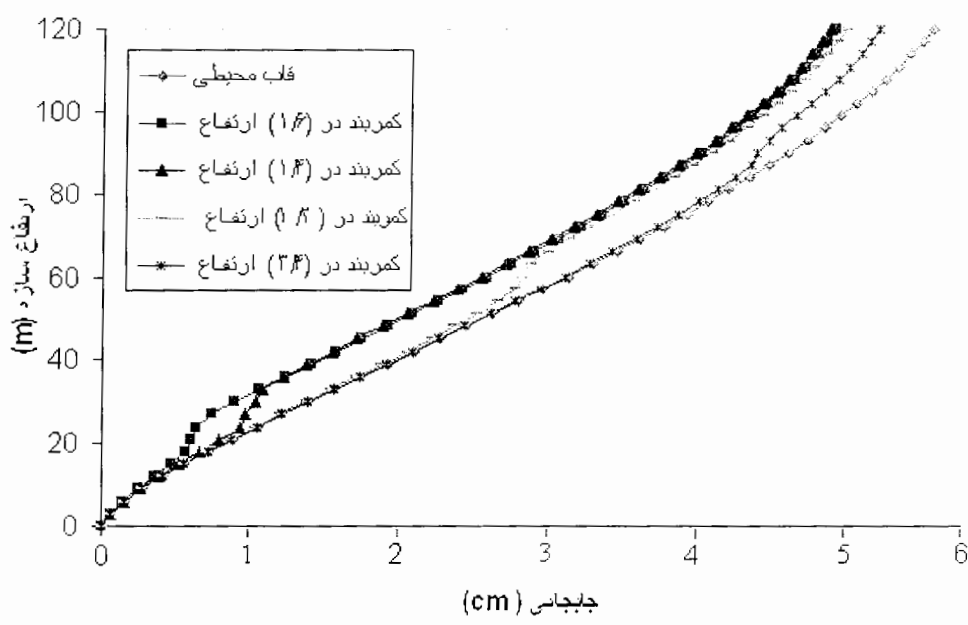
شکل ۵-۵۲. جابجایی سیستم ترکیبی سی طبقه تحت بار گسترده یکنواخت (B.S.= $\delta * F.S.$)



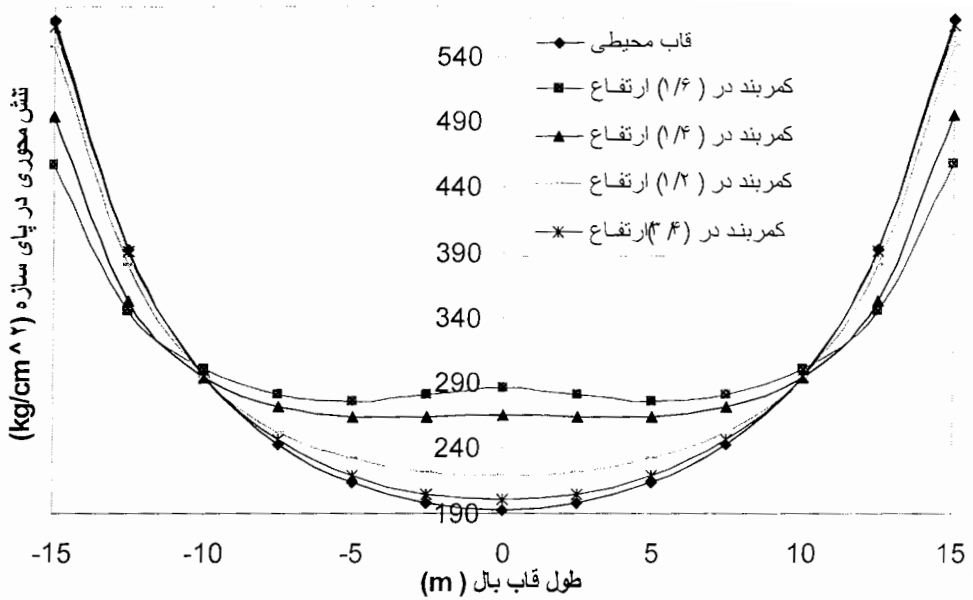
شکل ۵-۵۳. توزیع نشش در بال سیستم ترکیبی سی طبقه تحت بار گسترده یکنواخت (B.S.= $\delta * F.S.$)



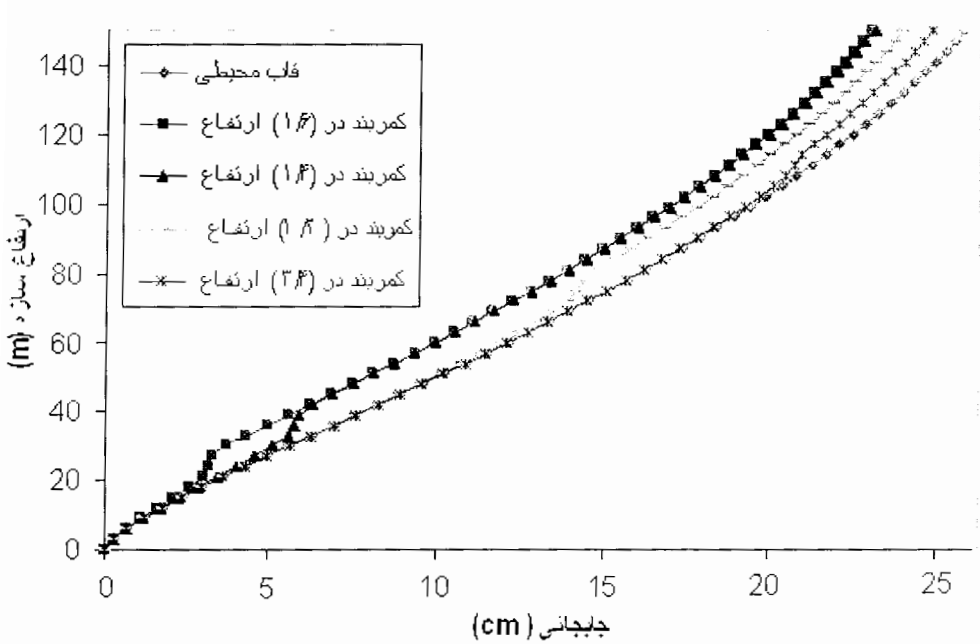
شکل ۵۴-۵. توزیع تنش در جان سیستم ترکیبی سی طبقه تحت بار گسترده یکنواخت (B.S.=5*F.S.)



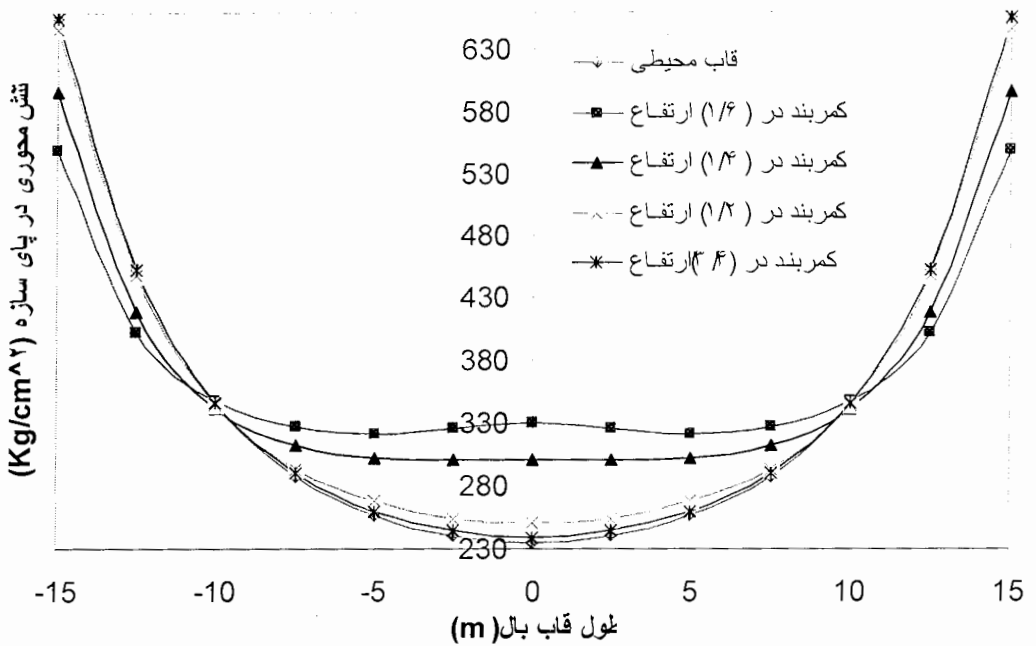
شکل ۵۵-۵. جابجایی سیستم ترکیبی چهل طبقه تحت بار گسترده مثلثی (B.S.=5*F.S.)



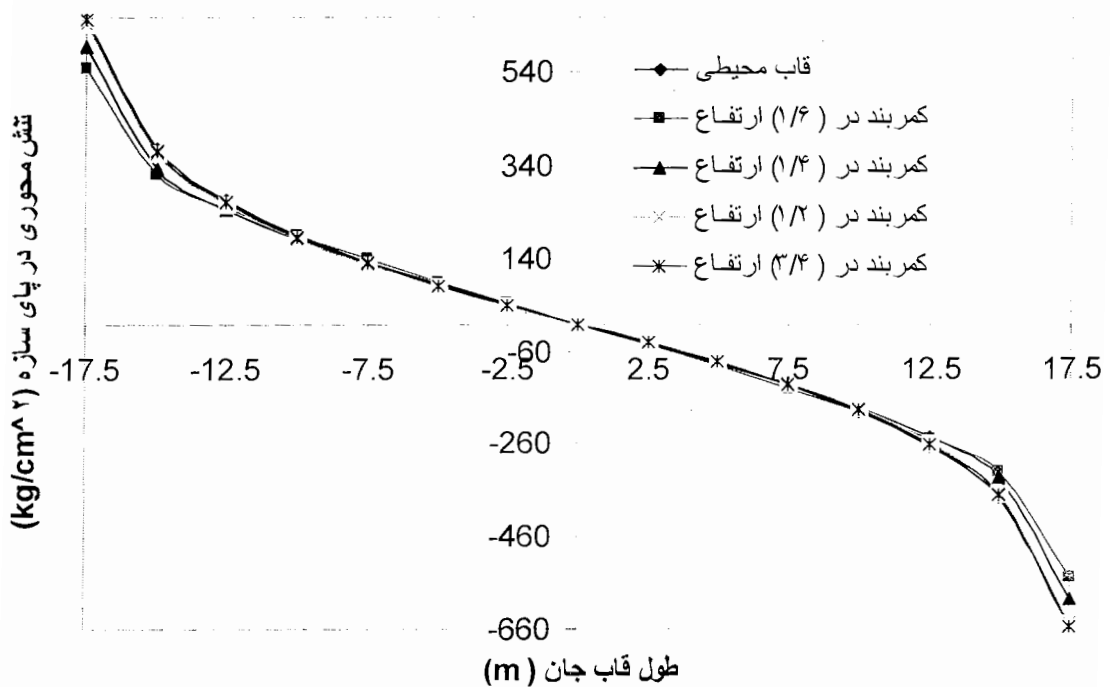
شکل ۵-۵۶- توزیع تنش در بال سیستم ترکیبی چهل طبقه تحت بار گسترده مثلثی (B.S.= $5 \times F.S.$)



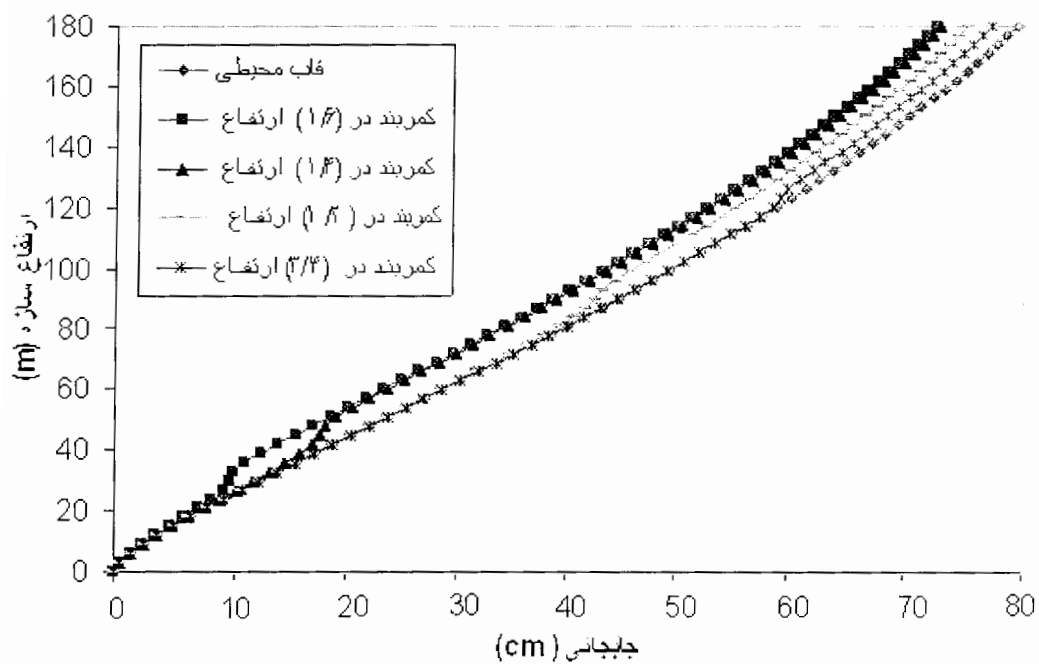
شکل ۵-۵۷- جابجایی سیستم ترکیبی پنجاه طبقه تحت بار گسترده یکنواخت (B.S.= $5 \times F.S.$)



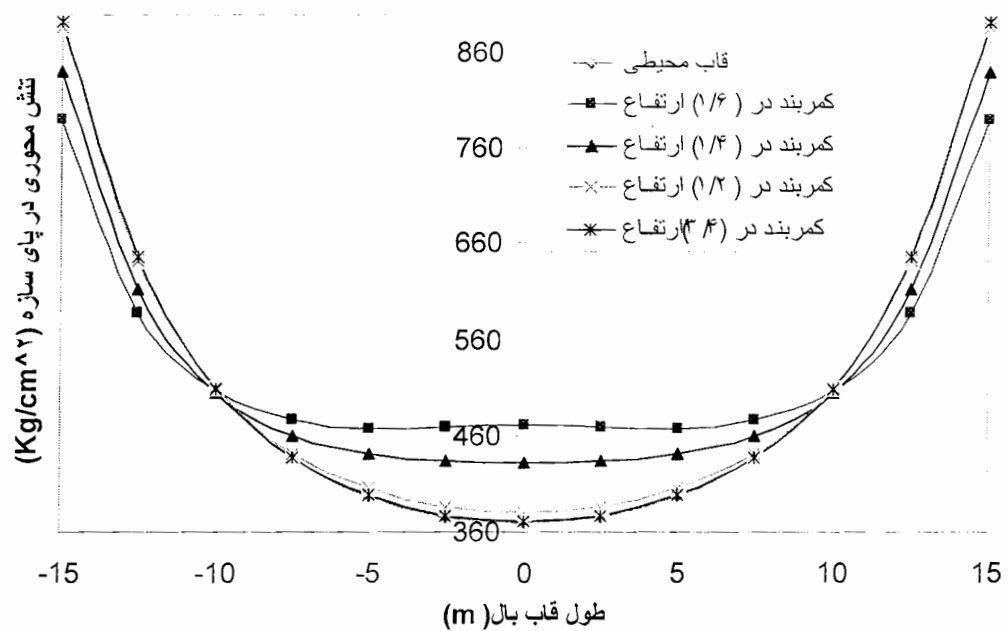
شکل ۵۸-۵- توزیع تنش در بال سیستم ترکیبی پنجاه طبقه تحت بار گسترده یکنواخت (B.S.=5*F.S.)



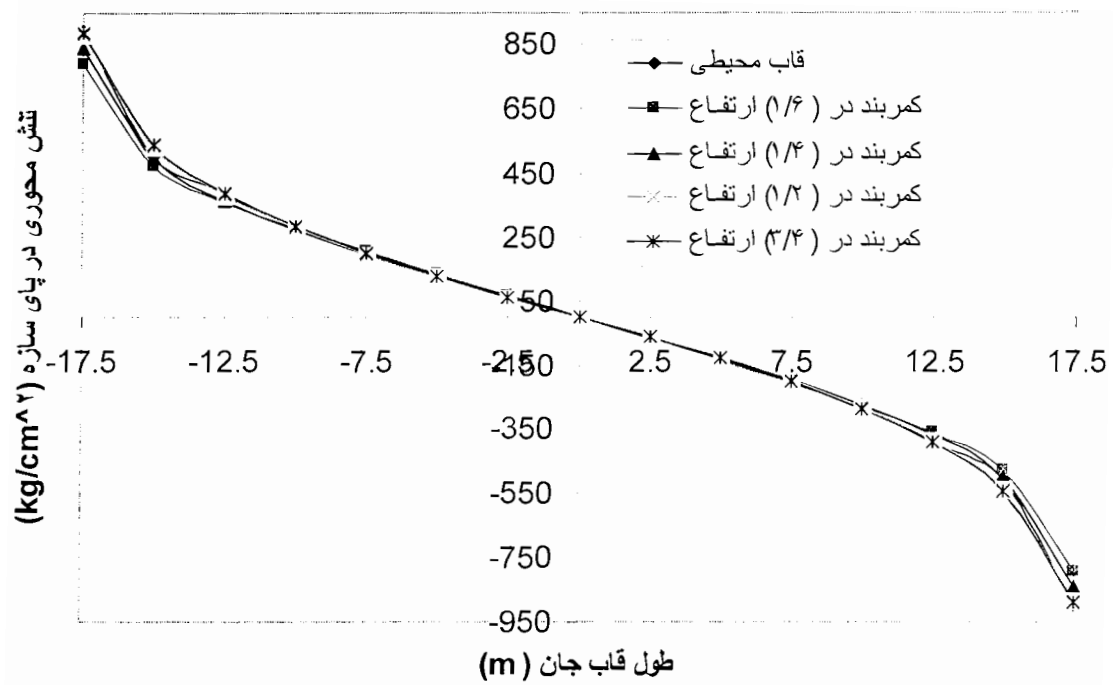
شکل ۵۹-۵- توزیع تنش در جان سیستم ترکیبی پنجاه طبقه تحت بار گسترده یکنواخت (B.S.=5*F.S.)



شکل ۵-۶. جابجایی سیستم ترکیبی شصت طبقه تحت بار گسترده یکنواخت (B.S.=5*F.S.)



شکل ۵-۷. توزیع تنش در بال سیستم ترکیبی شصت طبقه تحت بار گسترده یکنواخت (B.S.=5*F.S.)



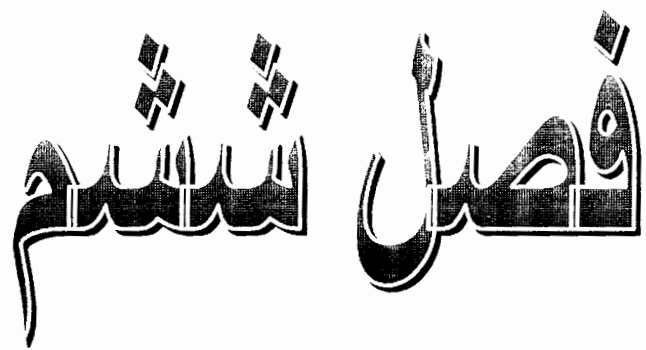
شکل ۵-۶۲- توزیع تنش در جان سیستم ترکیبی شصت طبقه تحت بار گسترده یکنواخت (B.S.=۵*F.S.)

جدول ۷-۵- درصد کاهش جابجایی در سازه سی و چهل طبقه تحت بار گسترده یکنواخت و متنشی

درصد کاهش جابجایی تراز فوقانی	جابجایی تراز فوقانی (cm)	سازه چهل طبقه تحت بار متنشی	درصد کاهش جابجایی تراز فوقانی	جابجایی تراز فوقانی (cm)	سازه سی طبقه تحت بار گسترده یکنواخت
	۵/۸۰	قاب محیطی		۶/۴۳	قاب محیطی
۱۶/۰۳	۴/۸۷	کمریند در $\frac{1}{6}$ سیستم ترکیبی	۱۷/۵۷	۵/۳۰	کمریند در $\frac{1}{6}$ سیستم ترکیبی
۱۶/۷۲	۴/۸۳	کمریند در $\frac{1}{4}$ سیستم ترکیبی	۱۸/۹۷	۵/۲۱	کمریند در $\frac{1}{4}$ سیستم ترکیبی
۱۳/۹۶	۴/۹۹	کمریند در $\frac{1}{2}$ سیستم ترکیبی	۱۳/۶۸	۵/۵۵	کمریند در $\frac{1}{2}$ سیستم ترکیبی

جدول ۷-۶- درصد کاهش جابجایی در سازه پنجاه و شصت طبقه تحت بار گسترده یکنواخت

درصد کاهش جابجایی تراز فوقانی	جابجایی تراز فوقانی (cm)	سازه شصت طبقه تحت بار گسترده یکنواخت	درصد کاهش جابجایی تراز فوقانی	جابجایی تراز فوقانی (cm)	سازه پنجاه طبقه تحت بار گسترده یکنواخت
	۶۲	قاب محیطی		۲۵/۷۰	قاب محیطی
۹/۶۷	۵۶	کمریند در $\frac{1}{6}$ سیستم ترکیبی	۱۰/۴۲	۲۳/۰۲	کمریند در $\frac{1}{6}$ سیستم ترکیبی
۱۲/۹۰	۵۴	کمریند در $\frac{1}{4}$ سیستم ترکیبی	۱۰/۹۳	۲۲/۸۹	کمریند در $\frac{1}{4}$ سیستم ترکیبی
۶/۴۵	۵۸	کمریند در $\frac{1}{2}$ سیستم ترکیبی	۶/۹۲	۲۳/۹۲	کمریند در $\frac{1}{2}$ سیستم ترکیبی



نتیجه گیری و پیشنهادات

- ۱-۶ نتیجه گیری ۱۱۳
۲-۶ پیشنهادات برای مطالعات آینده ۱۱۵

۱-۶ نتیجه گیری

- در این مجموعه سعی شده تا با انجام مطالعات پارامتریک بر روی سیستم ترکیبی قاب محیطی، هسته مرکزی و کمربند خرپائی، تاثیر این سیستم بر بهبود رفتار قاب محیطی بررسی گردد. با توجه به نتایج بدست آمده از نمودارهای ارائه شده نتایجی که در ادامه می‌آیند، قابل حصول‌اند:
- ۱- لنگی برش در سازه‌های کوتاه دارای شدت بیشتر و با اهمیت‌تر از سازه‌های بلند مرتبه تر است.
 - ۲- بهترین موقعیت کمربند خرپائی در محدوده تراز $\frac{1}{6}$ تا $\frac{1}{4}$ ارتفاع از پای سازه می‌باشد که باعث ایجاد حداقل کاهش در جابجائی تراز فوقانی می‌گردد و همچنین طبقات بیشتری از این کاهش جابجائی سود می‌برند.
 - ۳- یکنواخت‌ترین توزیع تنش محوری در تراز میانی سازه مربوط به موقعیت کمربند در محدوده $\frac{1}{6}$ تا $\frac{1}{4}$ ارتفاع از پای سازه است.
 - ۴- لنگی برش در قاب بال و در پای سازه به مقدار زیادی کاهش می‌یابد و چون لنگر اعمالی خارجی باید توسط کوپل داخلی ناشی از نیروهای کششی و فشاری در دو سمت مخالف محور خنثی ساختمان تحمل گردد، لنگر مقاوم و در نتیجه صلبیت خمشی سازه به مقدار قابل ملاحظه‌ای افزایش می‌یابد.
 - ۵- تاثیر کمربند خرپائی در کاهش جابجائی و لنگی برش با افزایش ارتفاع سازه کم می‌شود. در سازه‌های کوتاه همانند سازه سی طبقه که لنگی برش دارای شدت زیادی می‌باشد.
 - ۶- با توجه به اینکه کمربند خرپائی از تیرها و ستونهای قوى و مهاربندی در هر تراز ساخته می‌شود و کسب سختی برشی زیاد مستلزم هزینه است، بهترین و اقتصادی‌ترین سختی کمربند ۴ تا ۶ برابر سختی معادل دو طبقه از سازه قاب لوله‌ای و هسته مرکزی توصیه می‌شود.
 - ۷- به علت افزایش سختی در تراز قرارگیری کمربند خرپائی نظم توزیع تنش در این تراز بهم ریخته و از نحوه توزیع تنش محوری در قابهای محیطی تبعیت نمی‌کند.
 - ۸- کمربند خرپائی در خطی کردن توزیع تنش قاب جان چندان مؤثر نیست.

۹- قطع کردن هسته برشی در تراز فوقانی کمربند خرپائی تاثیر ناچیزی در بهینه شدن رفتار قاب لوله‌ای دارد. بنابراین در صورت عدم نیاز به وجود هسته مرکزی می‌توان آن را در یک طبقه بالاتر از کمربند قطع کرد.

۱۰- با توجه به نتایج بدست آمده بهترین موقعیت مهار کمربندی در سیستم قاب ساده و هسته مرکزی در محدوده $\frac{1}{2}$ تا $\frac{3}{4}$ ارتفاع از پای سازه بود که باعث ایجاد حداکثر کاهش در جابجائی تراز فوقانی سازه می‌شد. لیکن در سازه ترکیبی قاب محیطی، هسته مرکزی و کمربند خرپائی به علت وجود پدیده لنگی برش بهترین موقعیت کمربند جهت ایجاد حداکثر کاهش در جابجائی تراز فوقانی سازه، محدوده $\frac{1}{6}$ تا $\frac{1}{4}$ از پای سازه است.

۲-۶ پیشنهادات برای مطالعات آینده

۱- روش ارائه شده جهت آنالیز سیستم ترکیبی قاب محیطی، هسته مرکزی و کمربند خرپائی را می‌توان برای سازه‌هایی با چند کمربند خرپایی بررسی نمود و مکان بهینه آن کمربندها و همچنین تاثیر آنها بر تغییر مکان جانبی و تاثیر سختی آنها بر تغییر مکان جانبی سازه را بررسی کرد.

۲- علاوه بر کمربند خرپائی و هسته مرکزی طرح مناسب دیگر در جهت کاهش جابجائی و لنگی برش، ایجاد مهارهای مورب در سطوح خارجی قاب محیطی است. یکی دیگر از روش‌های قابل بررسی ارائه مدل تحلیلی مناسب در خصوص آنالیز این قابها به همراه مهارهای مورب است که این مدل نیز با روش جمع آثار قوا قابل ارائه است. ابتدا قاب محیطی با روش مناسی تحلیل گردیده و سپس برای مهارهای مورب مدلی که دارای آثار متناظر با آن باشد پیشنهاد شود، سپس با نوشتن شرایط سازگاری تغییر شکلها روابط مناسبی برای سیستم تهیه شود.

مراجع

- ١- Coull, A., and Bose, B., " Simplified Analysis of Frame - Tube Structures.", Journal of Structural Division., Vol. ١١١, No. ST ١١, ١٩٧٥, pp. ٢٢٢٣-٢٢٤٠.
- ٢- Coull, A., and Ahmed, K.A., " Deflection of Framed - Tube Structures.", Journal of Structural Division., Vol. ١٠٤, No. ST ٥, ١٩٧٨, pp. ٨٥٧-٨٦٢.
- ٣- Kwan, A.K.H., " Simple Method for Approximate Analysis of Framed Tube Structures.", Journal of Structural Engineering, ASCE, Vol. ١٢٠, No. ٤, ١٩٩٤, pp. ١٢٢١-١٢٣٩.
- ٤- Connor, J.J., and Pouangare, C.C., " Simple Model for Design of Framed - Tube Structures.", Journal of Structural Engineering, ASCE, Vol. ١١٧, No. ١٢, ١٩٩١, pp. ٣٦٢٣-٣٦٤٣.
- ٥- Takabatake, H., Mukai, K., and Hirano, T., " Doubly Symmetric Tube Structures I: Static Analysis.", Journal of Structural Engineering, ASCE, Vol. ١١٩, No. ٧, ١٩٩٣, pp. ١٩٨١-٢٠٠١.
- ٦- Takabatake, H., Mukai, K., and Hirano, T., " Doubly Symmetric Tube Structures II: Dynamic Analysis.", Journal of Structural Engineering, ASCE, Vol. ١١٩, No. ٧, ١٩٩٣, pp. ٢٠٠٢-٢٠١٦.
- ٧- Coull, A., and Subedi, k., " Framed - Tube Structures for High Rise Buildings.", Journal of Structural Division., Vol. ٩٧, No. ST٨, ١٩٧١, pp. ٢٠٩٧-٢١٠٥.

- ۸- Spires, D., and Arora, J.S., "Optimal Design of Tall RC - Framed Tube Buildings.", Journal of Structural Engineering, ASCE, Vol. ۱۱۶, No. ۴, ۱۹۹۰, pp. ۸۷۷-۸۹۷.
- ۹- Haji-Kazemi, H., "Exact Method of Analysis of Shear Lag in Framed Tube Structures.", Journal of Structural Design of Tall Buildings, John Wiley & Sons, Ltd., Vol. ۱۱, ۲۰۰۲, pp. ۳۷۵-۳۸۸
- ۱۰- Smith, S., Coull, A., "Tall Building Structures.", McGraw Hill Book Company, ۱۹۹۶.
- ۱۱- Taranath, B.S., "Analysis and Design of Tall Buildings.", McGraw Hill Book Company, ۱۹۸۸.
- ۱۲- ناطق الهی، فریبرز، و کاکاوند اسدی، رضا، "رفتار و طراحی سازه‌ای ساختمانهای بلند."، مؤسسه بین‌المللی زلزله‌شناسی و مهندسی زلزله، ۱۳۷۵.
- ۱۳- Lee, K., Loo, C., and Guan, H., "Simple Analysis of Framed - Tube Structures with Multiple Internal Tubes.", Journal of Structural Engineering, ASCE, Vol. ۱۲۷, No. ۴, ۲۰۰۱, pp. ۴۵۰-۴۶۰.
- ۱۴- Lee, K., Lee, L., Lee, E., "Prediction of Shear Lag Effects in Framed Tube Structures with Internal Tubes.", Journal of Structural Design of Tall Buildings, John Wiley & Sons, Ltd., Vol. ۱۱, ۲۰۰۲, pp. ۷۳-۹۲
- ۱۵- Mendis, p., "Warping Analysis of Concrete Cores.", Journal of Structural Design of Tall Buildings, John Wiley & Sons, Ltd., Vol. ۱۱, ۲۰۰۱, pp. ۴۳-۵۲.

- ١٦- Kwan, A.K.H., " Shear Lag In Shear/Core Walls.", Journal of Structural Engineering, ASCE,
Vol. ١٢٢, No. ٩, ١٩٩٦, pp. ١٠٩٧-١١٠٤.
- ١٧- Coull, A., and Otto Lau, W.H., " Analysis of Multioutrigger - Braced Structures.", Journal of Structural Engineering, ASCE, Vol. ١١٥, No. ٧, ١٩٨٩, pp. ١٨١١-١٨١٦.
- ١٨- Moudaress, F.R., " Outrigger - Braced Coupled Shear Walls.", Journal of Structural Engineering ,
ASCE, Vol. ١١٠, No. ١٢, ١٩٨٤, pp. ٢٨٧٦-٢٨٩٠.
- ١٩- Schueller, W., " High - Rise Building Structures.", Wiley, New york, ١٩٧٧.

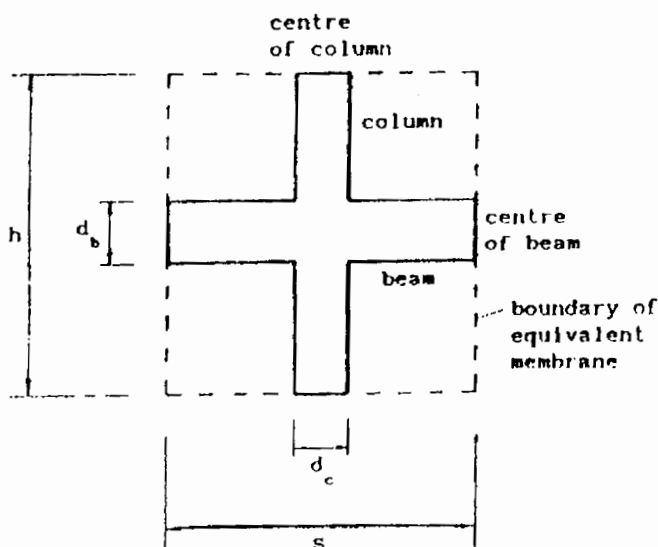
لَيْلَةُ الْمَسْكُونَ

خواص معادل اعضاء و پانلها

محاسبه خواص معادل اعضاء و پانلها

۱- خواص معادل اعضاء

در شکل (الف-۱) یک قطعه از قاب لوله‌ای وجود دارد که از محور تیرها و ستونها مرزبندی شده است. حال باید مشخصات هندسی پانلی با ابعاد s و h را بدست آورد که معادل این بخش از تیر و ستون باشد.



شکل(الف-۱) بخش واحدی از قاب لوله‌ای [۳]

۲- سختی محوری

تحت تغییر شکل ناشی از نیروهای عمودی هر دو بخش (پانل معادل تیر و ستون) باید تغییر شکل یکسانی داشته باشند بنابراین:

$$ESt = E_m A_c \quad (\text{الف-۱})$$

که در آن:

$E =$ مدول الاستیسیته معادل پانل، $t =$ ضخامت معادل پانل، $E_m =$ مدول الاستیسیته اعضاء و $A_c =$ سطح مقطع یک ستون.

اگر مدول الاستیسیته در پانل معادل و تیر و ستون برابر در نظر گرفته شود ضخامت پانل عبارتست

از:

$$t = \frac{A_c}{S} \quad (\text{الف-2})$$

$$E = E_m \quad (\text{الف-3})$$

۳- سختی برشی

در شکل (الف-۲) بخشی از تیر و ستونها مشاهده می‌گردد که تحت بار جانبی Q قرار گرفته است.

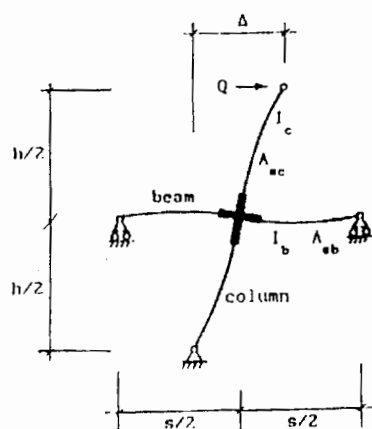
تغییر شکل شامل دو بخش تغییر شکل خمی و برشی است که عبارتند از:

$$\frac{\Delta_b}{Q} = \frac{(h - d_b)^3}{12E_m I_c} + \left(\frac{h}{S}\right)^2 \frac{(S - d_c)^3}{12E_m I_b} \quad (\text{الف-4})$$

$$\frac{\Delta_b}{Q} = \frac{(h - d_b)}{G_m A_{sc}} + \left(\frac{h}{S}\right)^2 \frac{(S - d_c)}{G_m A_{sb}} \quad (\text{الف-5})$$

که در آن $I_c =$ ممان اینرسی تیر و ستونها، $A_{sc} =$ سطح برشی مؤثر مقطع تیر و ستون،

$G_m =$ مدول برشی.



شکل(الف-۲) بخشی از قاب تحت نیروی برشی [۷]

مجموع دو تغییر شکل فوق باید با تغییر شکل پانل فرضی تحت بار Q برابر باشد پس:

$$Q \frac{h}{GSt} = \Delta_b + \Delta_s \quad (\text{الف-۶})$$

بنابراین مدول برشی عبارتست از:

$$G = \frac{h/St}{\frac{\Delta_b}{Q} + \frac{\Delta_c}{Q}} \quad (\text{الف-۷})$$

Abstract

A framed-perimeter system consists of closely spaced perimeter columns tied at each floor level by deep spandrel beams. Several tall buildings with different heights were analyzed by SAP2000 software. A perimeter frame, a central core, and a truss belt are forming the lateral resisting system of these high rise buildings. Changing The location of the truss belt its effect lateral deflection and stress distribution of the perimeter frame is studied and the best location of the truss belt is achieved the most economical stiffness of the truss belt has been founded by changing the cross-sectional area when it's position was fixed. Then the optimum location of two truss belts in tall buildings and the effect of tearing the shear core at the top level of truss belt are studied.